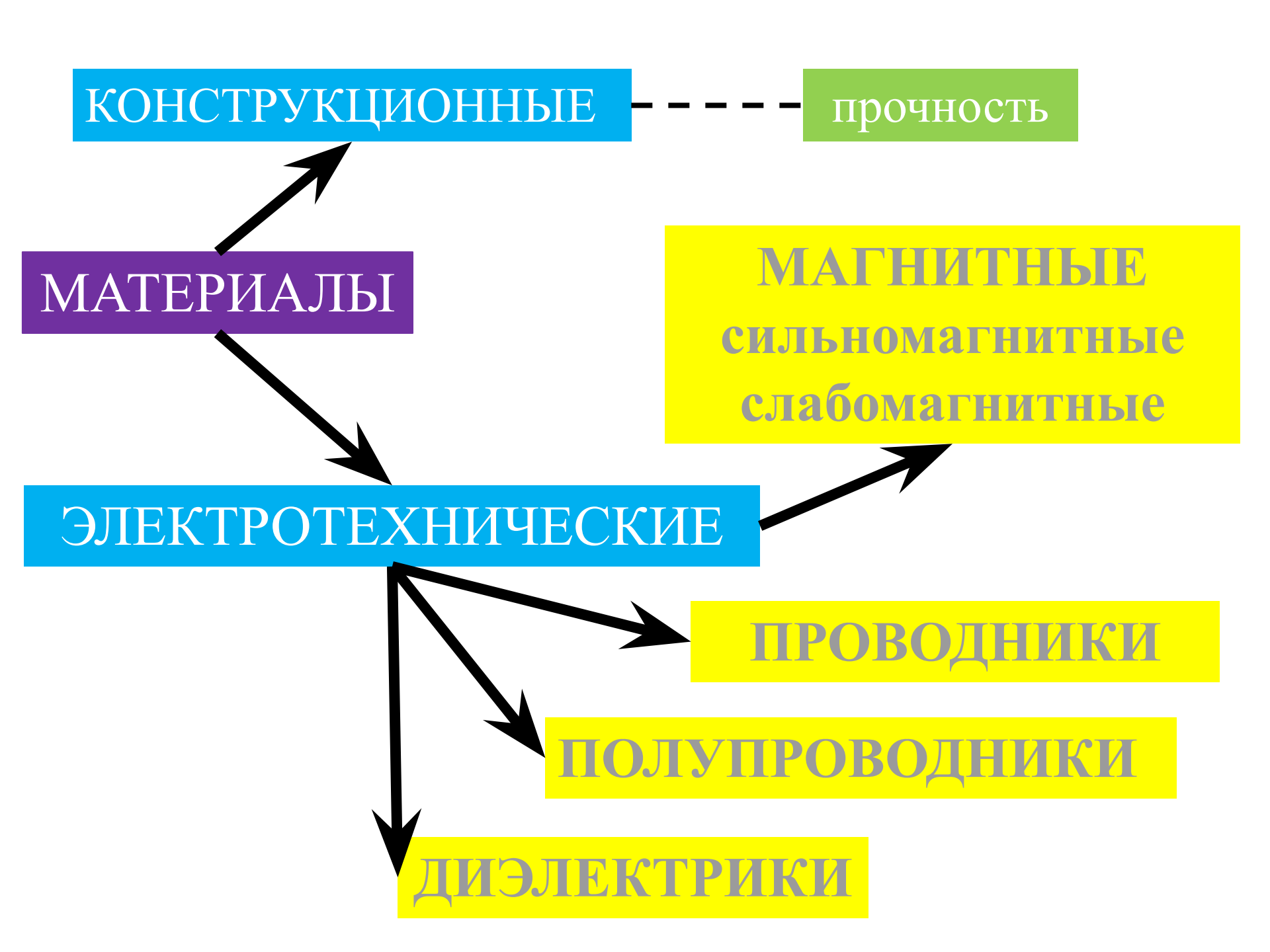
ЭЛЕКТРОТЕХНИЧЕСКОЕ МАТЕРИАЛОВЕДЕНИЕ



Состояния вещества

- ГАЗООБРАЗНОЕ
- ЖИДКОЕ
- ТВЁРДОЕ: монокристаллическое
 - поликристаллическое
 - аморфное (стекло)
 - смешанное (полимеры, ситаллы)

Виды связей в веществе

ХИМИЧЕСКИЕ

энергия $\sim 10^2$ кДж/моль:

- Ионная
- Ковалентная полярная
- Ковалентная неполярная
- Металлическая

МЕЖМОЛЕКУЛЯРНЫЕ

- Силы Ван-Дер-Ваальса
 - $\sim 0,1\div 1$ кДж/моль
- Водородная
 - $\sim 10 \div 50$ кДж/моль

Электрический ток — направленное движение свободных носителей заряда (с.н.з.) q в электрическом поле напряженностью E [В/м].

Плотность тока j – суммарный электрический заряд, переносимый в единицу времени через единицу площади поверхности, перпендикулярной E.

$$m{j} = q \cdot n \cdot v_{\mathfrak{Z}} = q \cdot n \cdot \mu \cdot E = \gamma \cdot E$$
 (дифференциальная форма закона Ома)

n — концентрация с.н.з. [м⁻³]; μ — подвижность с.н.з. [м²/В · с]; $\mathbf{v}_{\mathbf{a}} = \mu \cdot \mathbf{E}$ — средняя дрейфовая скорость с.н.з.

 $\gamma = q \cdot n \cdot \mu$ [CM/M, 1CM=OM⁻¹]

удельная электрическая проводимость

$$\rho = 1/\gamma \qquad [O_{M} \cdot M]$$

удельное электрическое сопротивление

р и <u>у характеризуют электрические</u> <u>свойства материала</u>

Обычно относят:

к проводникам вещества с $\rho < 10^{-5} \mathrm{Om} \cdot \mathrm{m};$ к диэлектрикам — с $\rho > 10^7 \mathrm{~Om} \cdot \mathrm{m};$ к полупроводников — с $\rho \sim 10^{-6} - 10^9 \mathrm{Om} \cdot \mathrm{m}$.

Проводимость G [См] и сопротивление R [Ом] однородного изотропного образца зависят от его геометрии, а значит не являются характеристикой материала:

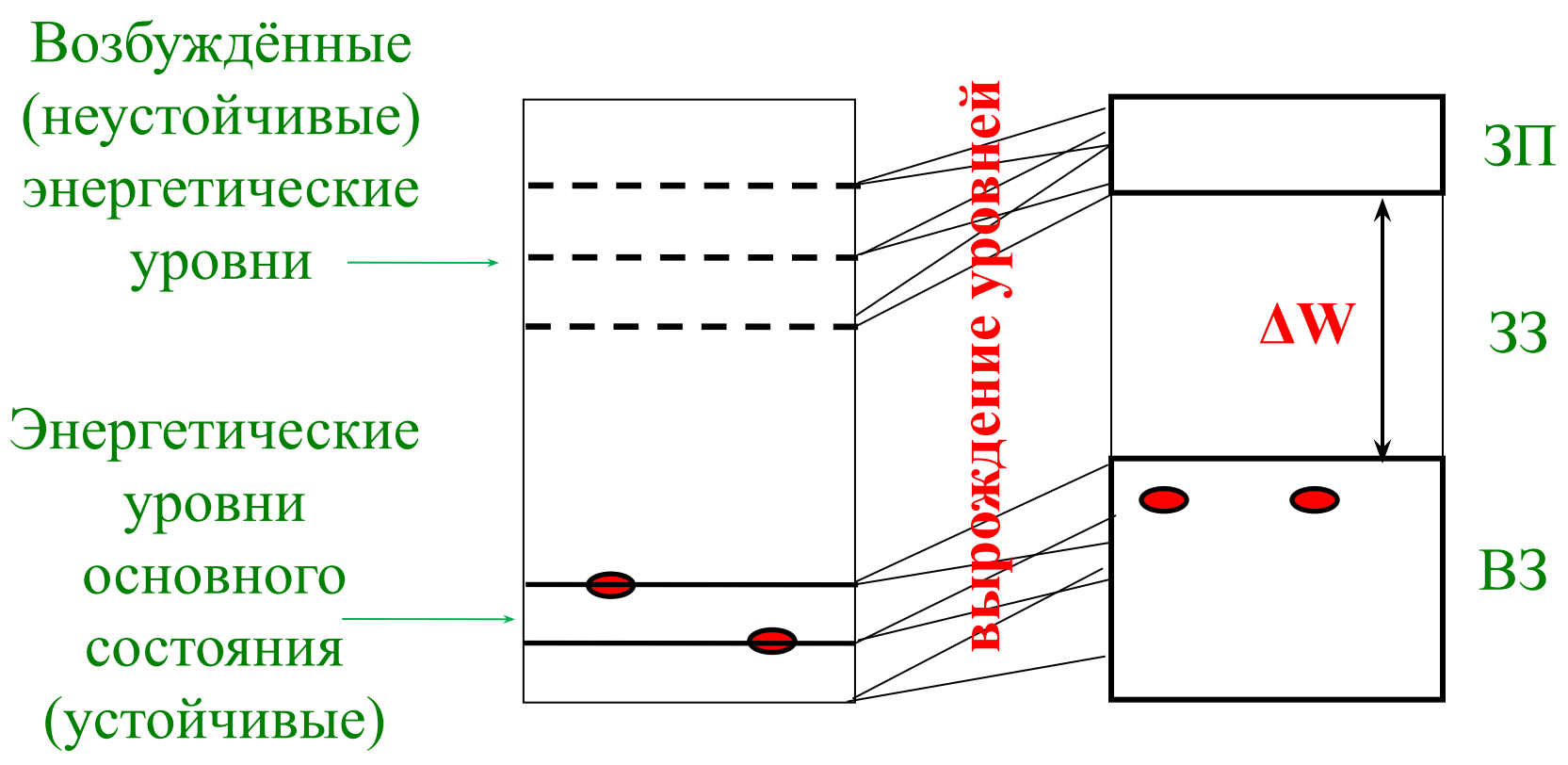
$$G = 1/R = \gamma \cdot \Delta = \Delta / \rho$$

 Δ – геометрический параметр. Например:

Для цилиндра длиной ℓ , сечением $S: I = S/\ell$.

Для цилиндра с внешним и внутренним диаметрами D и d и осевой длиной ℓ : $\Delta = 2\pi\ell/\ln(D/d).$

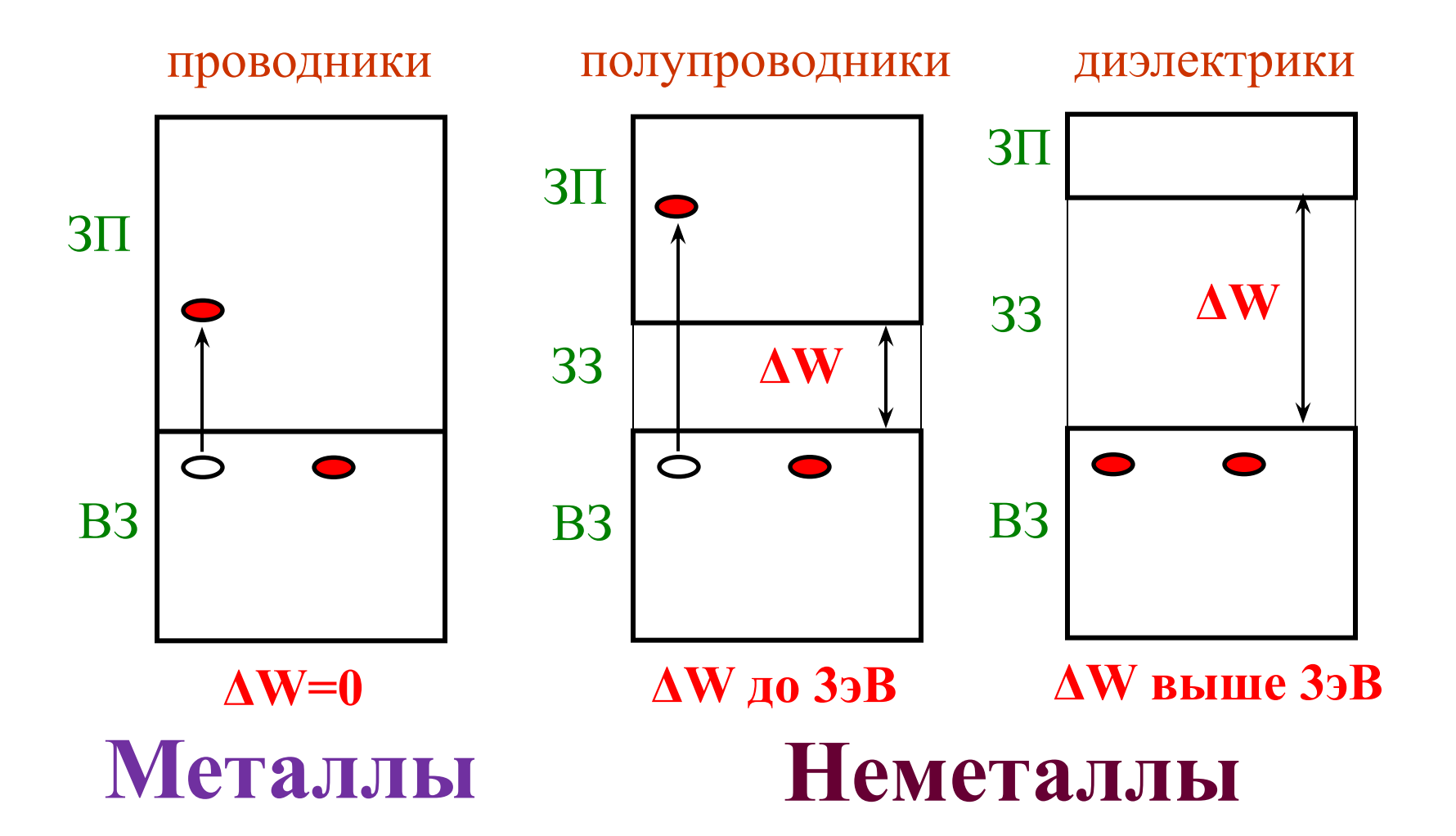
ЭЛЕМЕНТЫ ЗОННОЙ ТЕОРИИ



линейчатый спектр излучения газа

зонная структура твёрдого тела

Классификация материалов согласно зонной теории



металлическая связь ионная, ковалентная или смешанная связь

Система единиц СИ

Основные

Длина L [м]

Масса М [кг]

Bремя t [c]

Сила эл.тока I [A]

Температура Т [°К]

Сила света [св]

Вспомогательные

Плоский угол [рад]

Телесный угол [стер]

<u>Производные</u>

Скорость м/с

Сила $H=\kappa\Gamma\cdot M/c^2$

Работа, энергия Н м

Мощность Вт=Дж/с

Разн.потенц. В=Вт/А

Заряд Кл=А·с

Напр.эл.поля В/м

Эл.сопр. Ом=В/А

Эл.ёмкость Ф=Кл/В

Магн.индукция Тл=Кл·Ом/м²

Напр.магн.поля А/м

Магнитные материалы



является векторной суммой орбитальных и спиновых магнитных моментов электронов,

а также магнитного момента ядра, который составляет 10^{-3} магнитного момента электрона.

Векторная сумма магнитных моментов атомов в единице объёма называется

намагниченностью M [A/м]:

$$\overrightarrow{M} = \sum \overrightarrow{p}_{m}$$
; $\overrightarrow{M} = \chi \cdot \overrightarrow{H}$

χ – магнитная восприимчивость

Суммарное магнитное моле в объёме вещества называется

магнитной индукцией
$$B$$
 [Тл]
$$\vec{B} = \mu_0 \cdot (\vec{H} + \vec{M}) = \mu_0 \cdot (1 + \chi) \vec{H}$$

$$\mu_0 = 4\pi \cdot 10^{-7} \text{ [Гн/м]}$$

$$\mu = 1 + \chi \text{ ; } \mu_a = \mu_0 \mu$$

Намагничиванием называется процесс ориентации магнитных моментов атомов вещества под влиянием внешнего магнитного поля, в результате которого намагниченность материала становится $M\neq 0$.

Виды магнетизма:

Различают следующие механизмы намагничивания:

- 1. Диамагнетизм
- 2. Парамагнетизм
- 3. Ферромагнетизм
- 4. Антиферромагнетизм
 - 5.Ферримагнетизм

Диамагнетизм — свойство вещества слабо намагничиваться противоположно внешнему магнитному полю

Магнитная восприимчивость $\chi \sim -10^{-5} \div -10^{-7}$

Магнитная проницаемость $\mu \approx 0,9999$

Диамагентики

Cu, Ag, Au, Be, Zn, Ga, B, Pb, Sb

Парамагнетизм — свойство вещества слабо намагничиваться согласованно с внешнем магнитным полем

Магнитная восприимчивость $\chi \sim 10^{-2} \div 10^{-6}$

Магнитная проницаемость $\mu \approx 1,0001...$

Парамагентики Al, O, Pt, Mg, Pd, Cr, Ca, Mo

Ферромагнетизм — свойство вещества сильно намагничиваться согласованно с внешнем магнитным полем

Магнитная восприимчивость $\chi \sim 10^3 \div 10^7$

Магнитная проницаемость μ от 10^3 до 10^7

Ферромагентики
Fe, Co, Ni
Cd, Tb, Dy, Ho, Er, Tm

Антиферромагнетики – материалы, в которых в результате обменного взаимодействия соседних атомов происходит антипараллельная ориентация равных по величине магнитных моментов

Магнитная восприимчивость $\chi \sim 10^{-2} \div 10^{-5}$

Магнитная проницаемость $\mu \approx 1,0001...$

Антиферромагентики

Ce, Nd, Pr, Sm, Eu, Mn, Cr

Ферримагнетики (ферриты) — материалы, в которых обменное взаимодействие соседних атомов приводит к антипараллельной ориентации различных по величине (нескомпенсированных) магнитных моментов

Магнитная восприимчивость $\chi \sim$ до 10^7 Магнитная проницаемость μ до 10^7

Ферриты Fe₂O₃·MeO

где **Me** – Mg, Fe, Zn, Co, Cu, Cd, Mn и др.

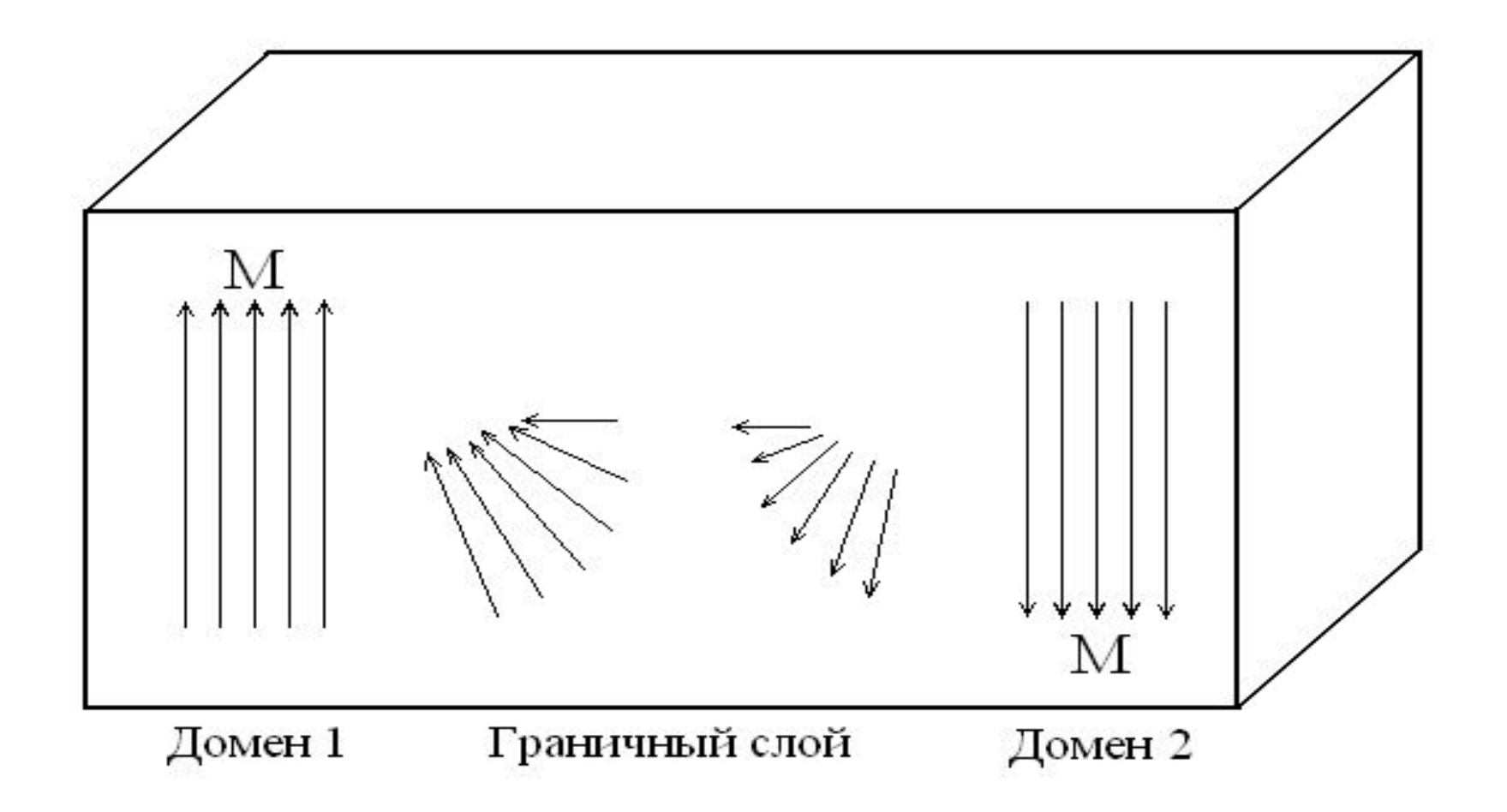
Намагничивание ферромагнетиков

Доменом называется макроскопическая область материала, внутри которой намагниченность спонтанно (H=0) достигает насыщения,

т. е. внутри домена магнитные моменты практически всех атомов ориентированы в одном направлении.

Условия возникновения доменной структуры (ферромагнетизма)

- 1. Наличие внутренних незаполненных электронных оболочек (d или f) атома;
- 2. Величина интеграла обменной энергии A>0, что выполняется если диаметр незаполненных оболочек мал по сравнению с межатомным расстоянием кристаллической решетки: a/d>1,5.



Магнитная структура граничного слоя в кристалле

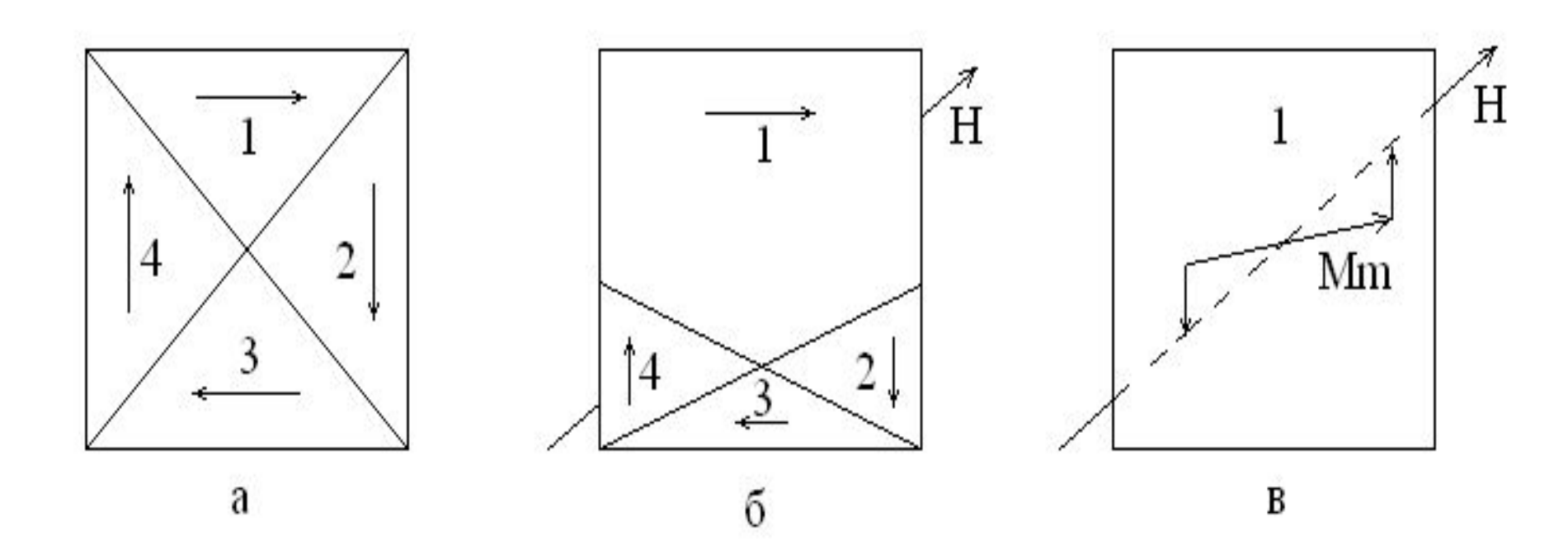
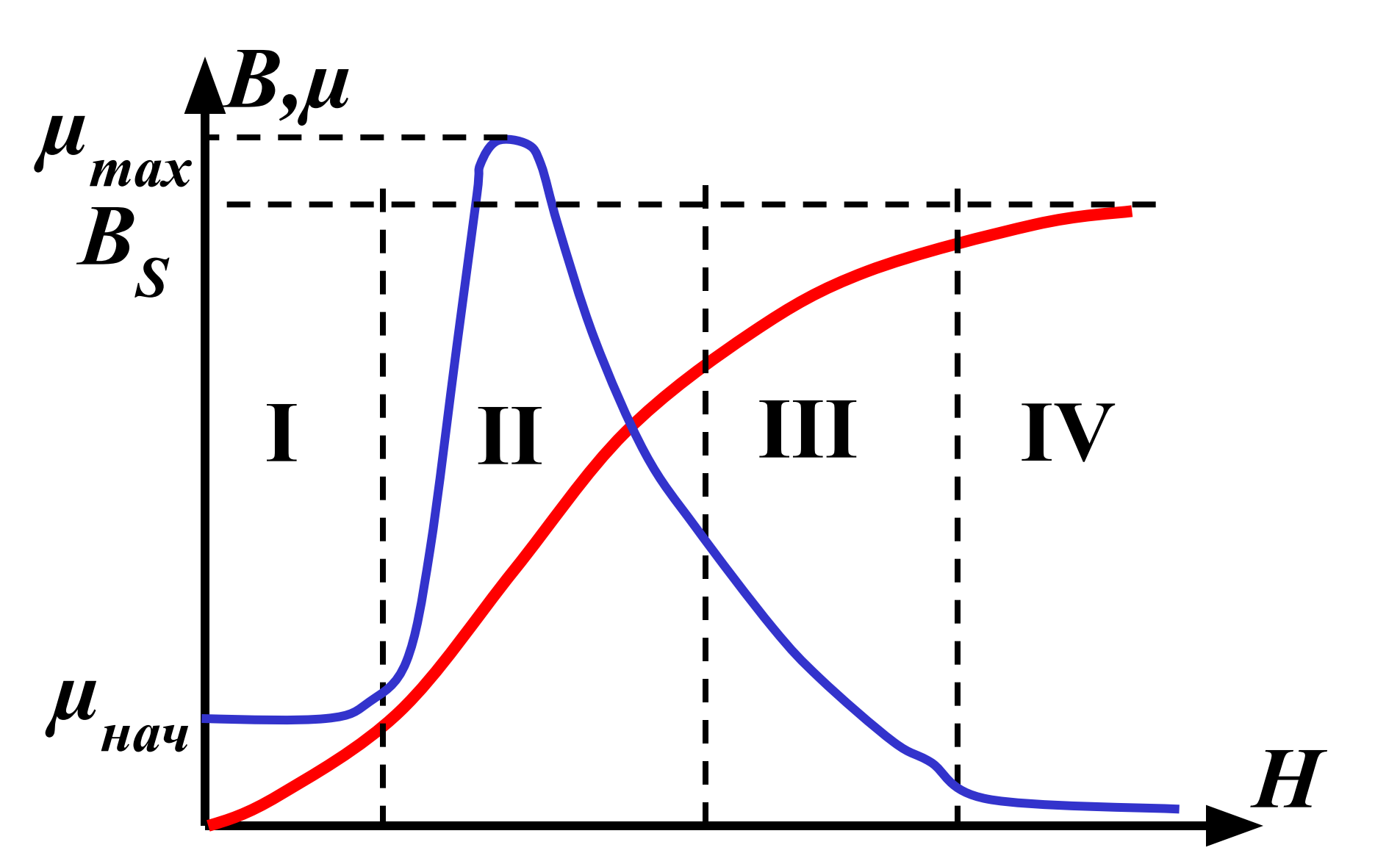
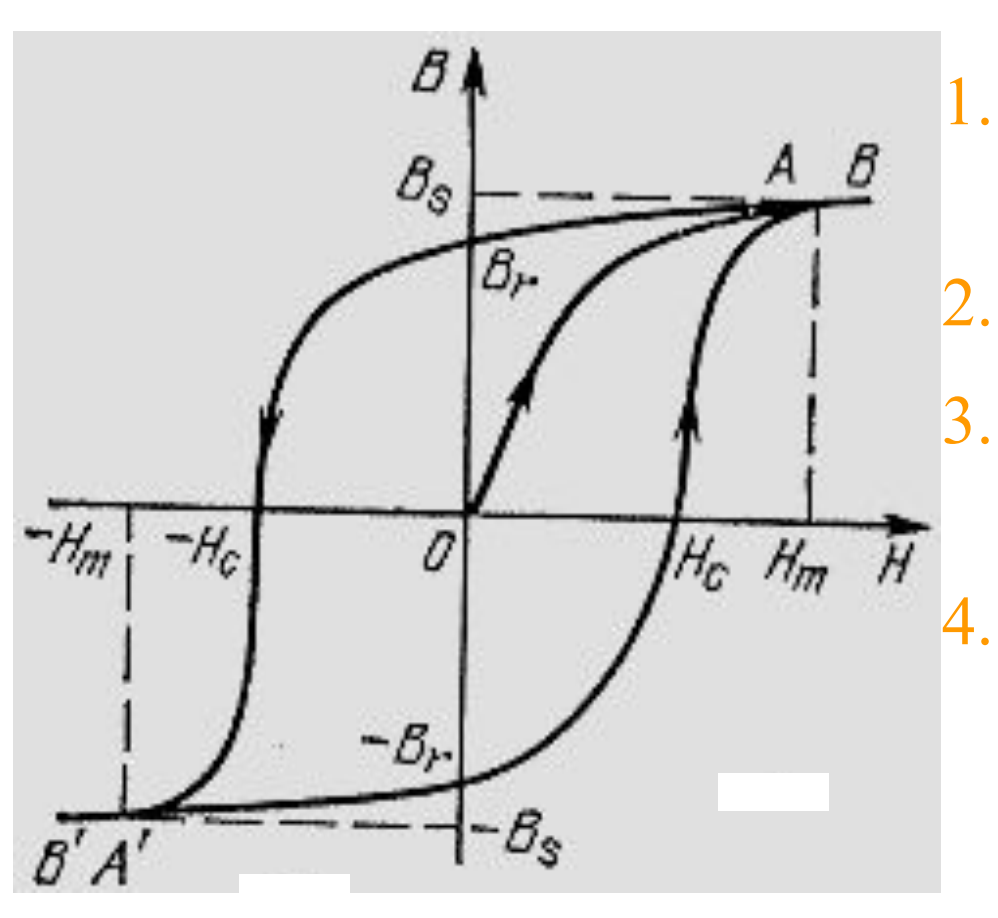


Схема процессов, протекающих при намагничивании

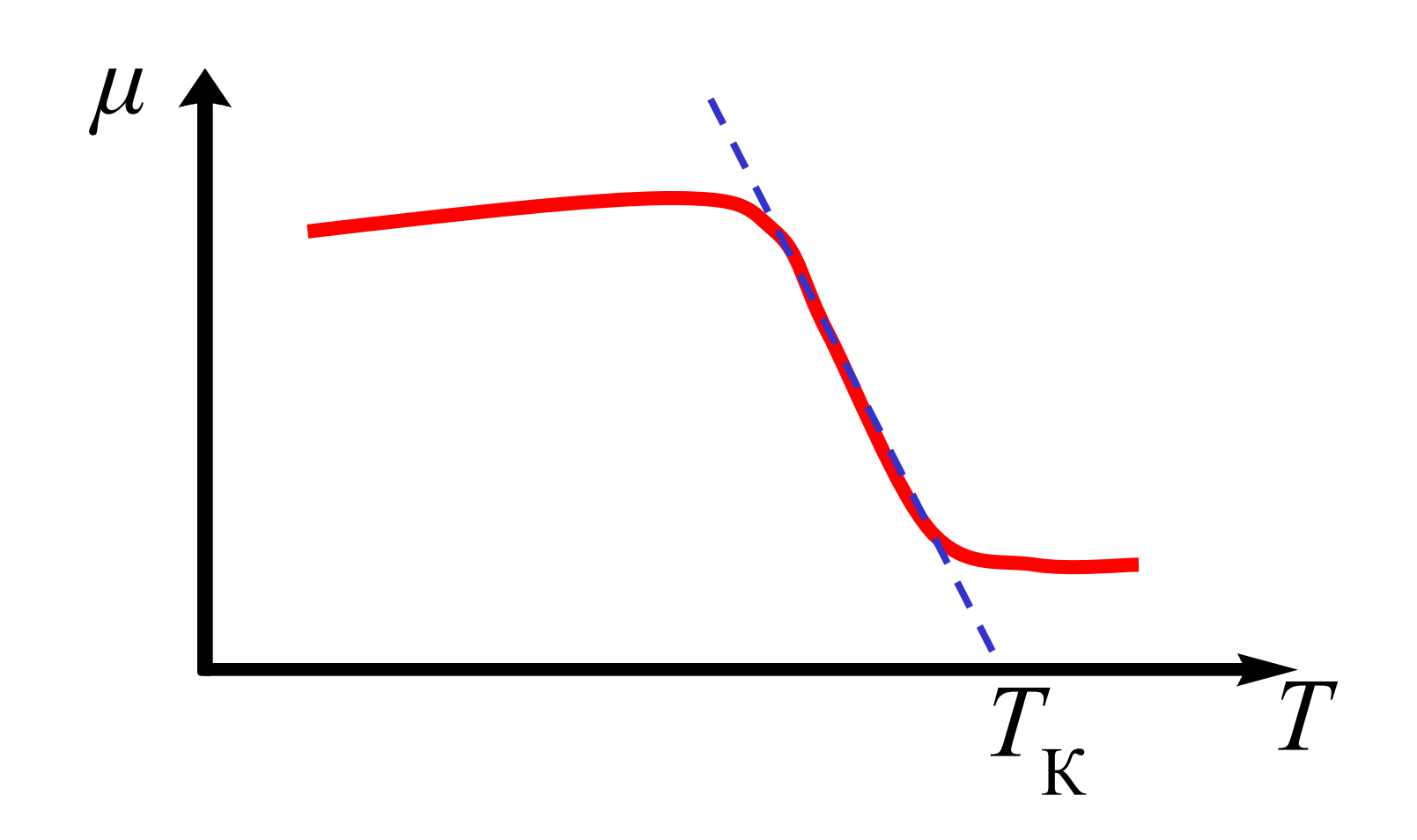


НАМАГНИЧИВАНИЕ ФЕРРО- И ФЕРРИМАГНИТНЫХ МАТЕРИАЛОВ В ПЕРЕМЕННОМ МАГНИТНОМ ПОЛЕ



- 1. В_s индукция насыщения
- 2. H_{C} коэрцитивная сила
- 3. В_r остаточная индукция
 - 1. Потери на гистерезис (на перемагничивание) площадь петли гистерезиса

Зависимость магнитной проницаемости μ ферромагнитных материалов от температуры T.



Особенность ферромагнетиков:

- 1. Наличие доменной структуры
- 2. Зависимость магнитного состояния от предшествующей магнитной истории
- 3. Наличие температуры Кюри

$$\mu_{\rm a} = B/H$$
 (1)
 $\mu = \mu_{\rm a}/\mu_{\rm o}$ (2)
 $\mu_{\rm max} = B_{\rm max}/H_{\rm max}$ (3)

Величина магнитной проницаемости зависит от вида приложенного внешнего магнитного поля

$$\mu_{\sim} = B_{\rm m} / H_{\rm m} \qquad (4)$$

В переменном магнитном поле μ зависит от частоты f

ВЛИЯНИЕ ЧАСТОТЫ ПРИЛОЖЕННОГО МАГНИТНОГО ПОЛЯ f НА ОТНОСИТЕЛЬНУЮ МАГНИТНУЮ ПРОНИЦАЕМОСТЬ μ



Виды потерь

1. Потери на гистерезис

За один цикл к единице объема:

$$P_r = \oint H dB$$
; Дж/м³

Или к единице массы при перемагничивании с частотой f:

$$P_r = (f/D) \oint H dB$$
; BT/M³

f- частота [Гц]

D — плотность вещества [кг/см 3]

2. Потери на вихревые токи для листового сердечника

$$P_{e} = \frac{1,64 \cdot d^{2} \cdot f^{2} \cdot B_{\text{max}}^{2}}{\mathcal{I} \cdot \rho_{V}} \quad ; \quad \left[\frac{Bm}{\kappa \varepsilon}\right]$$

d — толщина листа [м]

Втах — амплитуда значение в [Тл]

 ho_{v} — удельное объемное сопротивление [Ом•м]

ВИДЫ МАГНИТНЫХ ПОТЕРЬ

1. ПОТЕРИ НА ГИСТЕРЕЗИЗ

$$P_{\Gamma} = f \frac{\oint H dB}{D} [B_{\Gamma}/\kappa\Gamma]$$

2. ПОТЕРИ НА ВИХРЕВЫЕ ТОКИ

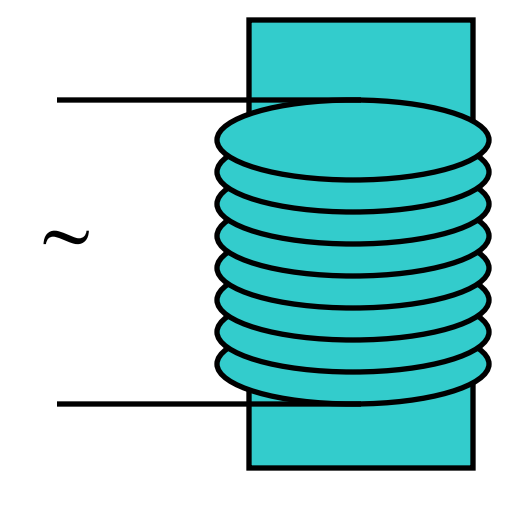
$$P_{e} = \frac{1,64 \cdot d^{2} \cdot f^{2} \cdot B_{\text{max}}^{2}}{D \cdot \rho_{V}}$$

3. ДОПОЛНИТЕЛЬНЫЕ ПОТЕРИ

МАГНИТОСТРИКЦИЯ -

- ИЗМЕНЕНИЕ ЛИНЕЙНЫХ РАЗМЕРОВ МАТЕРИАЛА ПОД ДЕЙСТВИЕМ МАГНИТНОГО ПОЛЯ

Генераторы УЗ – колебаний.



Классификация магнитных материалов:

- 1. Магнитомягкие ($H_{\rm C}$ < 4 кA/м) высокая μ , малая $H_{\rm C}$, узкая петля гистерезиса, малые потери на перемагничение.
- 2. Магнитотвердые ($H_{\rm C}$ > 4 кA/м) большая B_{r} , широкая петля гистерезиса, большие потери на перемагничение
- 3. Магнитные материалы специального назначения

ПРОВОДНИКОВЫЕ МАТЕРИАЛЫ -

вещества, основным свойством которых является сильная электропроводность

По механизму образования свободных носителей заряда (с.н.з.)



Металлы и сплавы, электронная электропроводность

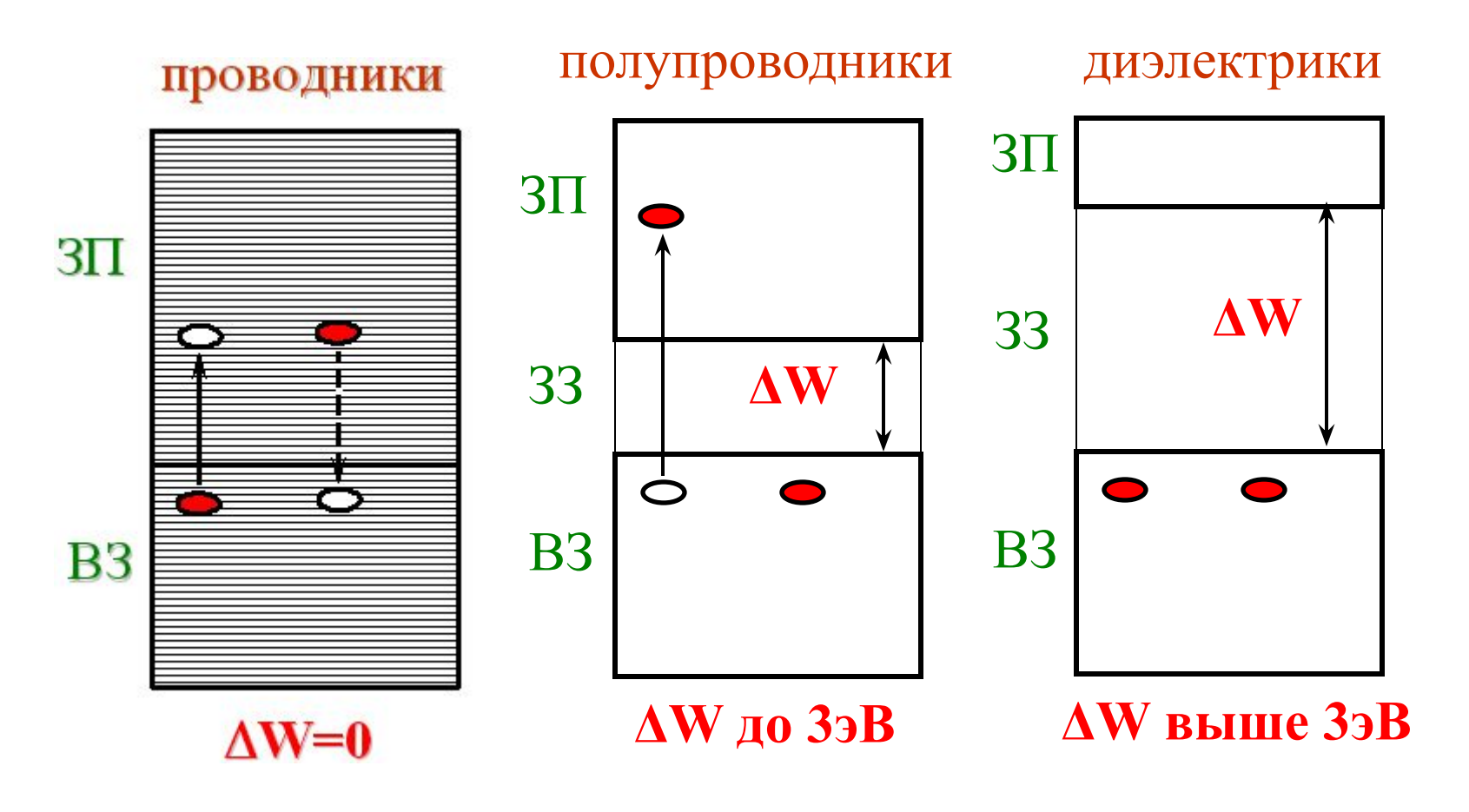
с.н.з. – электроны



Водные растворы кислот, солей, щелочей - ЭЛЕКТРОЛИТЫ

с.н.з. -ионы

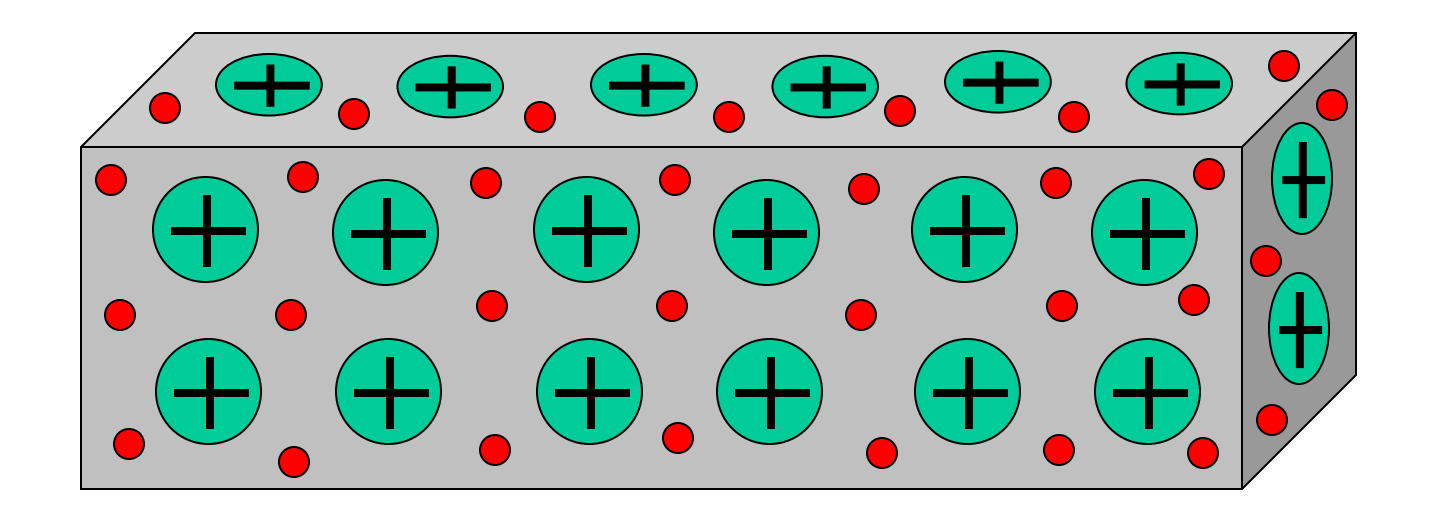
ЭЛЕМЕНТЫ ЗОННОЙ ТЕОРИИ



$$\rho \sim 10^{\text{-}6} \div 10^{\text{-}8} \text{ Om} \cdot \text{m} \qquad \rho \sim 10^{\text{-}5} \div 10^{\text{-}17} \text{ Om} \cdot \text{m}$$

$$\rho \sim 10^{\text{-}4} \div 10^{9} \text{ Om} \cdot \text{m}$$

СТРОЕНИЕ МЕТАЛЛОВ



Металлическая связь —взаимодействие между положительно заряженными ионами в узлах кристаллической решетки и коллективизированными электронами (электронным газом)

- λ длина свободного пробега с.н.з., определяет подвижность μ с.н.з.
- > это расстояние, которое проходит электрон под действием внешнего электрического поля между двумя соударениями с ионами кристаллической решетки.
 - µ показывает среднюю скорость, которую приобретает с.н.з. в единицу времени в электрическом поле E=1B/м

$$F = qE$$

$$\mathbf{v} = \mathbf{v}_{\mathbf{T}} + \mathbf{v}_{\mathbf{E}}$$
 $\mathbf{v}_{\mathbf{T}} >> \mathbf{v}_{\mathbf{E}}$ $\mathbf{v}_{\mathbf{T}} \sim 10^5 \, \text{м/c},$ $\mathbf{v}_{\mathbf{E}} \sim 10^{-3} \, \text{м/c}$ при $\mathbf{E} = 1 \, \mathbf{B} / \mathbf{M}$ $\mathbf{v}_{\mathbf{E}} = \mu \mathbf{E}$

 μ - подвижность [м²/В·с]

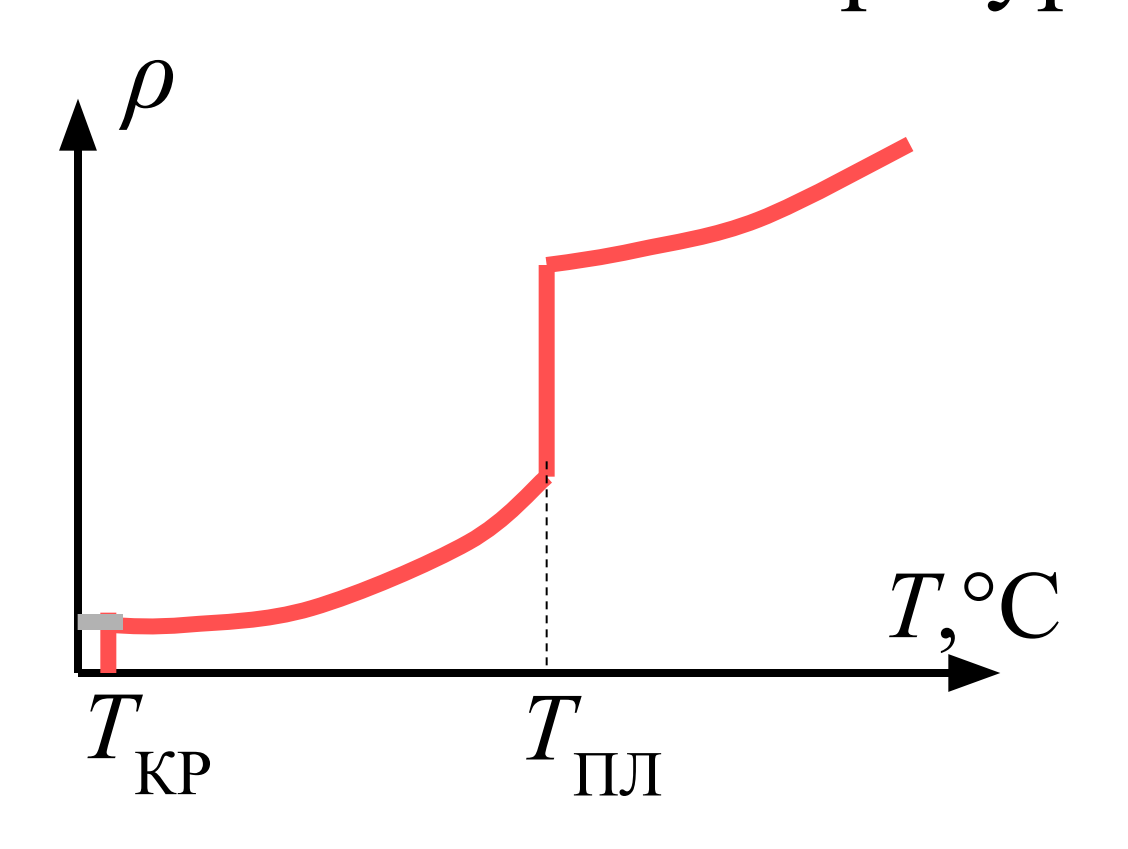
$$\mathbf{j} = qn\mathbf{v} = qn\mu \mathbf{E}$$

 $\gamma = qn\mu$ удельная эл. проводимость [См/м]

$$j = \gamma E = E/\rho$$
 закон Ома, $\rho = 1/\gamma$ удельное эл. сопротивление $[OM \cdot M]$, $1CM = 1OM^{-1}$

$$R = \rho \cdot \ell / S$$
 [Ом], или $\rho = R \cdot S / \ell$

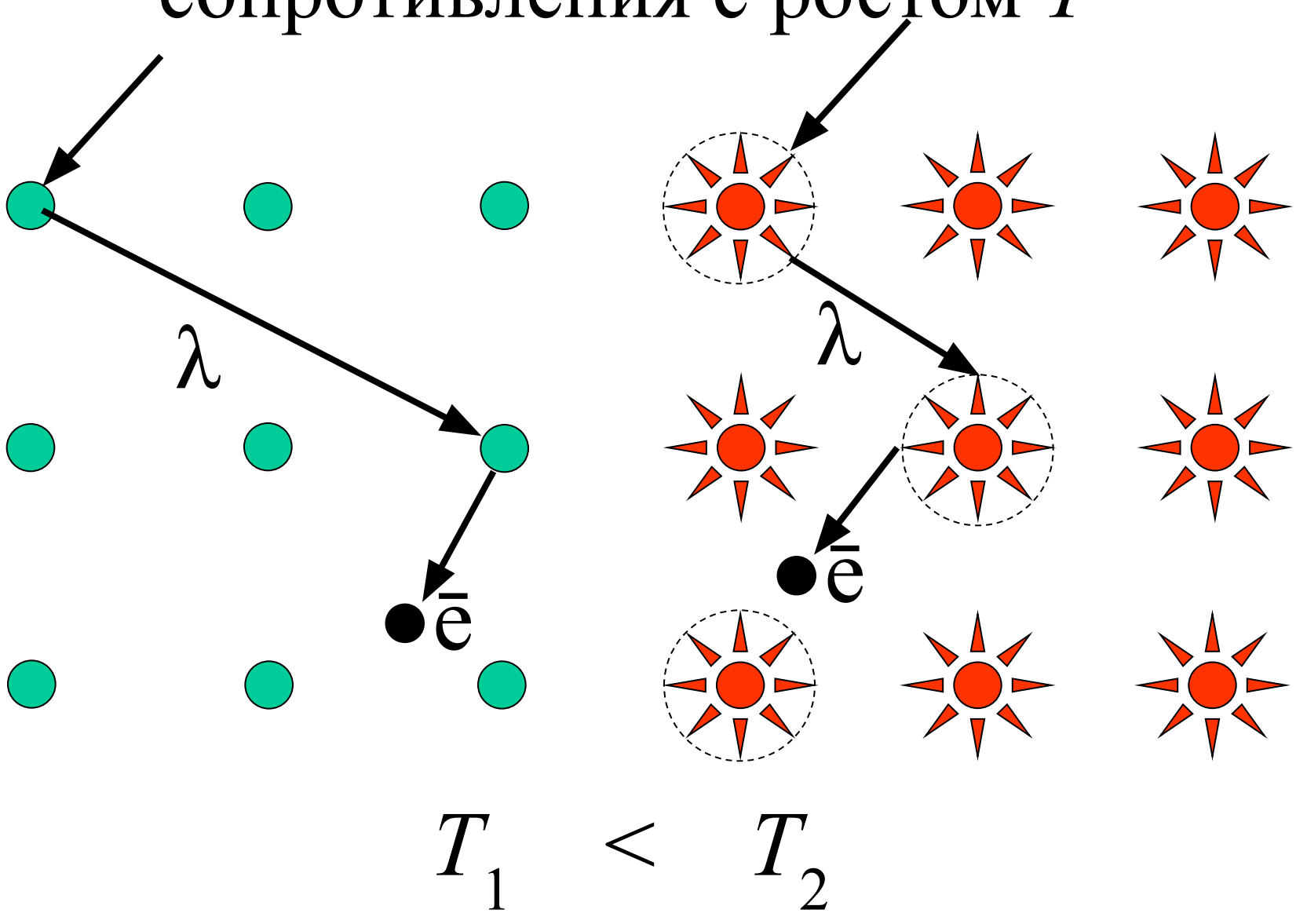
Зависимость $\rho = f(T)$ для металлов и сплавов в широком интервале температур



В металлах концентрация c.н.з. = const!

$$\rho = \rho_{
m OCT} + \rho_{
m T}$$

Причины увеличения ρ удельного сопротивления с ростом T



Температурный коэффициент любой физической характеристики *A*:

$$TK_A = \frac{1}{A} \frac{dA}{dT}$$

Температурный коэффициент удельного сопротивления

$$TK\rho = \alpha = \frac{1}{\rho} \frac{d\rho}{dT}$$

$$\rho_{\rm T} = \rho_0 [1 + \alpha (T - T_0)]$$

КРИОПРОВОДИМОСТЬ

Явление сильного снижения ρ при $T < -173^{0}$ С. Обусловлено уменьшением рассеивания электронов за счет тепловых колебаний решетки. Сохраняется остаточный вклад в удельное сопротивление $\rho_{\rm OCT}$.

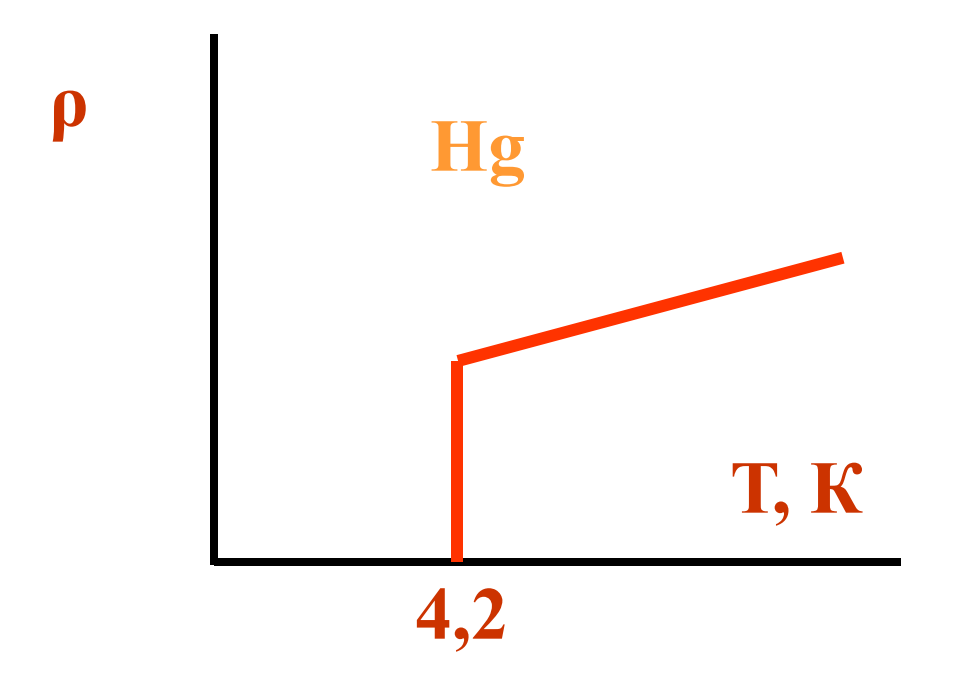
КРИОПРОВОДНИКИ - Cu, Al, Be

Требования к криопроводникам:
-минимальное содержание примесей;
- правильная (без дефектов) кристаллическая решетка

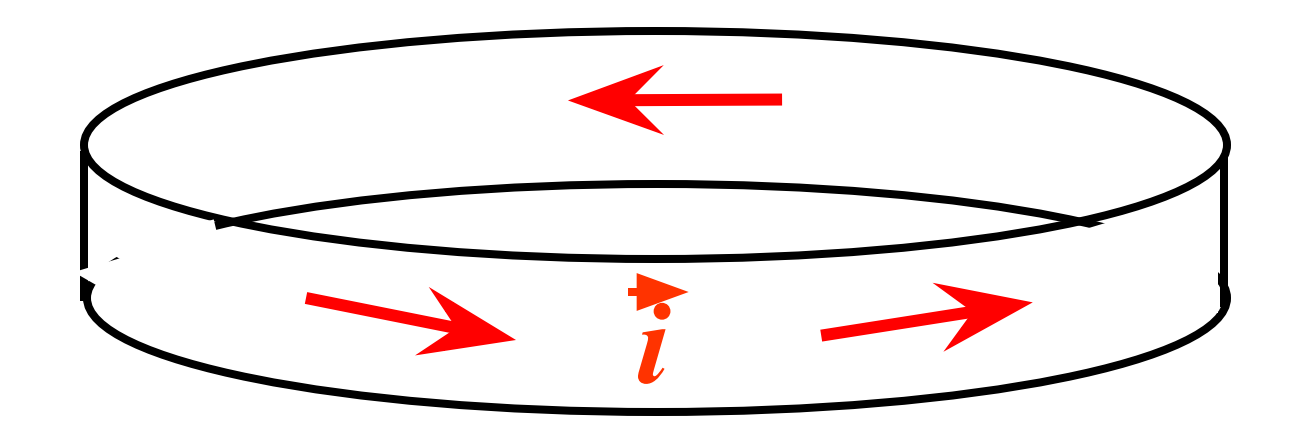
СВЕРХПРОВОДИМОСТЬ

Явление ИЗЧЕЗНОВЕНИЯ р, т.е. появления бесконечной электропроводности при температурах близких к абсолютному нулю.

1911 год. Камерлинг - Оннес



Если в кольце из сплава Nb₃Sn путем электромагнитной индукции возбудить ток



он будет протекать примерно 5·10⁴ лет

Это соответствует величине ho порядка $10^{-26}~{
m Om}\cdot{
m m}$

В объеме сверхпроводника нет магнитного поля

Сильное магнитное поле разрушает явление сверхпроводимости!!!

УСЛОВИЯ ВОЗНИКНОВЕНИЯ СВЕРХПРОВОДИМОСТИ

- 1. Сверхнизкие температуры $T_i < T_{\kappa p}$
- 2. Слабые магнитные поля $H_i < H_{\text{кр}}$

Критические температуры $T_{\rm KP}$ перехода в сверхпроводящее состояние

$$Al = 1,19 \text{ °K}$$

 $Cd = 0,56 \text{ °K}$
 $Sn = 3,722 \text{ °K}$
 $Zn = 0,875 \text{ °K}$
 $Nb_3Ge = 23,2 \text{ °K}$

СВЕРХПРОВОДНИКИ



І рода (мягкие)

резкий переход в сверхпроводящее состояние при одном фиксированном значении

 $H_{\mathrm{\kappa p}}$.

Полное вытеснение магнитного поля из объема сверхпроводника

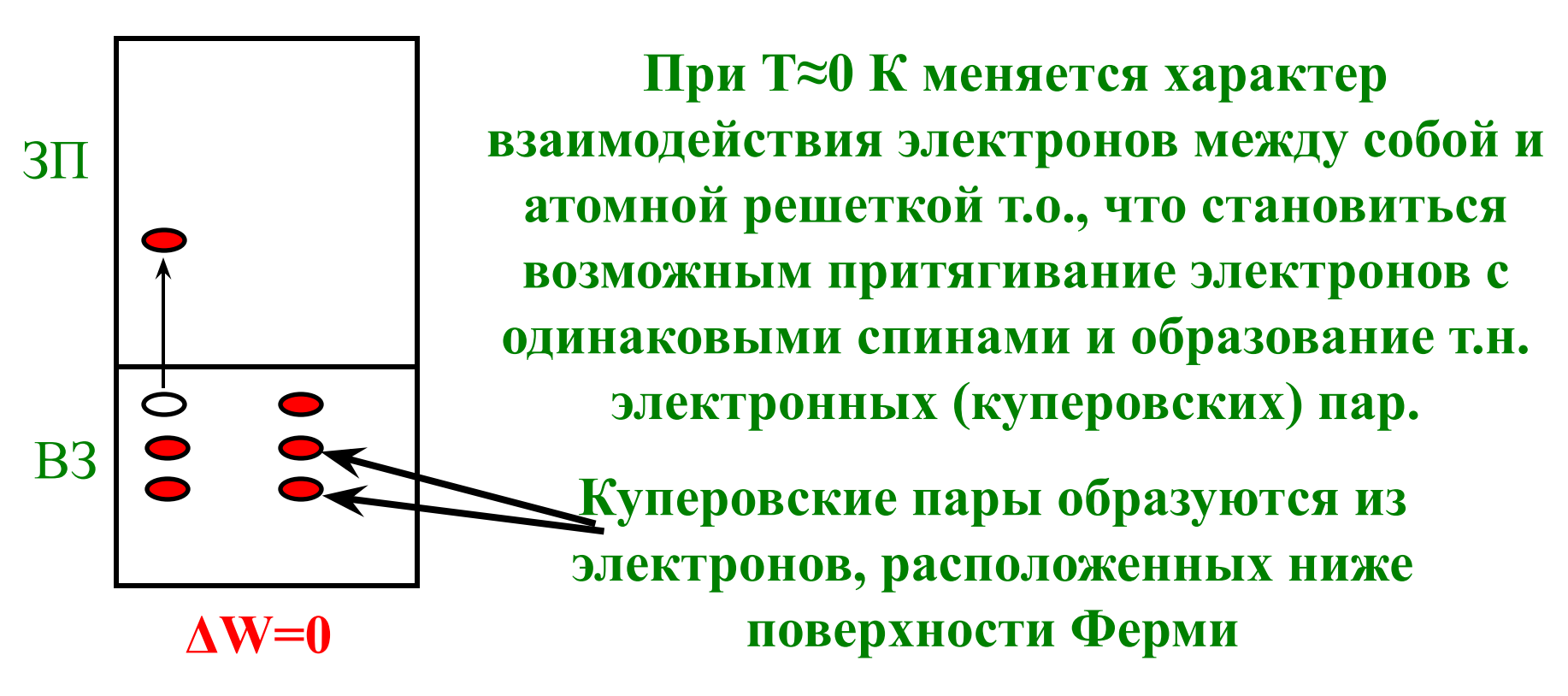


I I рода (твёрдые)

Характеризуются при переходе в сверхпроводящее состояние двумя значениями $H_{\text{кp1}}$ и $H_{\text{кp2}}$. Между $H_{\text{кр1}}$ и $H_{\text{кр2}}$ наблюдается смешанное состояние проводимости и сверхпроводимости, а также частичное вытеснение магнитного поля из объема сверхпроводника

ПРИРОДА СВЕРХПРОВОДИМОСТИ

Согласно теориям Л.Купера, Д.Бардина, Дж.Шриффера



Эти пары в состоянии сверхпроводимости обладают большой энергией связи, перемещение электронов происходит без взаимодействия с атомами кристаллической решеткой!!!

ВТСП – высокотемпературная сверхпроводимость

YBa₂Cu₃O₇ – Т_{кР} около 100 К!!!

В настоящее время известно 27 простых и более 1000 сложных сверхпроводников. Широко используется керамика на основе висмута.

Применение: создание сверхсильных магнитных полей, обмоток ЭМ с очень высоким КПД, кабели для мощных линий электропередач.

ВЛИЯНИЕ УПРУГОЙ ДЕФОРМАЦИИ НА СОПРОТИВЛЕНИЕ ПРОВОДНИКОВ

$$S = \frac{1}{\rho} \frac{\mathrm{d}\rho}{\mathrm{d}\sigma} -$$
коэффициент удельного сопротивления по давлению

Изменение р обусловлено изменением межатомного расстояния и подвижности с.н.з.

Всестороннее сжатие (поличина) P P Р P=0 $P\neq 0$ Р Р

УДЕЛЬНОЕ СОПРОТИВЛЕНИЕ СПЛАВОВ

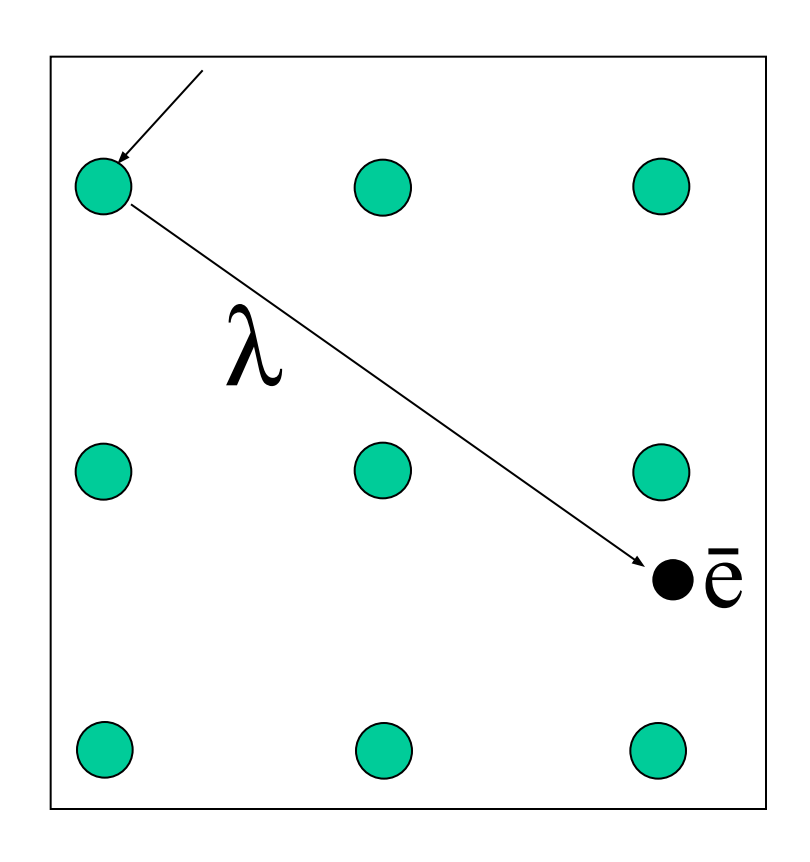
Значительное увеличение *р* наблюдается при сплавлении двух металлов при образовании общей кристаллической решетки, когда атомы одного металла входят в кристаллическую решетку другого – т.н. твердые растворы

Происходит снижение подвижности с.н.з.

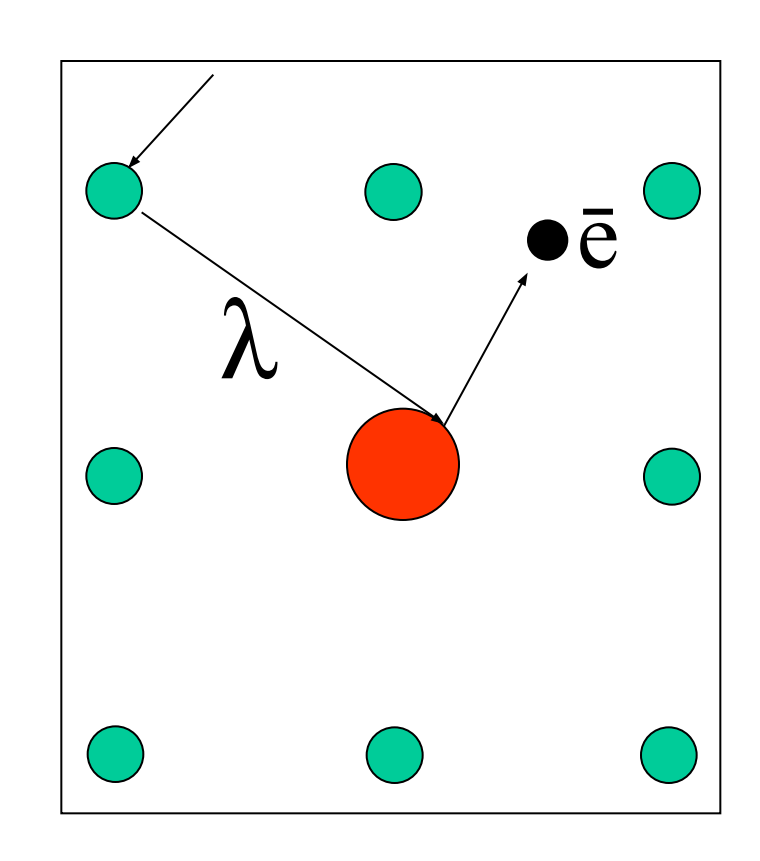
В проводниковых материалах любая примесь резко снижает электропроводность!!!

р сплавов как правило выше, чем

Р ЧИСТЫХ МЕТАЛЛОВ

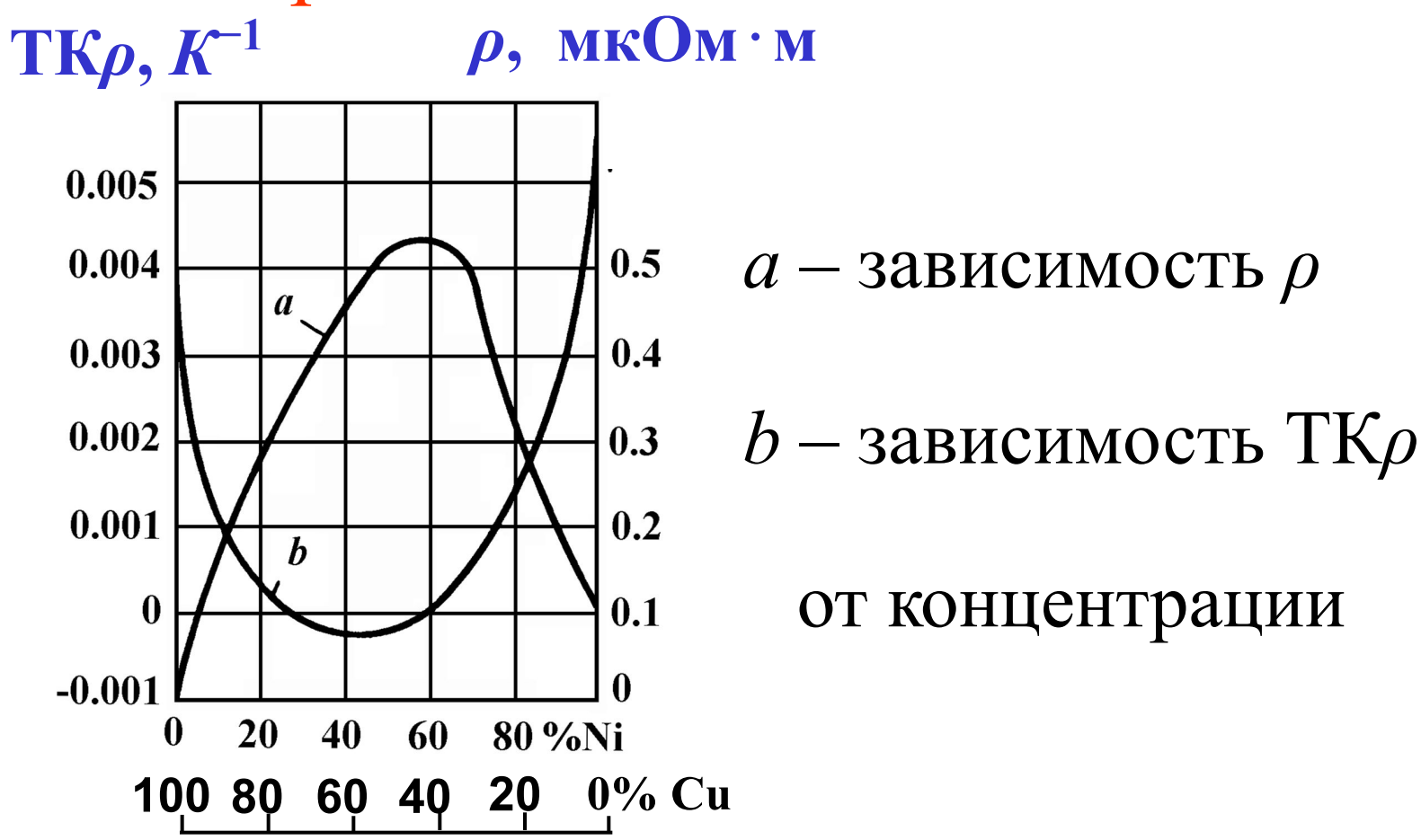


Чистый металл

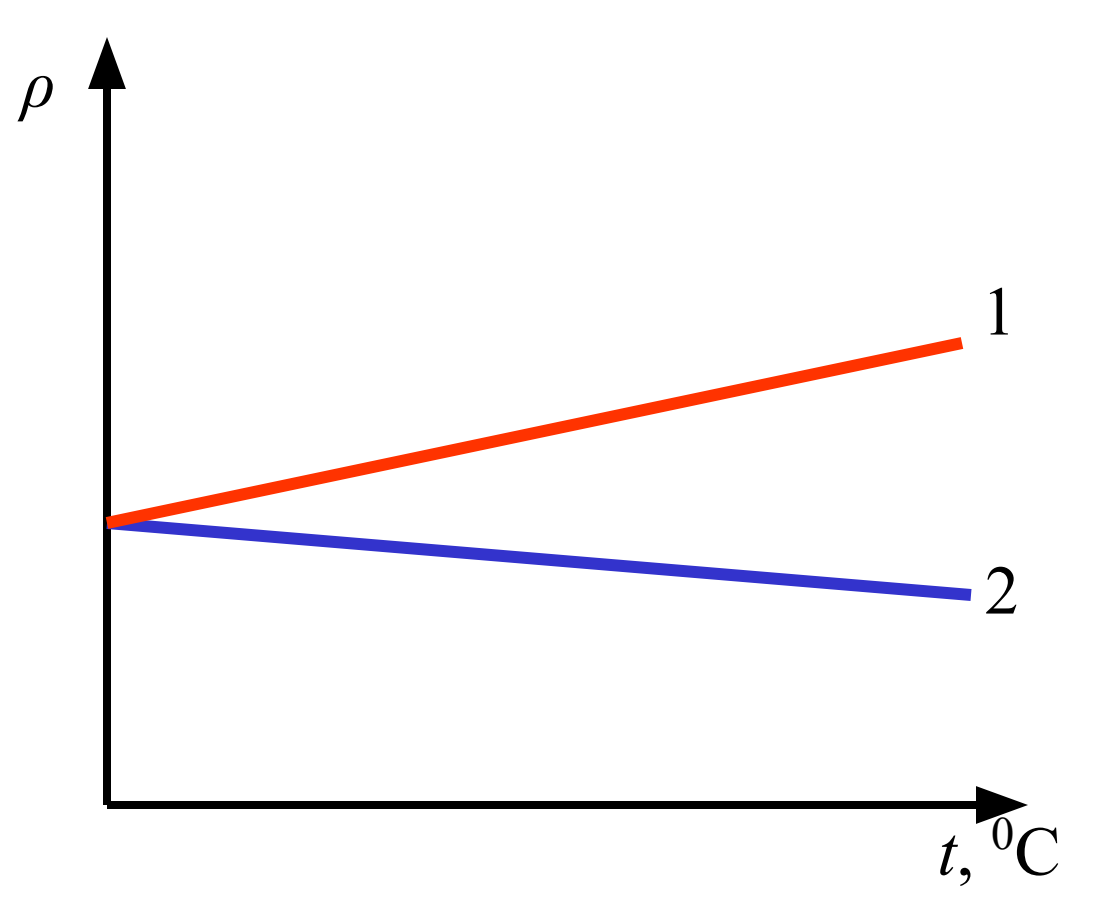


Сплав

Влияние концентрации на удельное сопротивление сплава *NiCu*

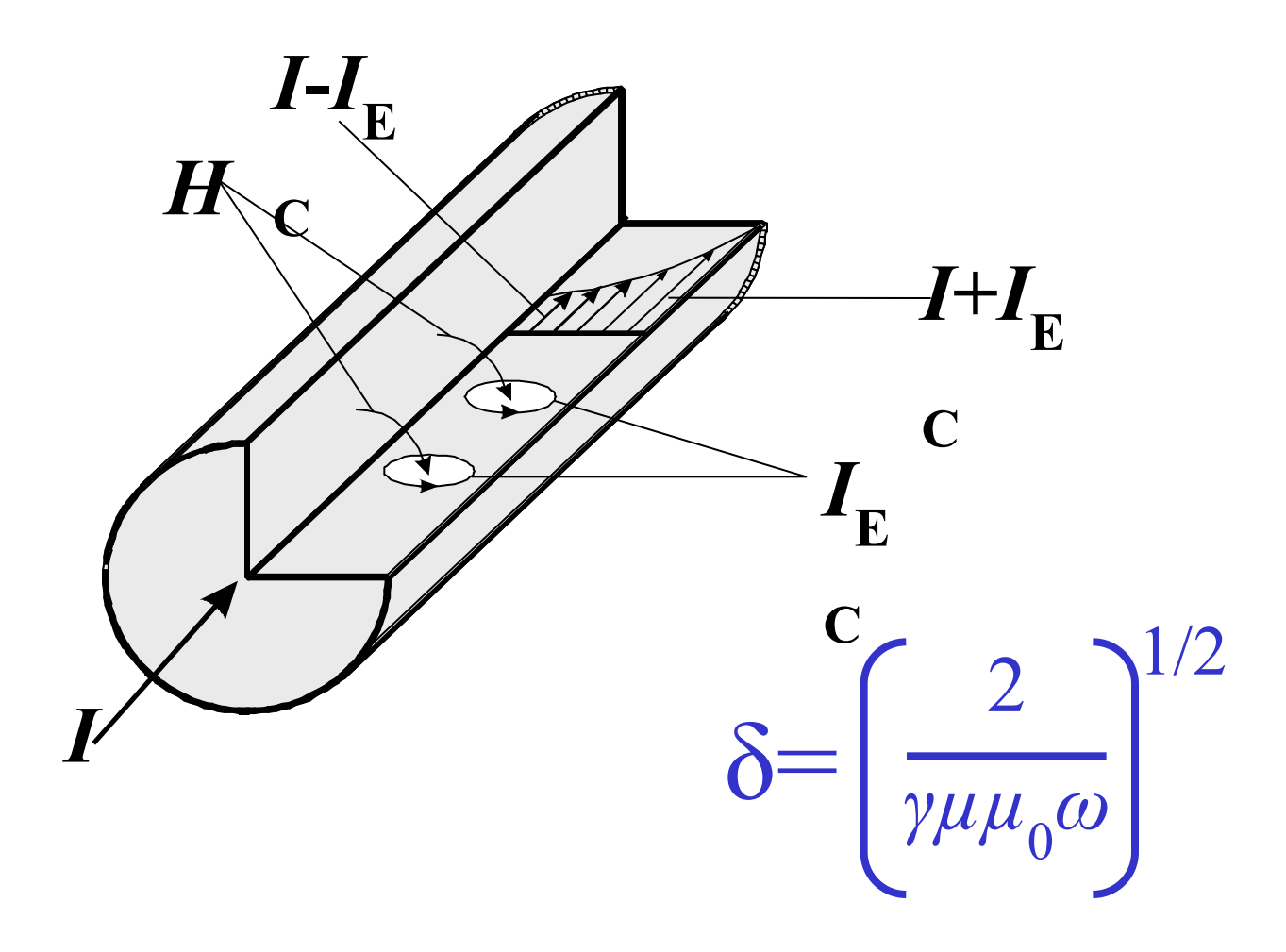


ВЛИЯНИЕ ТЕМПЕРАТУРЫ НА СОПРОТИВЛЕНИЕ СПЛАВОВ



В РЯДЕ СЛУЧАЕВ ПРИ повышении ТЕМПЕРАТУРЫ У СПЛАВОВ МОЖЕТ **УВЕЛИЧИВАТЬСЯ** КОНЦЕНТРАЦИЯ С.Н.З., ЧТО КОМПЕНСИРУЕТ потерю подвижности, ИНОГДА ПРИВОДЯ К ПРЕИМУЩЕСТВЕННОМУ **POCTY** ЭЛЕКТРОПРОВОДНОСТИ (кривая 2)

Скин-эффект



ТЕРМОЭЛЕКТРОДВИЖУЩАЯ СИЛА

При соприкосновении двух различных металлов *А* и *В*, между ними возникает контактная разность потенциалов, обусловленная различием значений работы выхода электронов и концентрации свободных электронов соприкасающихся металлов



термоЭДС

$$U = \frac{k}{e} (T_1 - T_2) \ln \frac{n_A}{n_B}$$

 n_A и n_B — концентрации свободных электронов в металлах A и B

$$K=(k/e)ln(n_A/n_B), U=K\Delta T$$

К – коэффициент термоЭДС

Это явление используется при изготовлении термопар (для измерения температур), термогенераторов и термохолодильников

Конструкции термопар

1. Платина-Платинородий	до 1600 ⁰ C
2. Хромель-Алюмель	до 1000 ⁰ C
3. Железо-Константан	
Железо-Копель	до 600 ⁰ C
Хромаль-Копель	
4. Медь-Константан	до 350 ⁰ C
Медь-Копель	
5. Железо-Золото	до (10÷100) ⁰ К

• Копель (44%Ni+56%Cu)

• Алюмель (95%Nl+Al; Si; Mn)

• Хромель (90%Nl+10%Cr)

• Платинородий (90%Pt+10%Rh)

Таблица значений K [мкВ/град] относительно Pt при 0° С

$$Bi - 65.0$$
 $(Fe$ —конст.) = $Fe + 16.0$ $= (Fe$ — Pt) — (конст.— Pt) = $Cu + 7.4$ $= +16.0 - (-34.4) = 50.4$ $Ni - 16.4$ Знак показывает направление $Sb + 47.0$ термотока: в нагретом спае ток $Sb + 47.0$ Течет от меньшего $Sb + 47.0$ Течет от

В полупроводниках термоЭДС значительно сильнее, так как концентрация с.н.з. сильнее зависит от температуры.

ТЕПЛОПРОВОДНОСТЬ МЕТАЛЛОВ

Тепло в металлах передается в основном теми же свободными электронами, которые определяют электропроводность

Закон ВИДЕМАНА-ФРАНЦА-ЛОРЕНЦА

$$\lambda / _{\gamma} = L_0 \cdot T$$
 где T - абсолютная температура, K ; L_0 - число Лоренца, равное

$$L_0 = rac{\pi^2}{3} \cdot rac{k}{e^2}$$
 k – постоянная Больцмана; е – заряд электрона.

Механические свойства проводников

- -предел прочности при растяжении σ_{P}
- относительное удлинение при растяжении;
 - твердость;
 - хрупкость.

Температурный коэффициент линейного расширения

$$TK\mathbb{N} = \frac{1}{\mathbb{N}} \frac{d\mathbb{N}}{dT} \qquad [K^{-1}]$$

Классификация проводников по

области применения
1. Металлы и сплавы с высокой удельной электропроводностью

$$Al$$
 ho =0,026 мкОм·м $Au\rho$ =0.024 мкОм·м легче Cu в 3,5 раза ρ =0.016 мкОм·м Pt ρ =0.105 мкОм·м

$$Fe\ (cmanb)\
ho = 0.098\ mkOm·m$$
 $Pd\
ho = 0.110\ mkOm·m$

2. Металлы и сплавы с высоким удельным сопротивлением

Манганин: Си-85%; Мп-12%; Ni-3%

$$\rho$$
= 0,42 ÷ 0,48 мкОм·м ТК ρ = (6÷50)·10⁻⁶ град⁻¹

Константан: *Cu*-60% ; *Ni*-40%

$$\rho = 0.48 \div 0.52 \text{ Mk·Oм·м TK} \rho = (5 \div 25) \cdot 10^{-6} \text{ град}^{-1}$$

Нихромы:
$$\rho = 1.0 \div 1.5$$
 мк⁻Омм

$$(60-80)$$
% $Ni + (15-20)$ % $Cr + Fe$ (до 10%)

Фехрали
$$\rho = 1,1\div 1,5$$
 Мк[·]Ом·м $(20\div 40)\%$ $Fe + (60\div 70)\%$ $Cr + (5\div 10)\%$ Al

Хромали
$$\rho = 1,1 \div 1,5 \text{ Mk·Om·m}$$
 $(5 \div 10)\% Al, \text{ ост. } Cr$

3. Металлы и сплавы специального назначения

Материалы для термопар

Тензометрические сплавы

Контактные материалы

скользящие, разрывные контакты

Припои

мягкие, низкотемпературные, твёрдые

ПОЛУПРОВОДНИКОВЫЕ МАТЕРИАЛЫ -

вещества, основным свойством которых является сильная зависимость электропроводности от внешних факторов

По типу электропроводности

Собственные

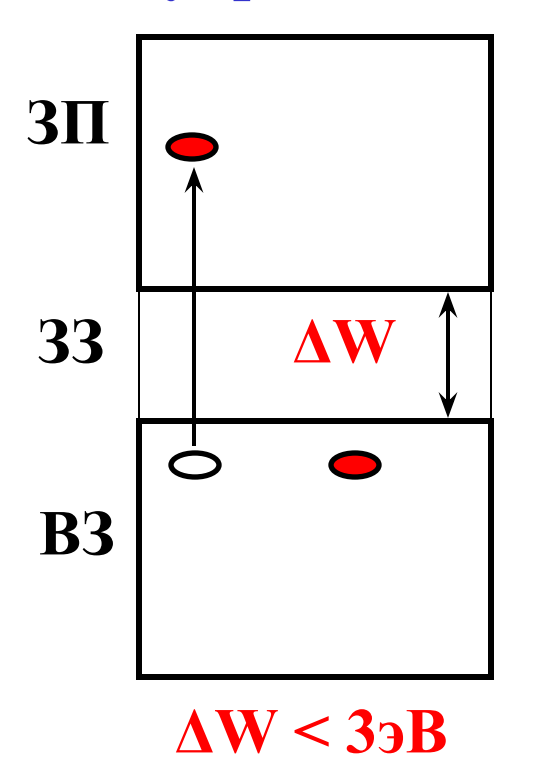
с.н.з. – электроны и дырки 12 простых веществ В, С, Si, P, S, Ge, As, Sn (серое олово), Sb, Te, Y, Se. Примесные

Донорные

с.н.з. электроны Акцепторные

с.н.з. -дырки

полупроводники



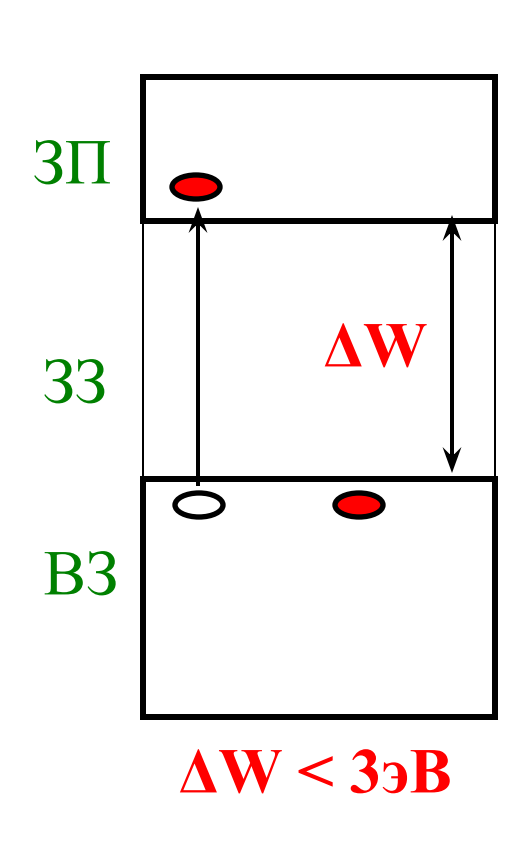
$$\rho_{\rm V} \sim 10^{-4} \div 10^9 \ \mathrm{Om} \cdot \mathrm{M}$$

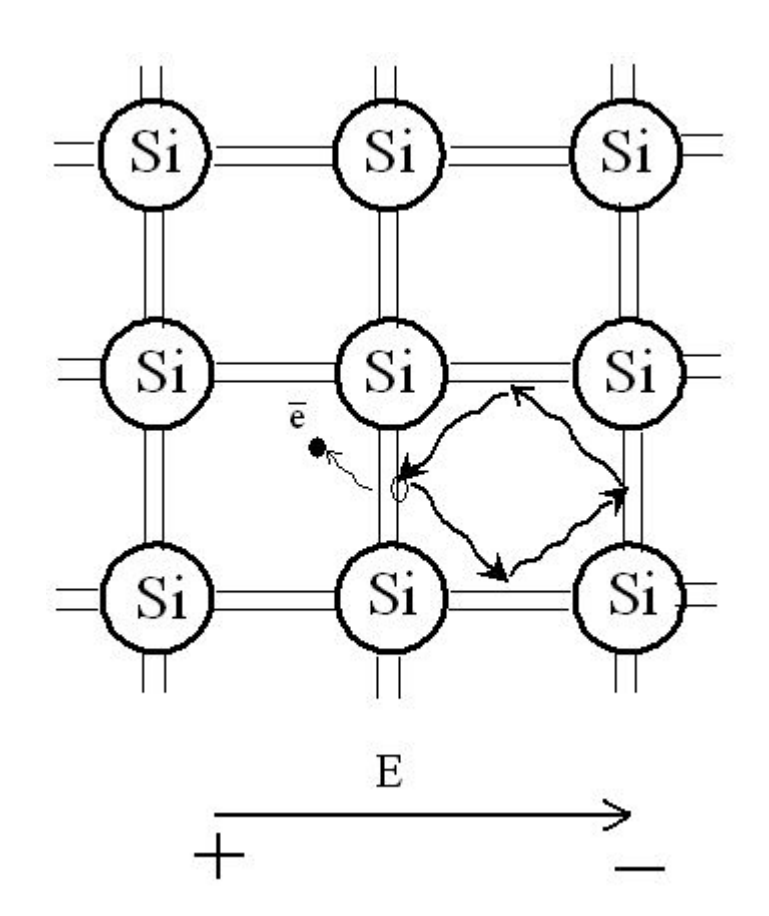
A^IB^{VII} (AgCl, CaBr и др.), A^{II}B^{VI} (CdS, CdSe и др.), A^{III}B^V (GaP, GaAs и др.), A^{IV}B^{IV} (PbS, GeO₂ и др.), A^IB^{VI} (CuS и др.)

A^IB^{VII}C^{VI} (CuAlS₂, CuJnS₂ и др.); A^IB^VC^{VI} (CuSbS₂, CaAsS₂ и др.); A^IB^{VIII}C^{VI} (CuFeSe₂ и др.); A^{II}B^{IV}C^V (ZnSiAs₂, ZnGeAs и др.); A^{IV}B^VC^{VI}

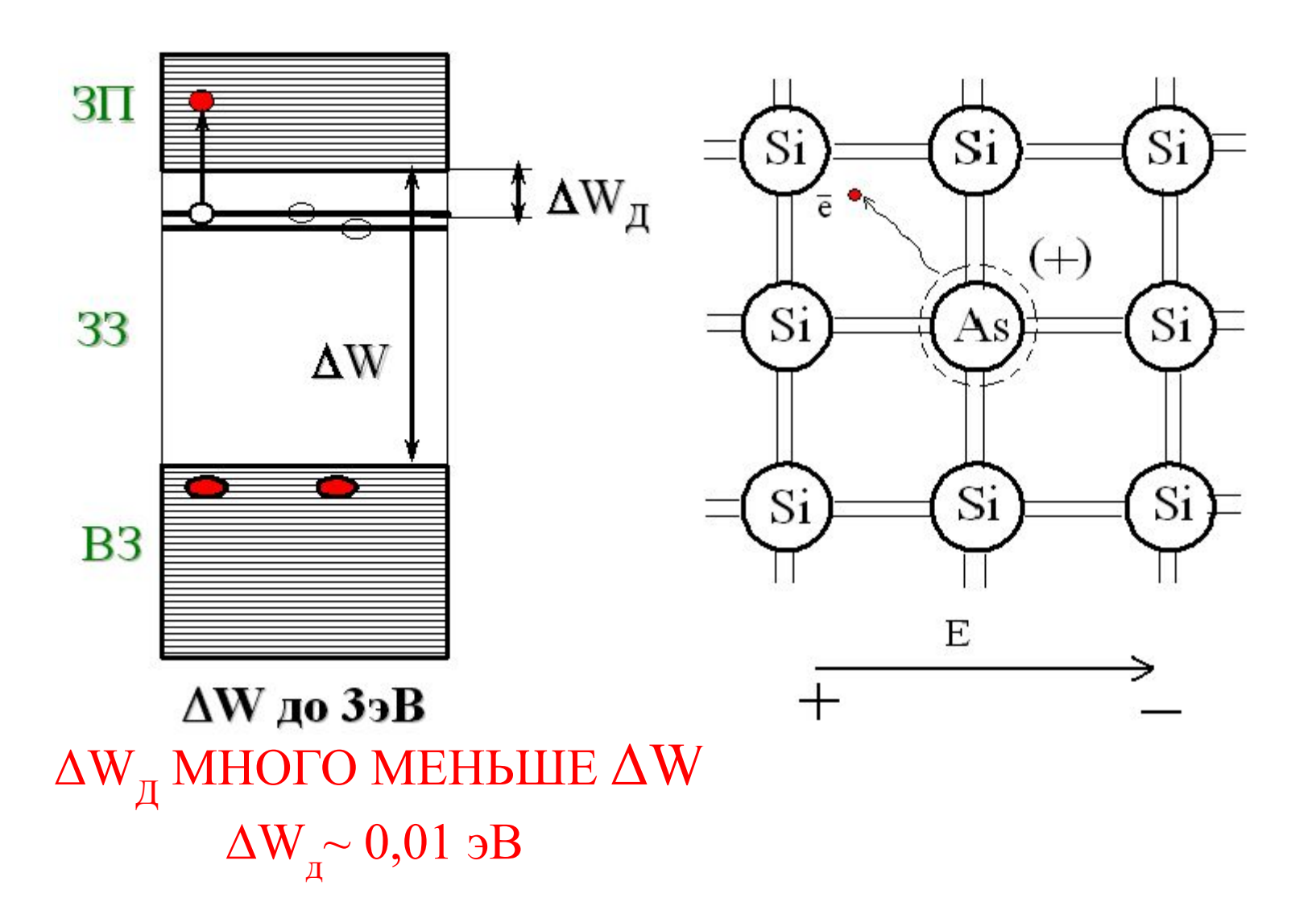
Энергия активации (ΔW) — минимальная энергия, необходимая для перевода электрона в зону проводимости

ЭЛЕКТРОПРОВОДНОСТЬ СОБСТВЕННЫХ ПОЛУПРОВОДНИКОВ

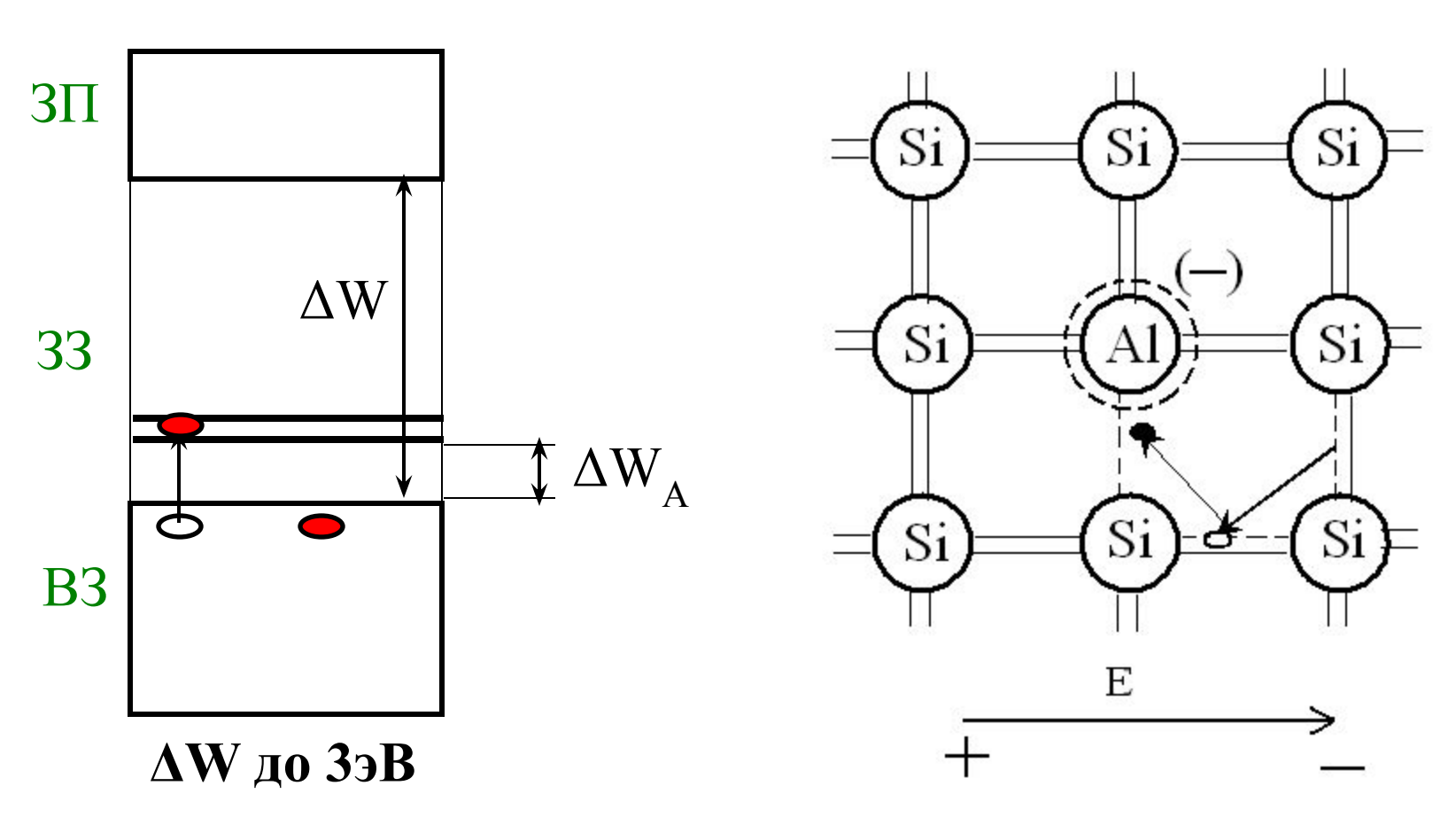




ЭЛЕКТРОПРОВОДНОСТЬ ДОНОРНЫХ ПОЛУПРОВОДНИКОВ

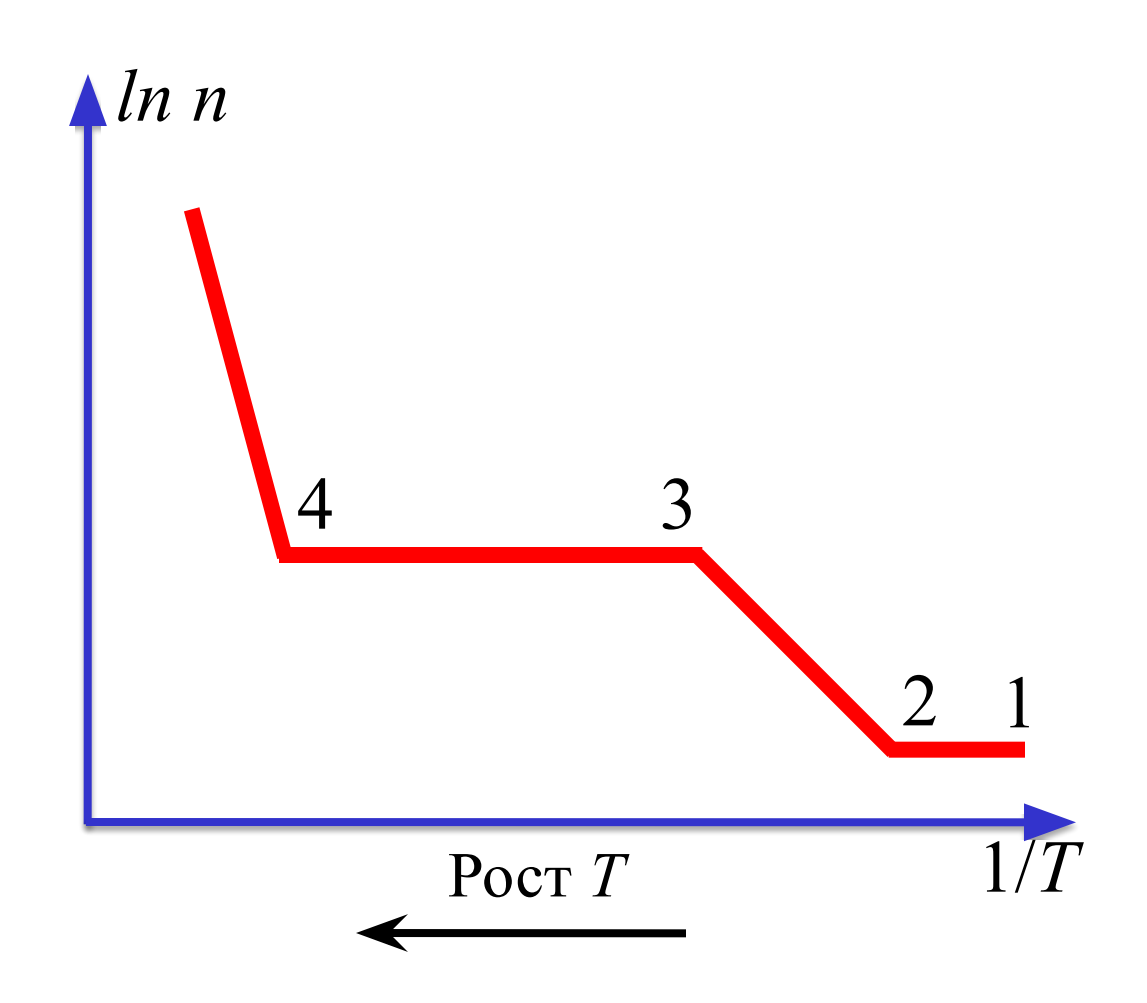


ЭЛЕКТРОПРОВОДНОСТЬ АКЦЕПТОРНЫХ ПОЛУПРОВОДНИКОВ

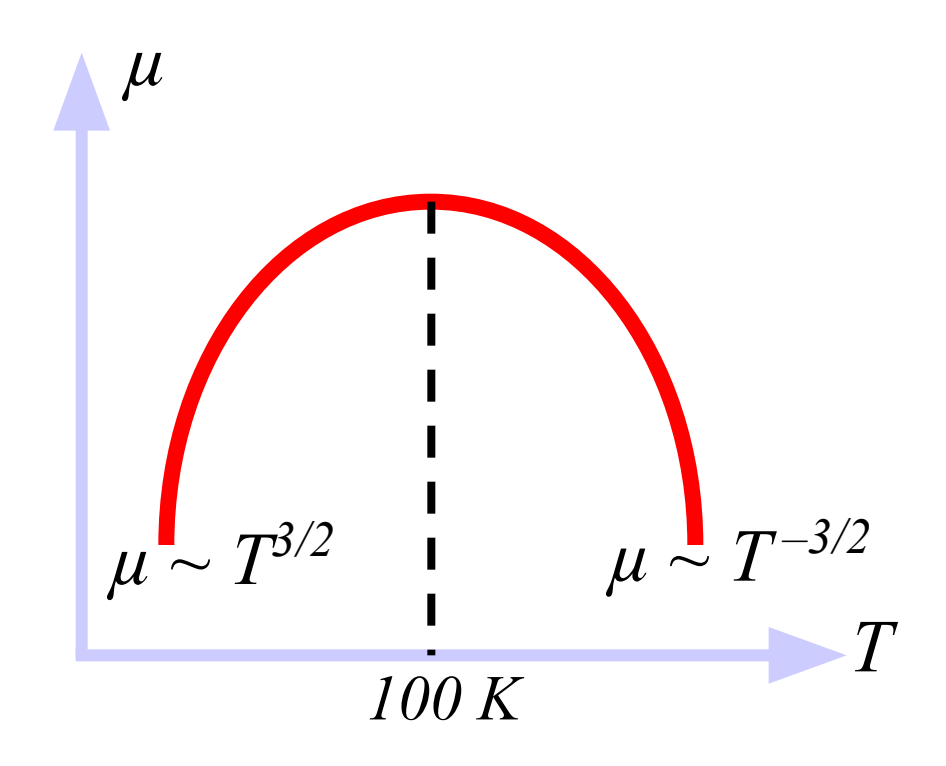


 ΔW_A МНОГО МЕНЬШЕ ΔW $\Delta W_{a^{\sim}}$ 0,01 эВ

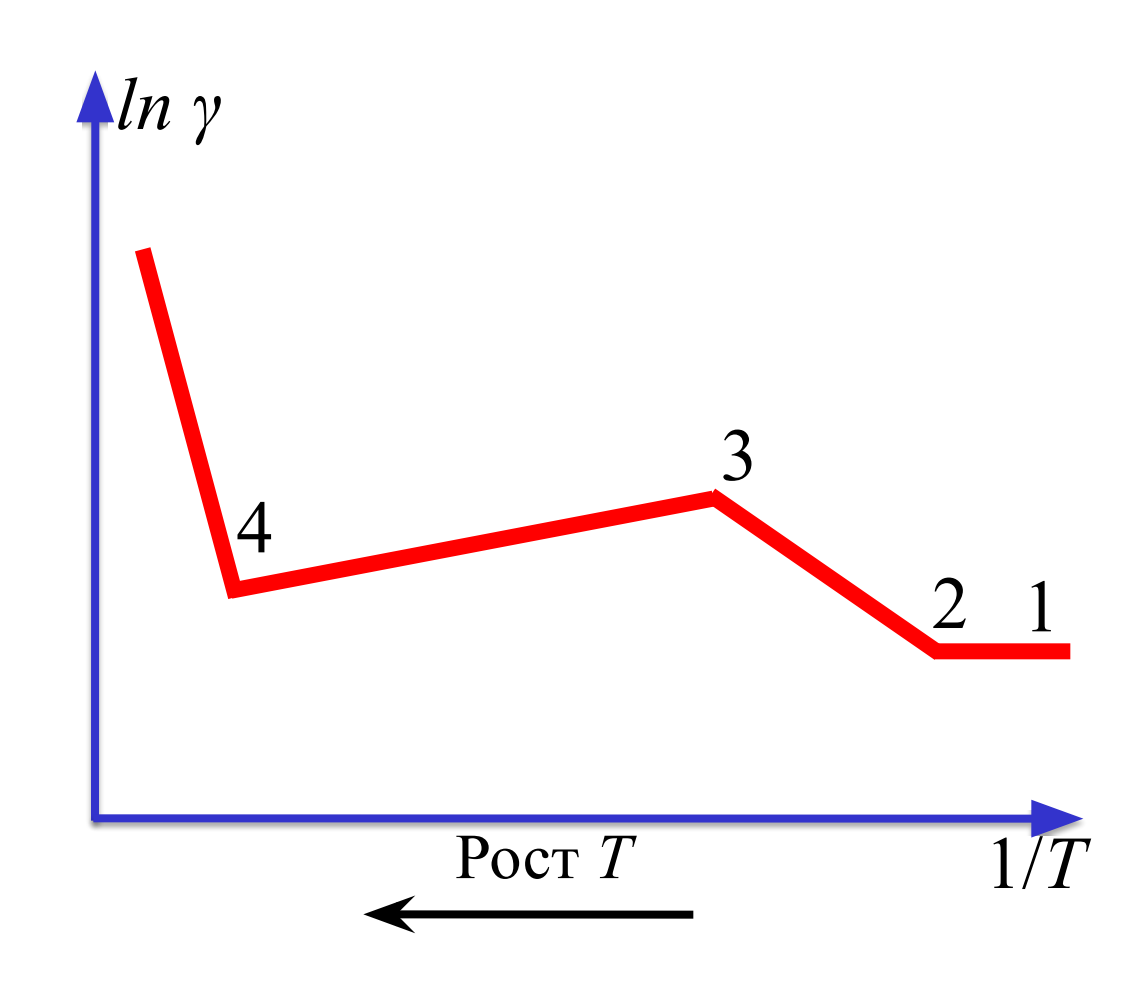
Температурная зависимость концентрации *п* с.н.з. в примесном полупроводнике



Температурная зависимость подвижности μ с.н.з. в полупроводниках.



ВЛИЯНИЕ ТЕМПЕРАТУРЫ НА ЭЛЕКТРОПРОВОДНОСТЬ у ПОЛУПРОВОДНИКОВ



$$\gamma = n \mathrm{e} \mu_{\mathrm{n}} + p \mathrm{e} \mu_{\mathrm{p}}$$
 и $n = A \mathrm{e}^{-\Delta E/2kT} =>$ $\gamma = \gamma_0 \mathrm{e}^{-\Delta E/2kT}$ и $R_T = R_0 \mathrm{e}^{-B/T}$, где $B = \Delta E/2k$

B — коэфф. температурной чувствительности.

Температурный коэффициент удельного сопротивления:

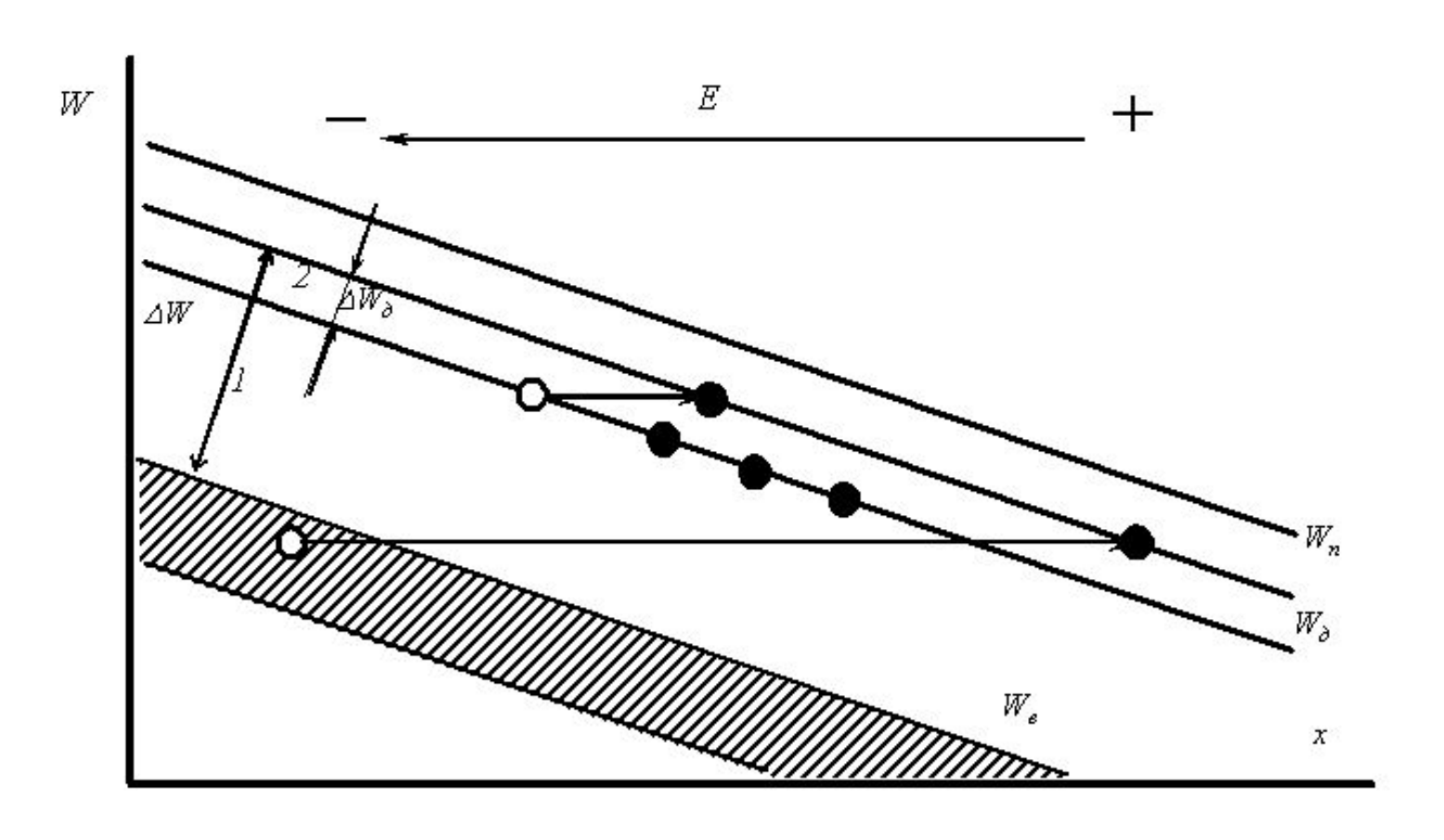
$$TK\rho = \frac{1}{\rho} \frac{d\rho}{dT} = -B/T^2$$

ТЕРМОРЕЗИСТОР – полупроводниковый прибор, действие которого основано на зависимости электрического сопротивления от температуры

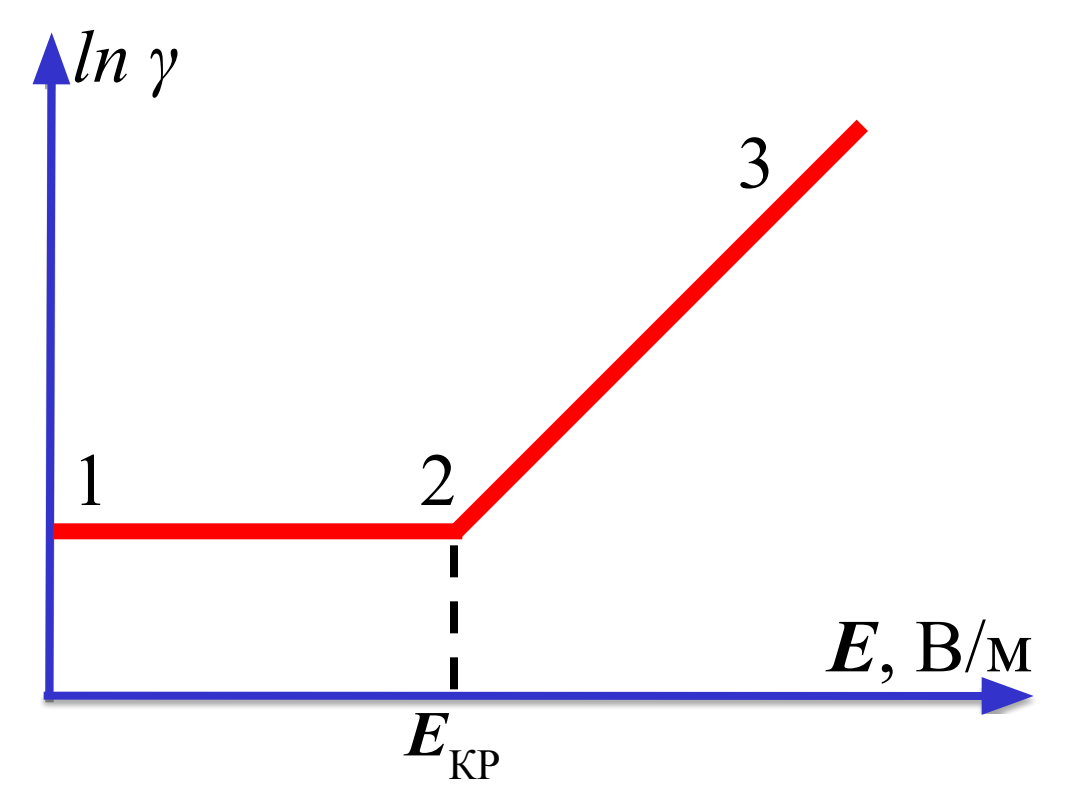
ТЕРМОРЕЗИСТОРЫ:

- 1. Кобальто-марганцевые
 - 2. Медно-марганцевые
- 3. Медно-кобальто-марганцевые

ВЛИЯНИЕ НАПРЯЖЕННОСТИ ВНЕШНЕГО ЭЛЕКТРИЧЕСКОГО ПЛОЯ НА ЭЛЕКТРОПРОВОДНОСТЬ ПОЛУПРОВОДНИКОВ



ЭЛЕКТРОСТАТИЧЕСКАЯ ИОНИЗАЦИЯ



 $E_{\rm KP}$ — критическая напряженность электрического поля: минимальная напряженность при которой начинается сильная зависимость концентрации и подвижности с.н.з. от E. Закон Френкеля:

$$\gamma = \gamma_0 \exp(\beta \sqrt{E})$$
; $R = R_0 \exp(-\beta \sqrt{E})$

Полупроводниковый прибор, действие которого основано на использовании зависимости электропроводности (сопротивления) n/n от напряженности электрического поля называется

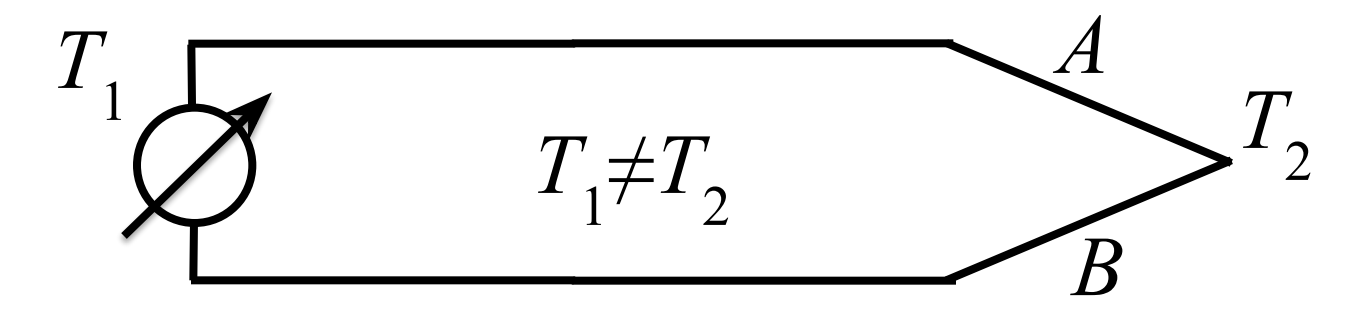
ВАРИСТОРОМ

В качестве материалов для изготовления варисторов используют:

- а) карбид кремния (СН1)
- б) селен (СН2)

ТЕРМОЭЛЕКТРИЧЕСКИЕ ЭФФЕКТЫ В ПОЛУПРОВОДНИКАХ

Эффекты Зеебека, Пельтье и Томсона.



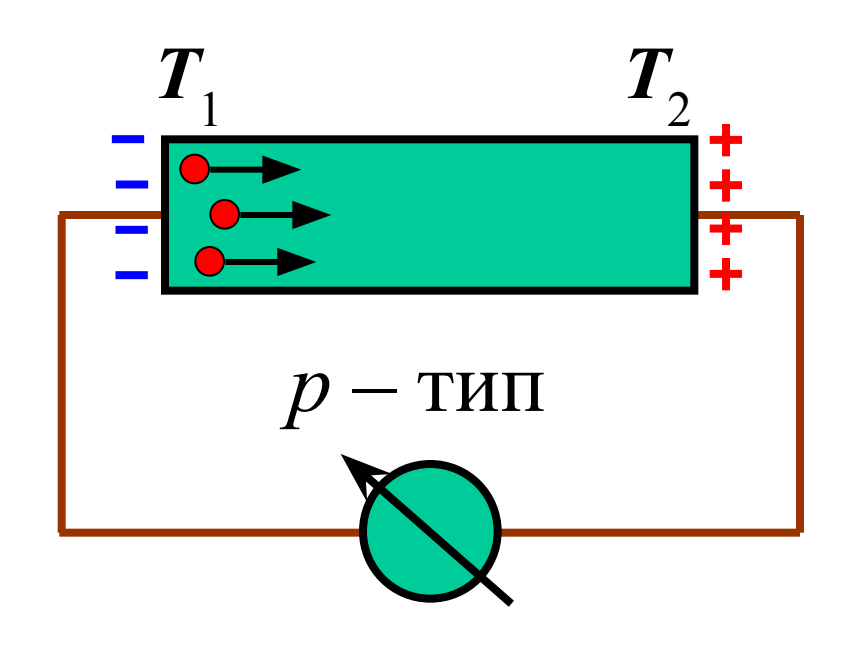
Эффект Зеебека: если в замкнутой электрической цепи, состоящей из последовательно соединенных разнородных полупроводников, на спаях создана разность температур $\Delta T \neq 0$, то в цепи возникает термоЭДС:

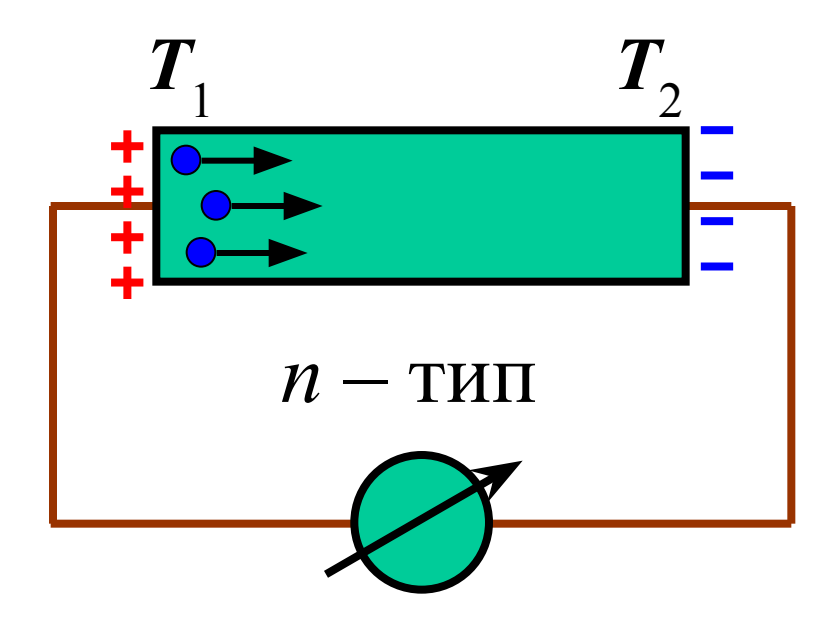
$$U_T = \alpha \cdot \Delta T$$

α – коэффициент термоЭДС, который зависит от материалов термопары и интервала температур

Определение типа с.н.з. с помощью эффекта Зеебека

$$T_1 > T_2$$





Эффект Пельтье: при прохождении тока через контакт двух последовательно соединенных разнородных полупроводников, место соединения нагревается или охлаждается в зависимости от направления тока.

Количество теплоты:

$$Q_{\Pi} = \pm \Pi \cdot I \cdot t$$

П – коэффициент Пельтье

I — величина тока, протекающего через контакт

t — время прохождения тока

Томсон установил связь: $\alpha = \Pi/T$

Эффект Томсона: при прохождении тока через полупроводник, вдоль которого есть градиент температуры, в дополнении к теплоте Джоуля, в зависимости от направления тока, выделяется или поглощается некоторое количество тепла.

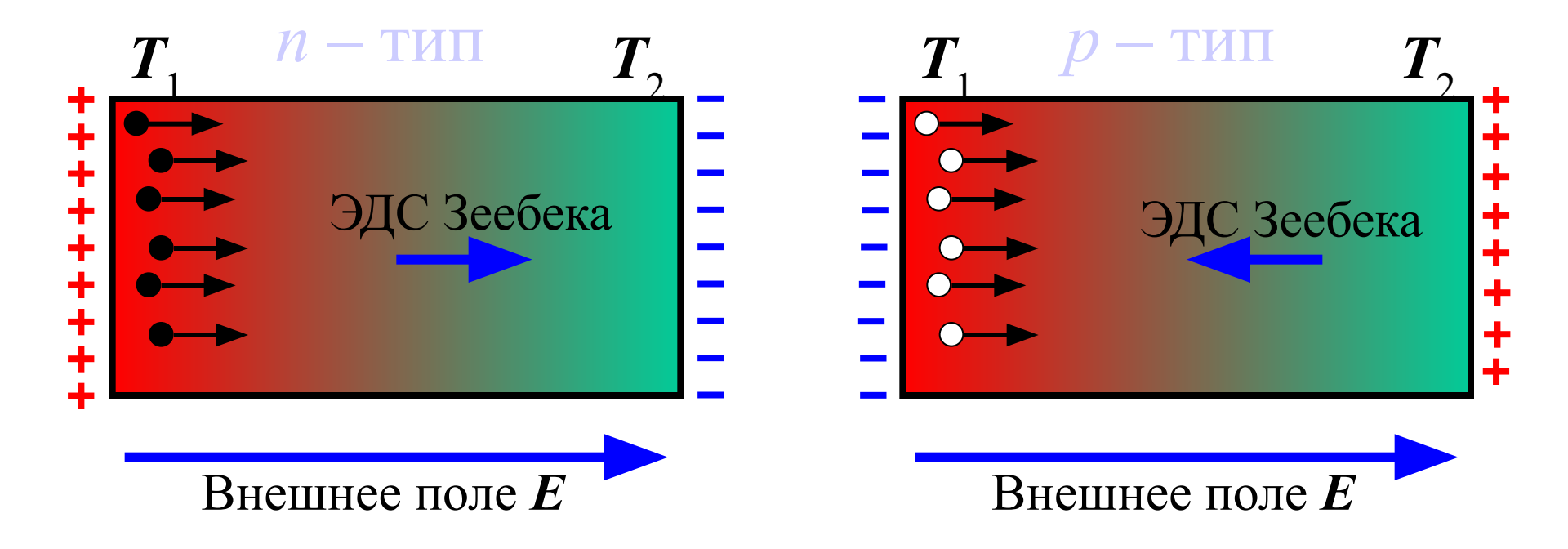
Теплота Томсона:
$$Q_T = \tau \cdot \Delta T \cdot I \cdot t$$

т — коэффициент Томсона

Между всеми термоэлектрическими явлениями существует связь.

$$\alpha = d\Pi/dT + (\tau_1 - \tau_2)$$

Механизм возникновения эффекта Томсона. $T_1 > T_2$



Гальваномагнитный эффект

Холла Если пластину полупроводника, вдоль которой течёт электрический ток I, поместить в магнитное поле B, направленное перпендикулярно направлению тока, то в полупроводнике возникнет поперечное электрическое поле E, направленное перпендикулярно току и магнитному полю.

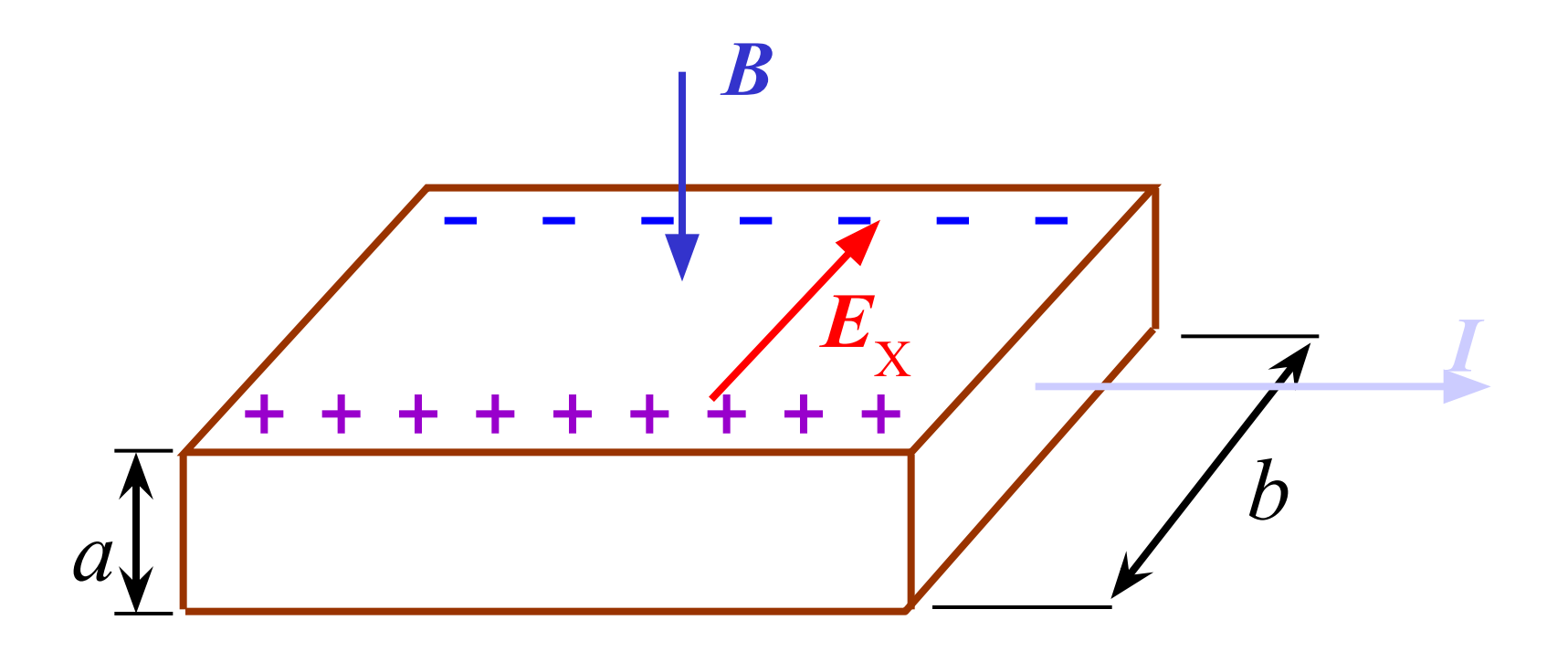


Схема возникновения ЭДС Холла $U_{\scriptscriptstyle \rm X}$

$$U_X = R_X \frac{I \cdot H}{a} [B]$$

Для полупроводника n-типа: $R_X = \frac{-1}{}$

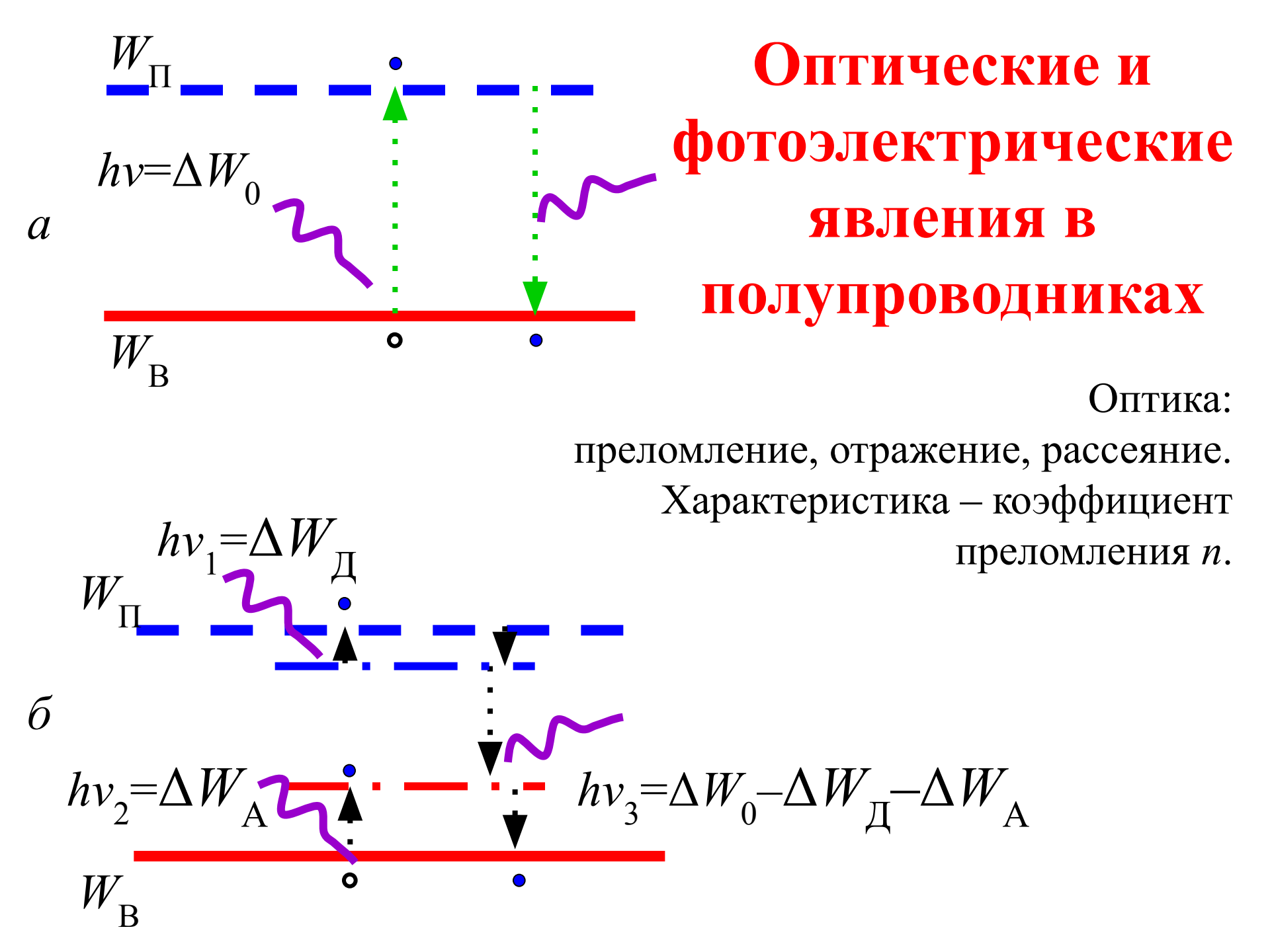
$$R_X = \frac{-1}{en}$$

Для полупроводника *p*-типа:

$$R_X = \frac{1}{ep}$$

Для собственного полупроводника:

$$R_X = \frac{1}{en} \cdot \frac{\mu_p - \mu_n}{\mu_p + \mu_n}$$



Фотоэлектрические явления:

- эмиссия электронов с поверхности,
- генерация свободных электронов и дырок,
- фотолюминесценция,
- нагревание,
- образование экситонов, то есть связанных электрически нейтральных пар электрон-дырка

Фотоэлектрические явления происходят в результате поглощения энергии фотонов полупроводником.

Поглощение света полупроводниками.

Закон Бугера-Ламберта:

$$I = I_0(1-R)\exp(-\alpha x) ,$$

 I_0 – интенсивность падающего монохроматического излучения;

I — интенсивность прошедшего (или отраженного) излучения;

R — коэффициент отражения;

x — текущая координата от поверхности вдоль луча;

 α — толщина образца, на которой интенсивность уменьшается в e раз (коэффициент поглощения).

Зависимости $\alpha(\lambda)$ (или $\alpha(hv)$) называют *спектром поглощения*, а $R(\lambda)$ (или R(hv)) – *спектром отражения*.

Механизмы поглощения света:

- собственное поглощение: переходы из валентной зоны в зону проводимости;
- экситонное поглощение: переходы с участием экситонных состояний;
- *поглощение свободными носителями заряда*: переходы электронов и дырок внутри разрешённых зон;
- *примесное поглощение*: переходы с участием примесных состояний;
- *решёточное* и фононное поглощение: поглощение энергии фотонов колебаниями кристаллической решётки.

В разных интервалах спектра преобладают различные

Фотопроводимость

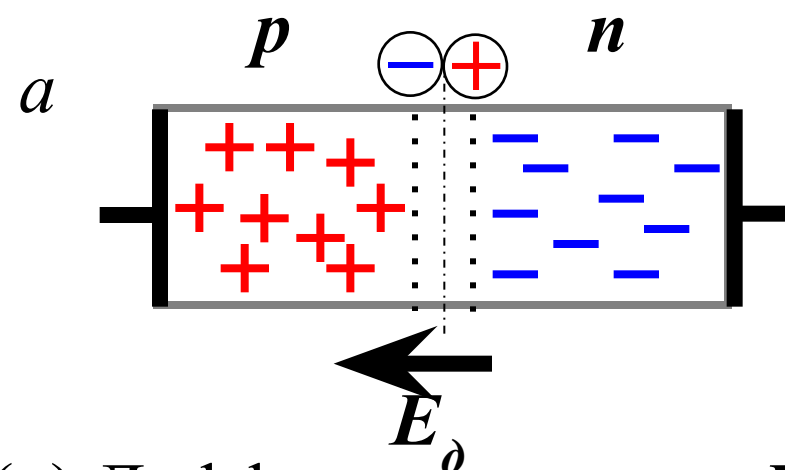
удельная фотопроводимость γ_{Φ} :

$$\gamma_{\Phi} = \gamma - \gamma_0 = e(\Delta n\mu n + \Delta p\mu p)$$

- γ_0 удельная проводимость полупроводника в отсутствие освещения;
- γ удельная проводимость освещенного полупроводника;
- Δn и Δp концентрация неравновесных с.н.з., возбужденных светом

р-п переход

Электронно-дырочные переходы получают вводя в полупроводник донорные и акцепторные примеси так, чтобы одна часть полупроводника обладала электронной, а другая дырочной электропроводностью.



(a) Диффузионное поле E_{δ} возникает из-за диффузии с.н.з. Образуется запирающий слой толщиной $d \sim 10^{-5}$ см.

 (δ) Направление E совпадает с E_{δ} и переход «заперт».

(в) E направлено против E_{δ} , запирающий слой насыщается с. н.з., и переход «открыт».

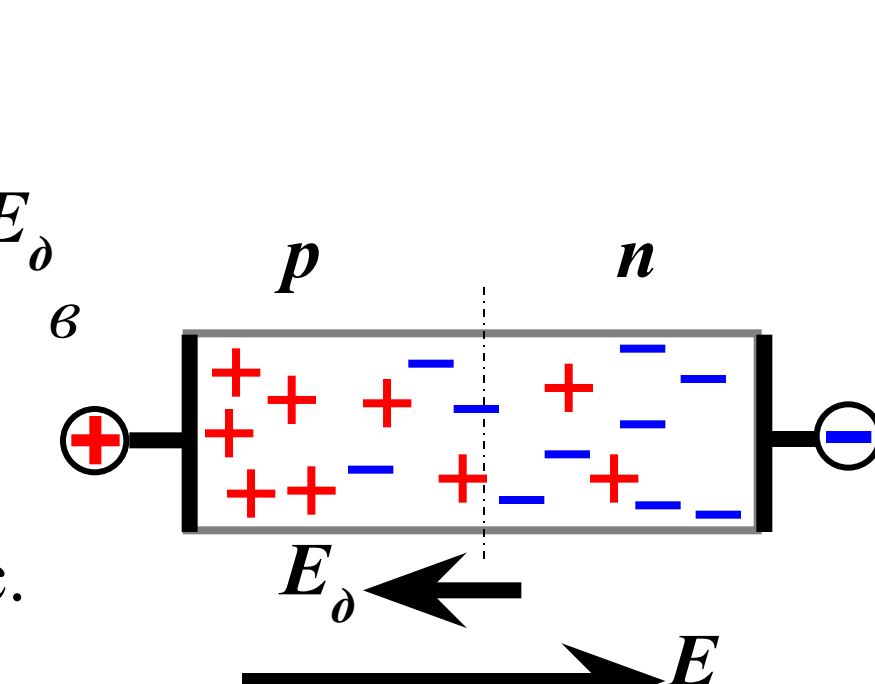
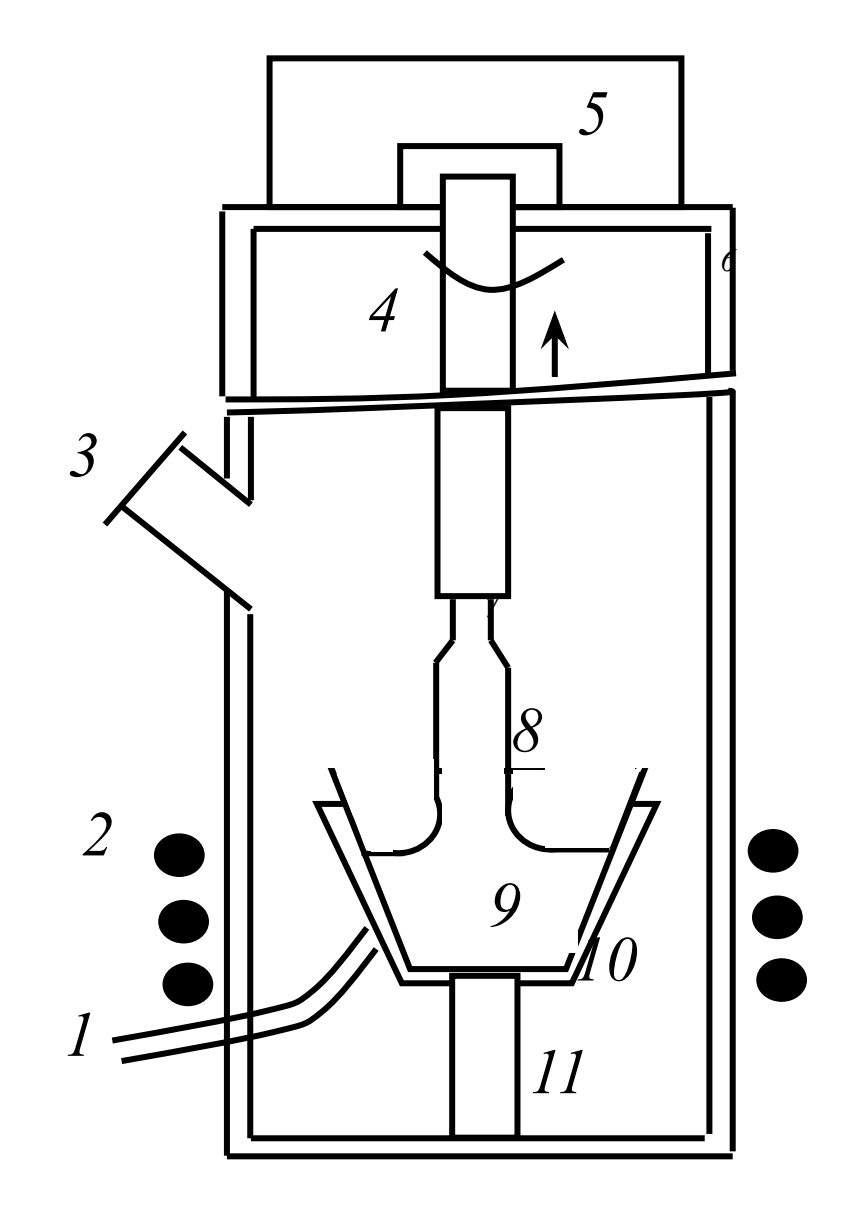


Схема установки для выращивания монокристаллов по методу Чохральского:

- 1 термопара;
- 2 индукционная печь;
- 3 окно для визуального контроля;
- 4 ось вращения;
- 5 устройство для вращения;
- 6 водяная рубашка;
- 7 монокристаллическая затравка;
- 8 выращиваемый кристалл;
- 9 расплав;
- 10 графитовый нагреватель;
- 11 теплоизоляционная подложка.



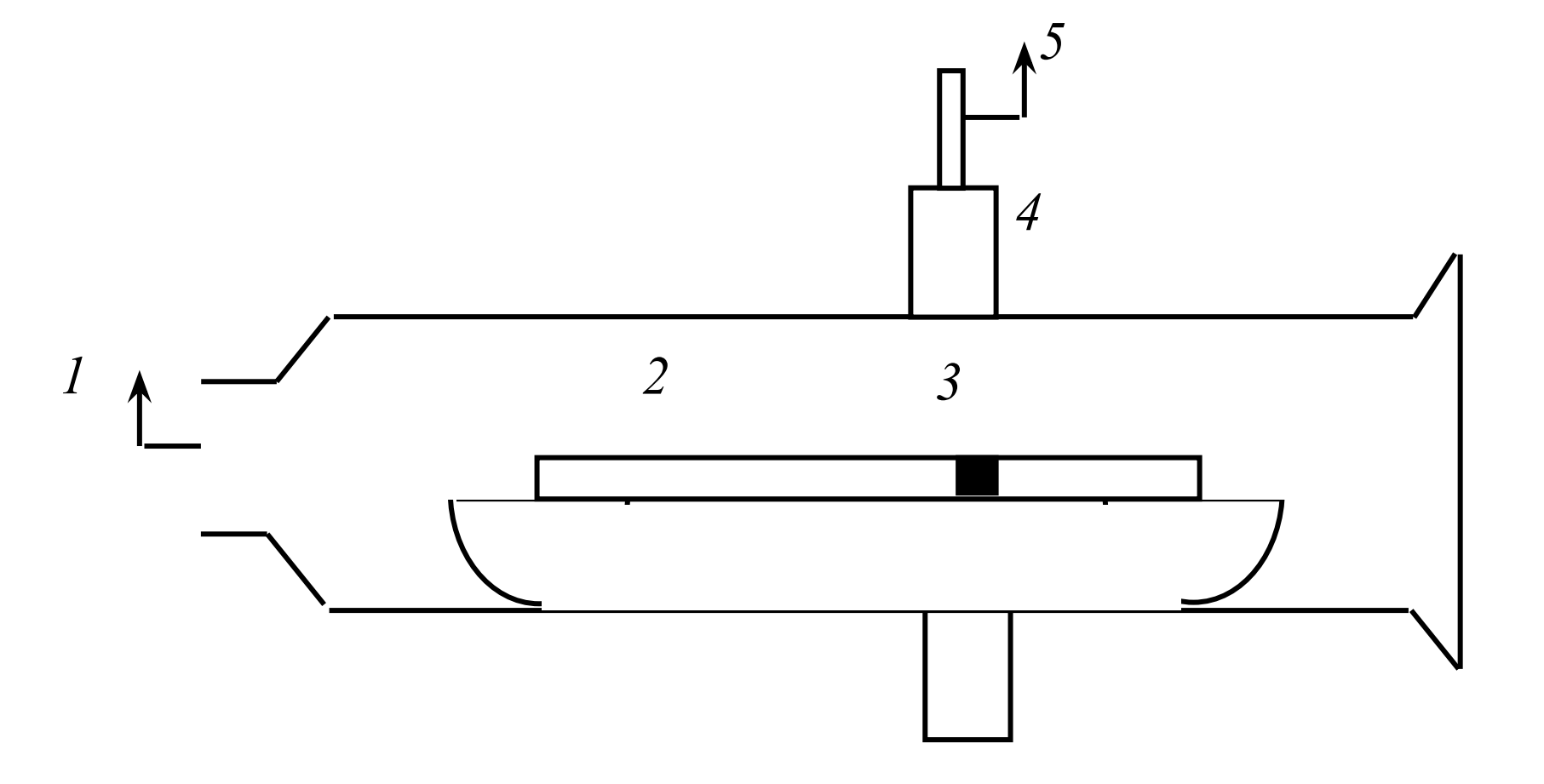


Схема установки для проведения зонной перекристаллизации: 1 — откачка на вакуум: 2 — образец в тигле; 3 — расплавленная зона; 4 — перемещаемый нагреватель; 5 — к устройству, перемещающему зону.

$$K_{3.\Pi.} = C_{\text{w.}\phi}/C_{\text{t.}\phi} > 1$$

Диэлектрические материалы

основные свойства:

очень слабая электропроводность и

способность к электрической поляризации

(существование электрического поля в объёме материала).



Пассивные

(электроизоляционные)

- применяются для создания электрической изоляции

Активные

- изменяют свои параметры под действием внешних факторов

Классификация диэлектриков

По агрегатному состоянию:

твердые (кристаллические, аморфные),

жидкие, газообразные,

а также твердеющие материалы: лаки, компаунды.

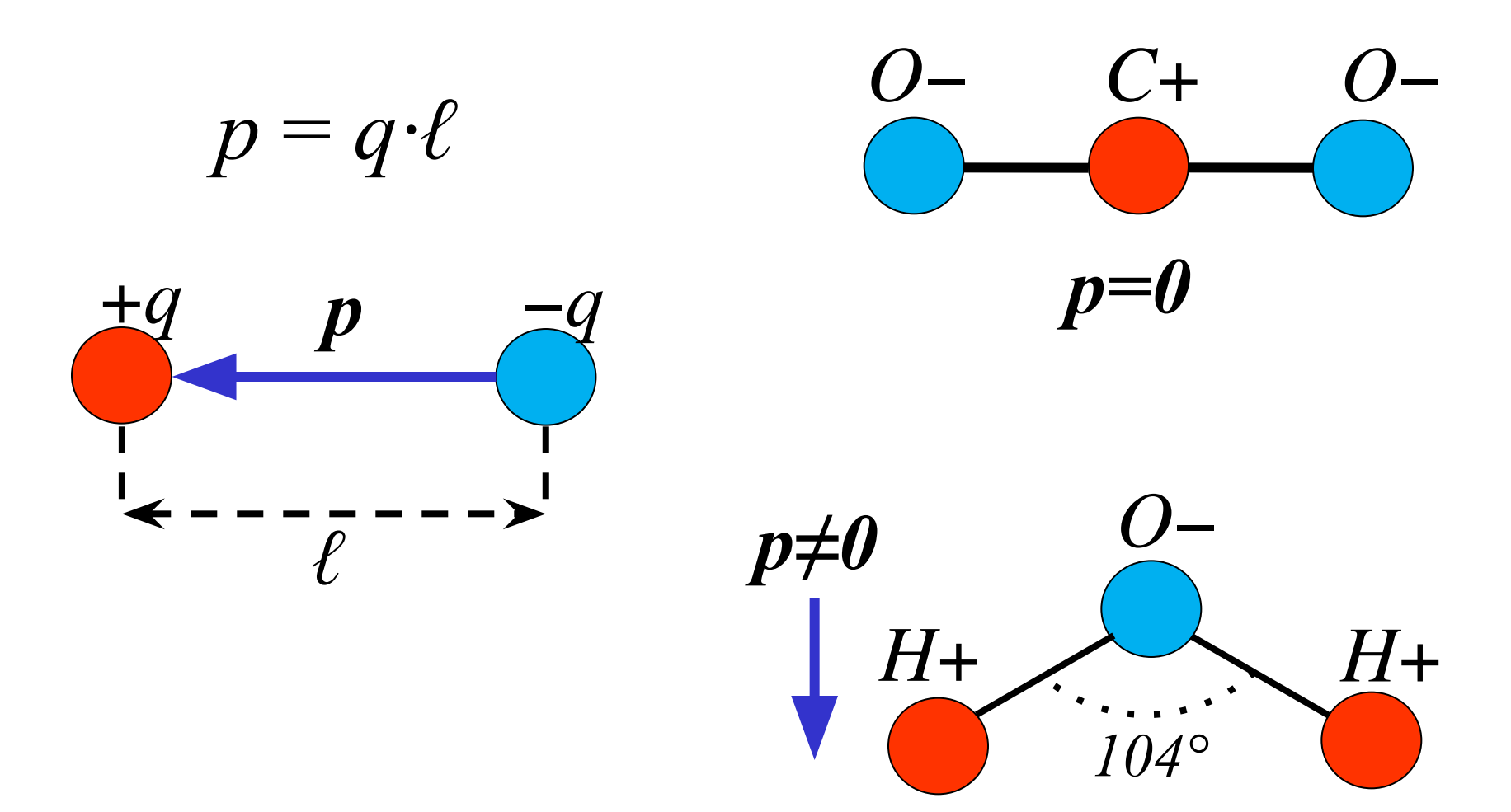
По химической природе:

Органические – молекулы содержат атомы углерода.

Неорганические — молекулы не содержат атомов углерода (кроме таких соединений, как оксиды углерода, сероуглерод, угольная кислота и ее соли).

Элементоорганические — молекулы содержат атомы элементов не характерных для органических веществ: Si, Mg, Al и др.

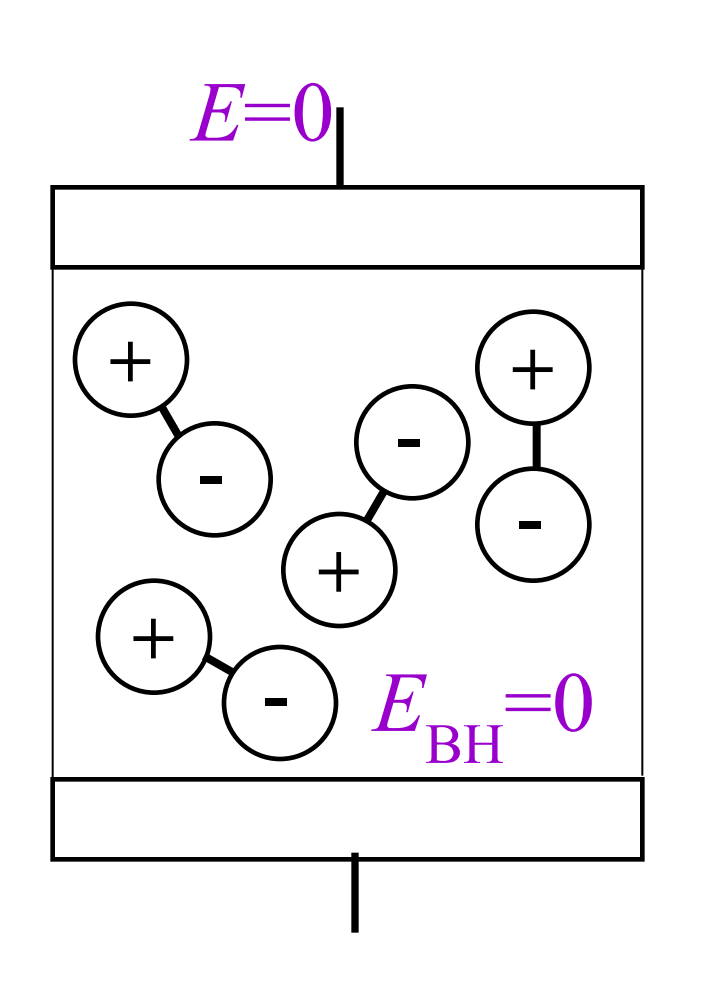
Полярность диэлектриков

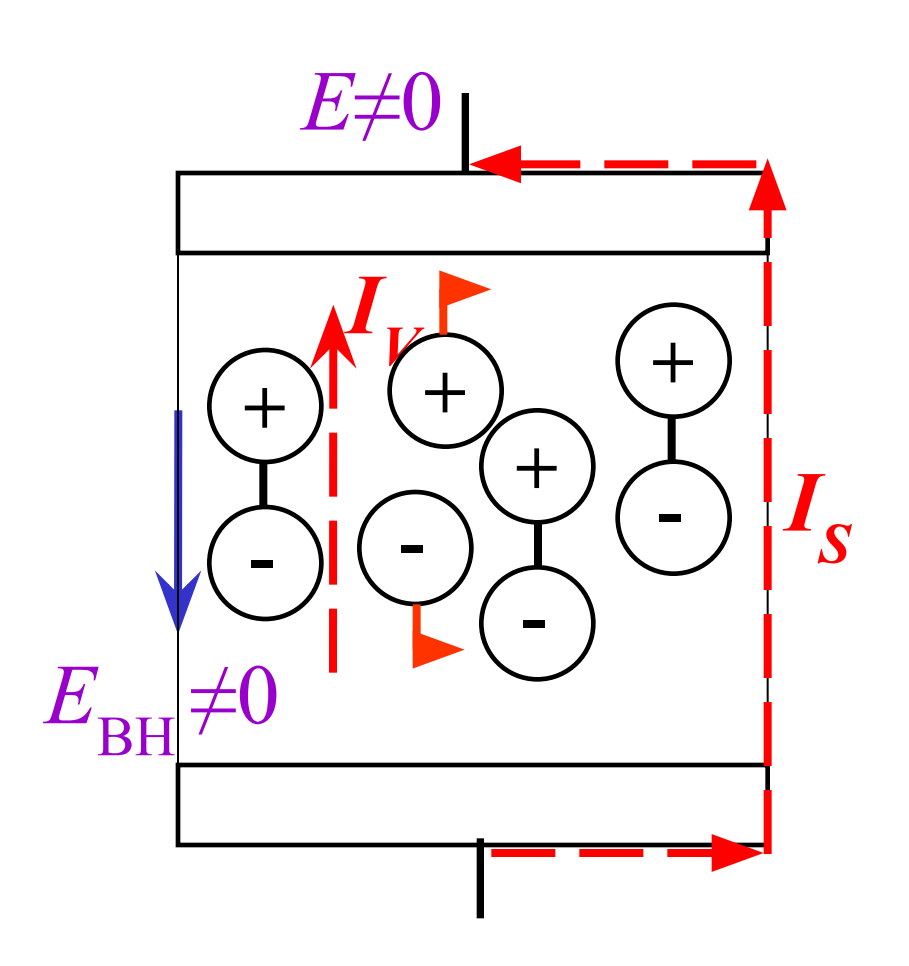


Основные характеристики, описывающие поведение диэлектриков в электрических полях:

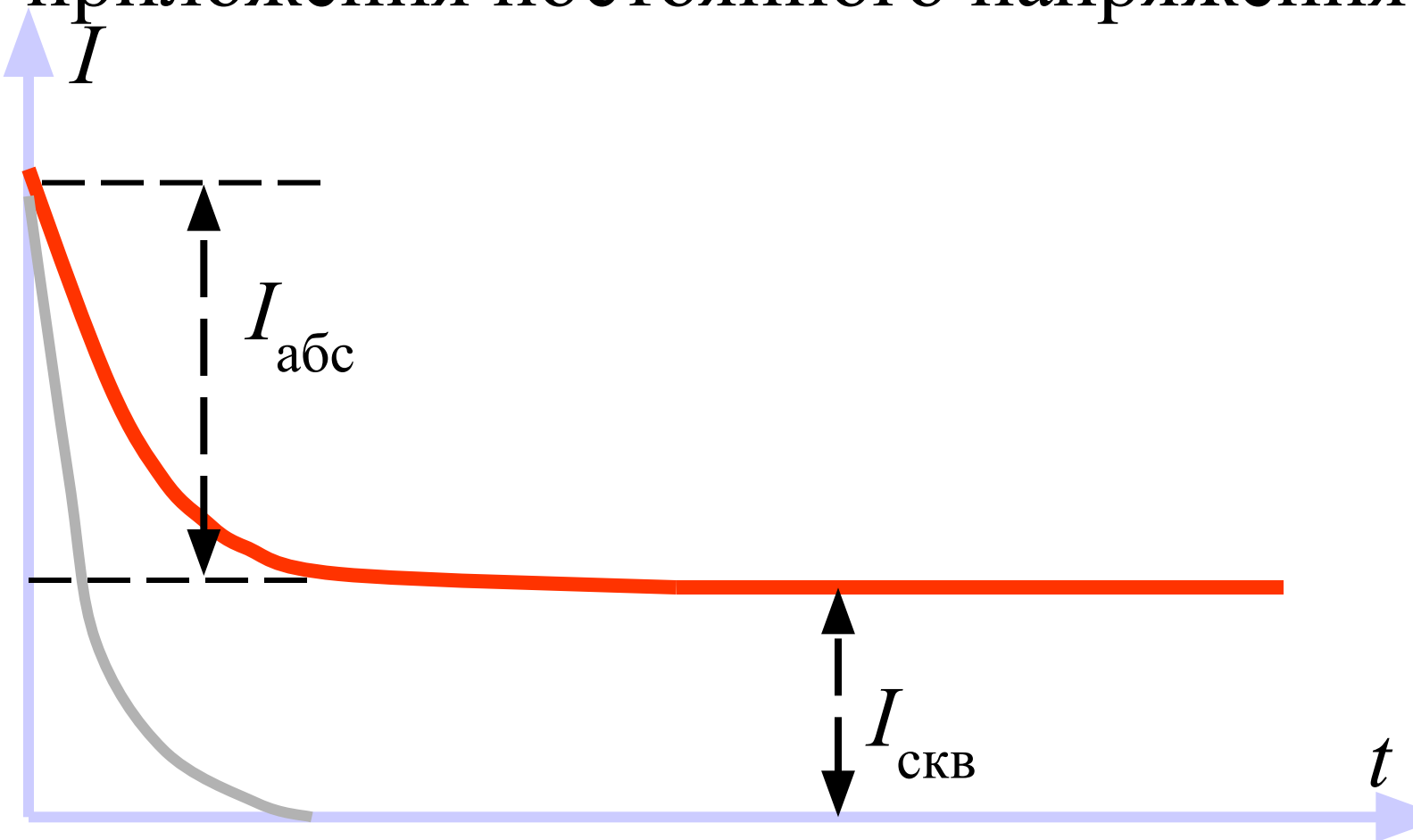
- 1. Электропроводность $\gamma(\rho)$
 - 2. Поляризация є
- 3. Диэлектрические потери $tg\delta$
- 4. Электрическая прочность $E_{\Pi P}$

ЭЛЕКТРОПРОВОДНОСТЬ ДИЭЛЕКТРИКОВ



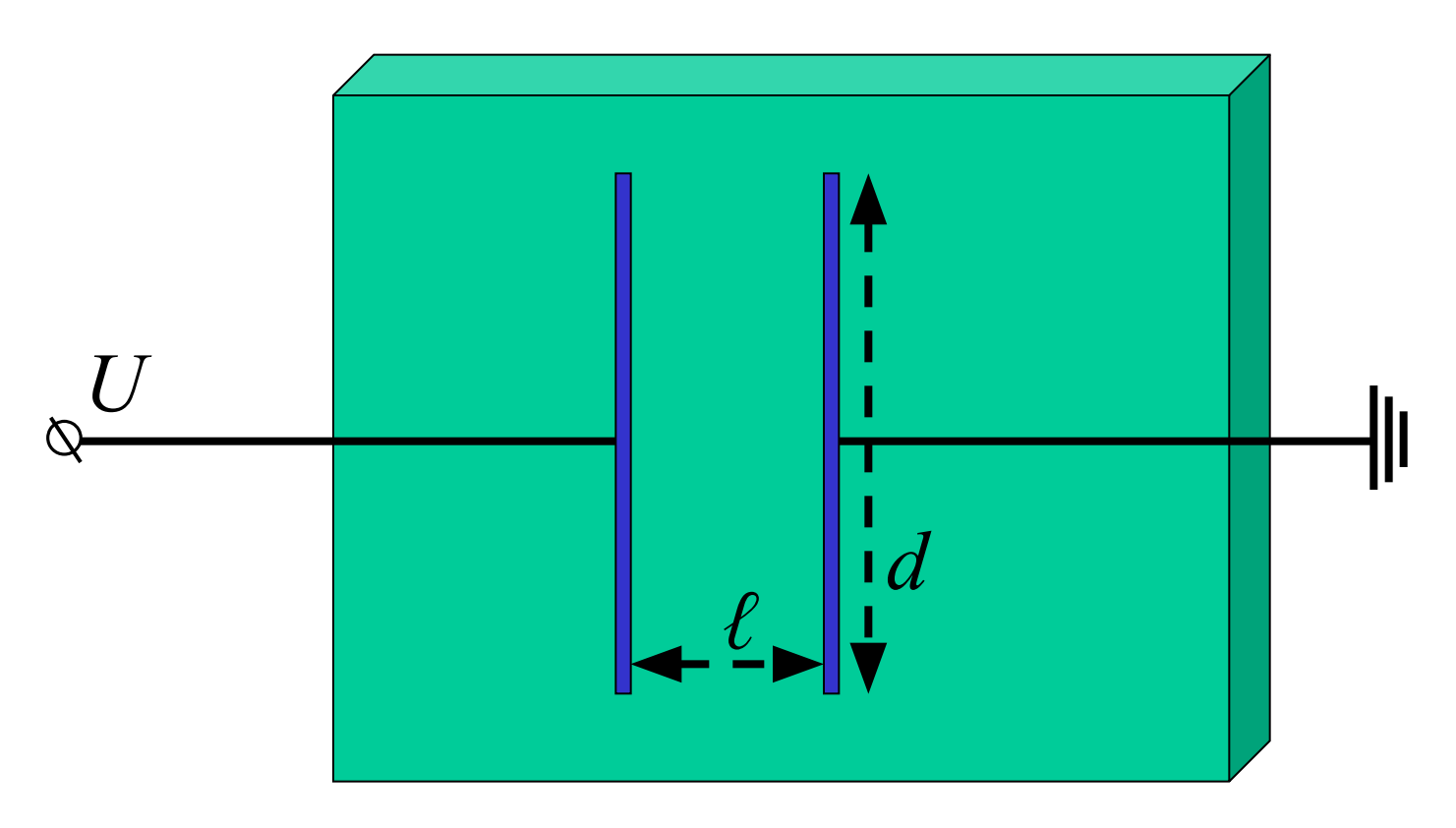


Изменение тока в диэлектрике при приложения постоянного напряжения

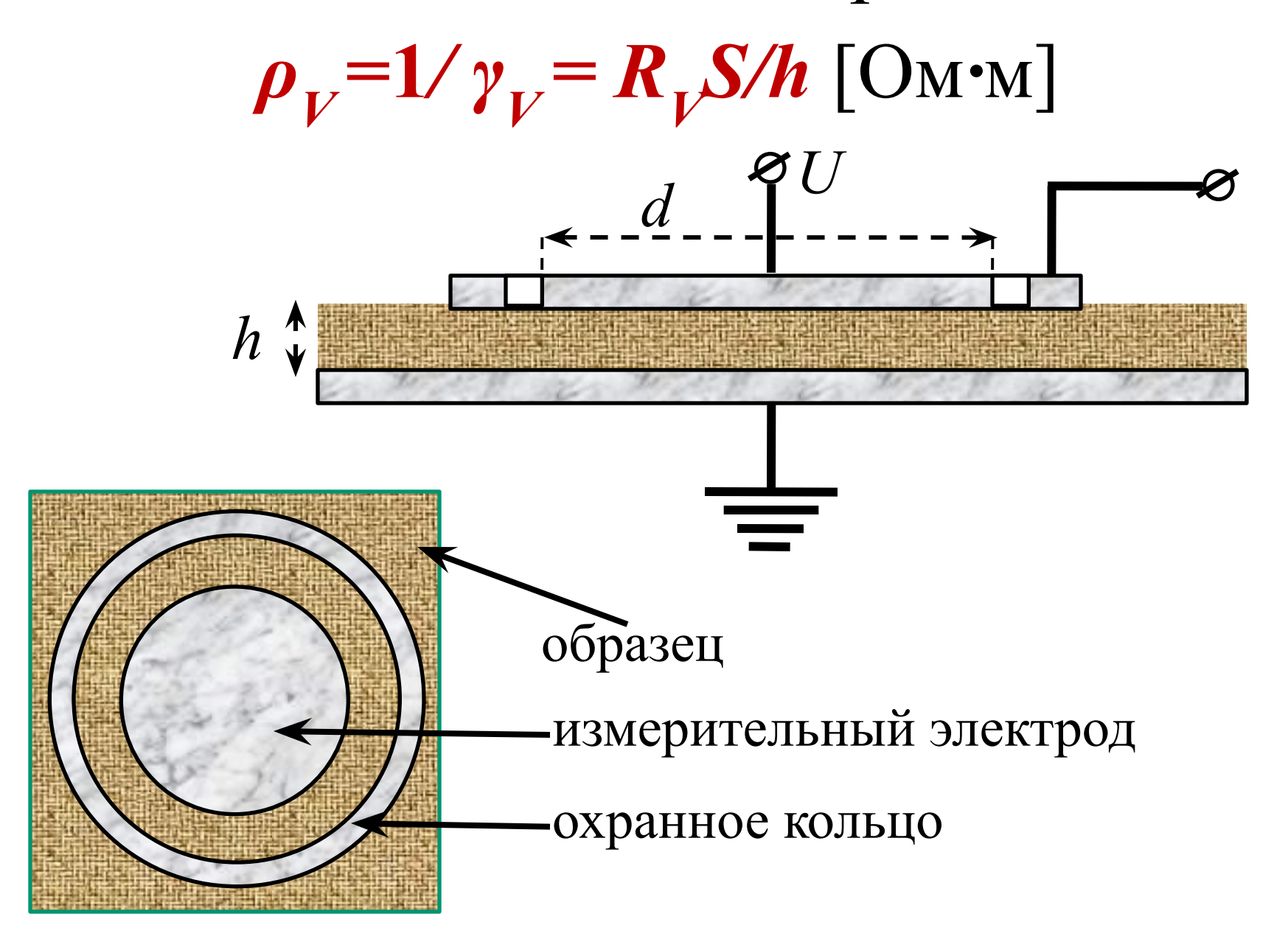


Удельное поверхностное сопротивление:

$$\rho_S = 1/\gamma_S = R_S d/\ell \quad [O_M]$$



Удельное объемное сопротивление



ЭЛЕКТРОПРОВОДНОСТЬ ГАЗОВ

В стационарном случае концентрация ионов n:

$$n=n_{-}=n_{+}=\sqrt{(N_{REC}/\alpha)},$$

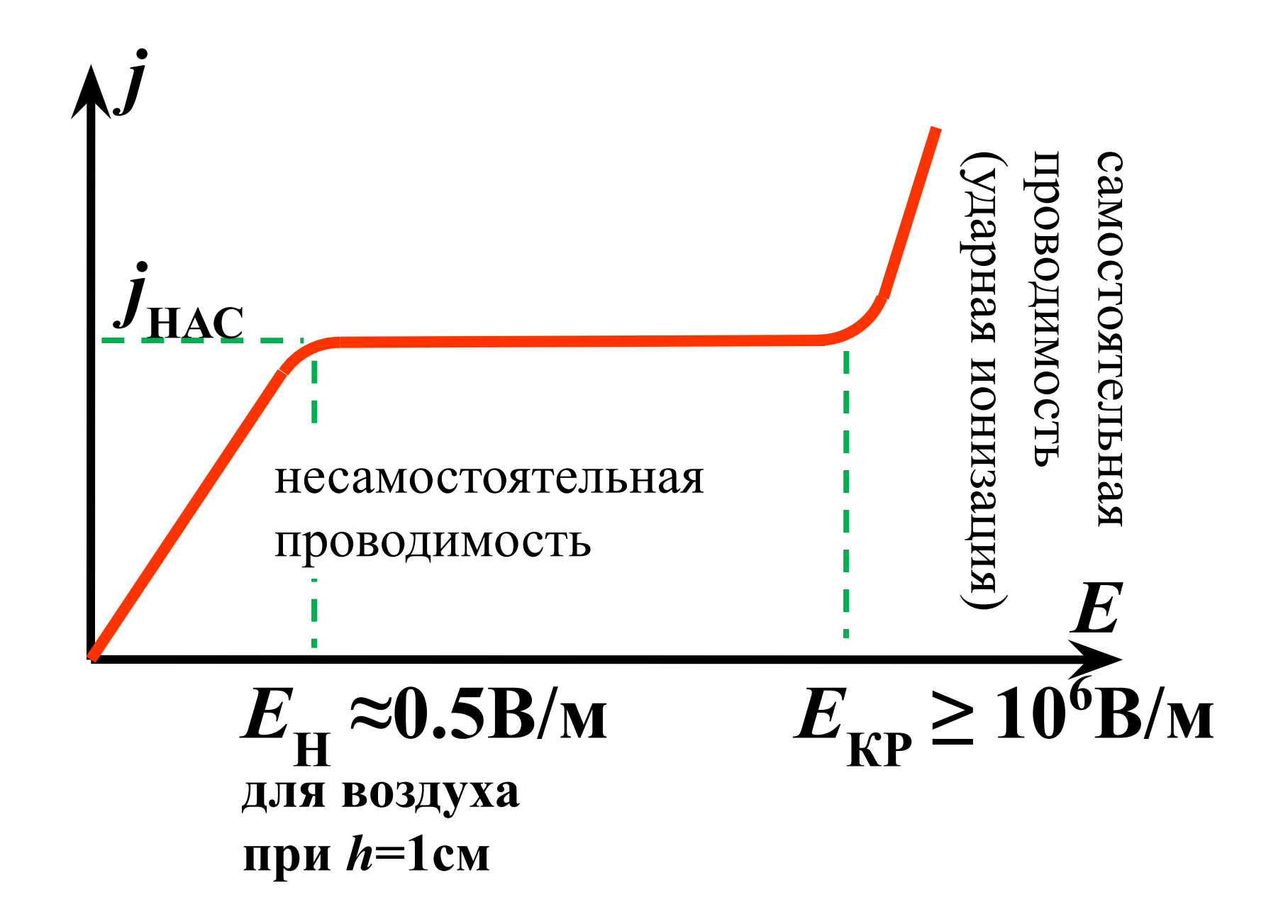
 $N_{REC} = \alpha n_{-} n_{+} -$ число рекомбинирующих ионов в 1 m^{3} ; α – коэффициент рекомбинации.

В слабых полях удельная проводимость:

$$\gamma = qn(\mu_- + \mu_+)$$

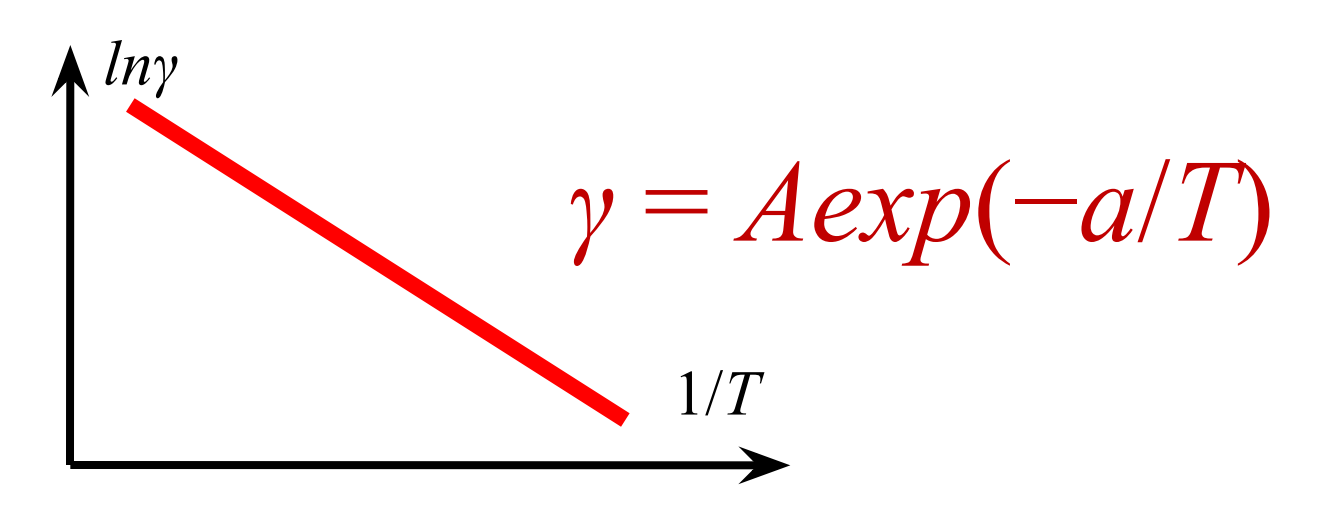
 μ_{-} и μ_{+} — подвижность ионов

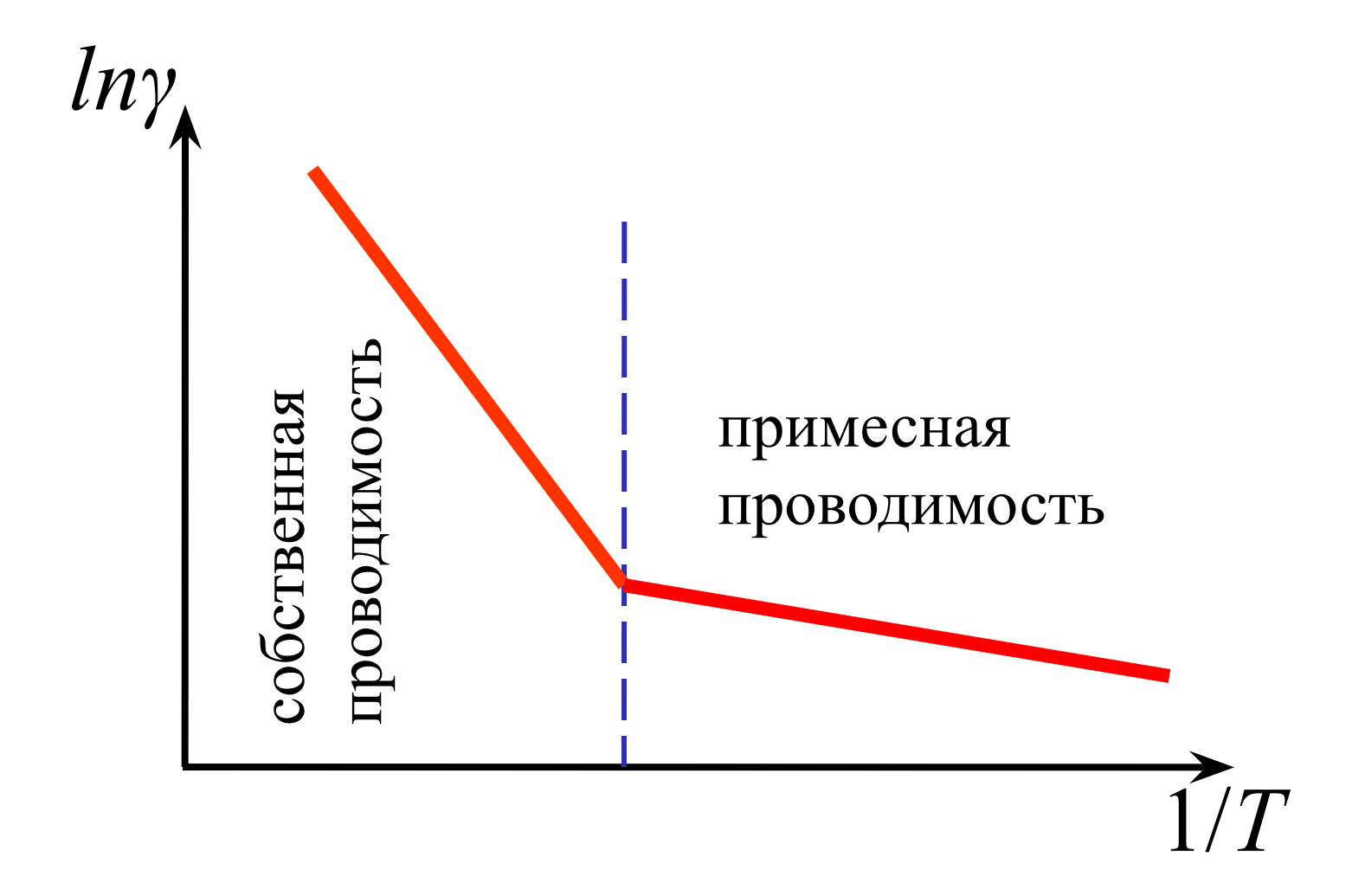
Для воздуха (в слабых полях) $\alpha \sim 1.6 \cdot 10^{-12} \text{ м}^3/\text{c}; \quad \gamma \sim 10^{-15} \text{ См/м}$



$\gamma = qn(\mu_{-} + \mu_{+})$ ЭЛЕКТРОПРОВОДНОСТЬ ЖИДКОСТЕЙ

$$n = n_0 exp(-W/kT)$$
 W — энергия диссоциации молекул; обозначим: $a=W/k$, $A=n_0(\mu_-+\mu_+)$;





В жидкостях рост γ (с ростом T) связан не только с диссоциацией молекул, но и с уменьшением вязкости. Большое влияние оказывают примеси.

Проводимость сильно зависит от полярности жидкости:

— Пля сильно полярных жилкостей

Для сильно полярных жидкостей (вода, этиловый спирт, ацетон) $\rho = 10^3 \div 10^5 \, \text{Ом·м}$ Для слабо полярных жидкостей (совол, касторовое масло) $\rho = 10^8 \div 10^{10} \, \text{Ом·м}$

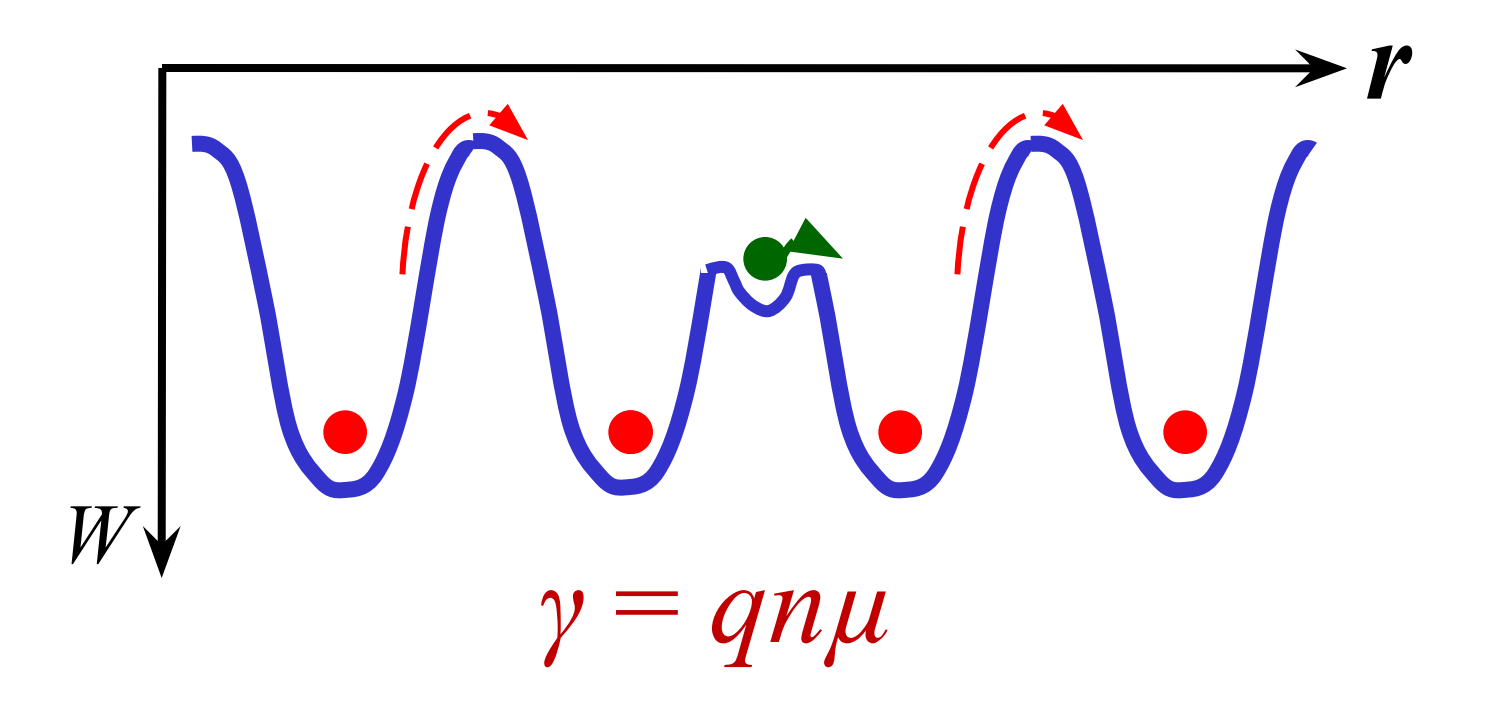
Молекулы неполярных жидкостей (бензол, трасформаторное масло) диссоциируют слабо. Проводимость примесная:

$$\rho \ge 10^{10} \div 10^{13} \, \text{Om·m}$$

В коллоидах носителями заряда м.б. молионы, что используют при нанесении покрытий электрофорезом.

ЭЛЕКТРОПРОВОДНОСТЬ ТВЁРДЫХ ДИЭЛЕКТРИКОВ

с.н.з. – ионы Примесные ионы активируются легче, чем собственные:



С изменением T меняется n и μ с.н.з.:

$$n = n_0 exp(-W_{\perp}/kT)$$

 $W_{\rm Д}$ — энергия диссоциации, необходимая для вырывания иона из кристаллической решётки

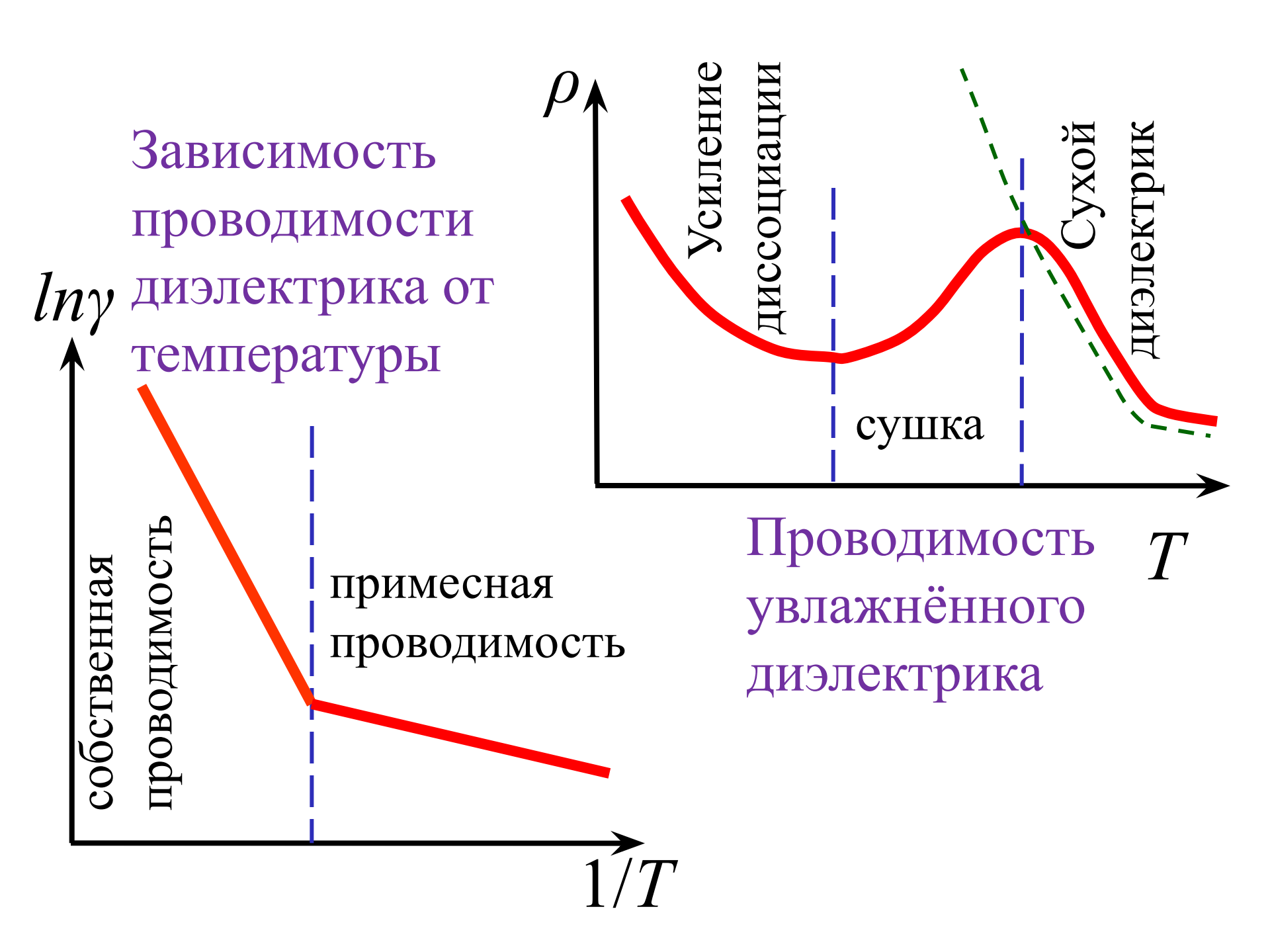
$$\mu = \mu_0 exp(-W_{\Pi}/kT)$$

 W_{Π} — энергия «перескока», необходимая для перехода иона из одного узла кристаллической решётки в другой

$$\gamma = Aexp(-b/T),$$

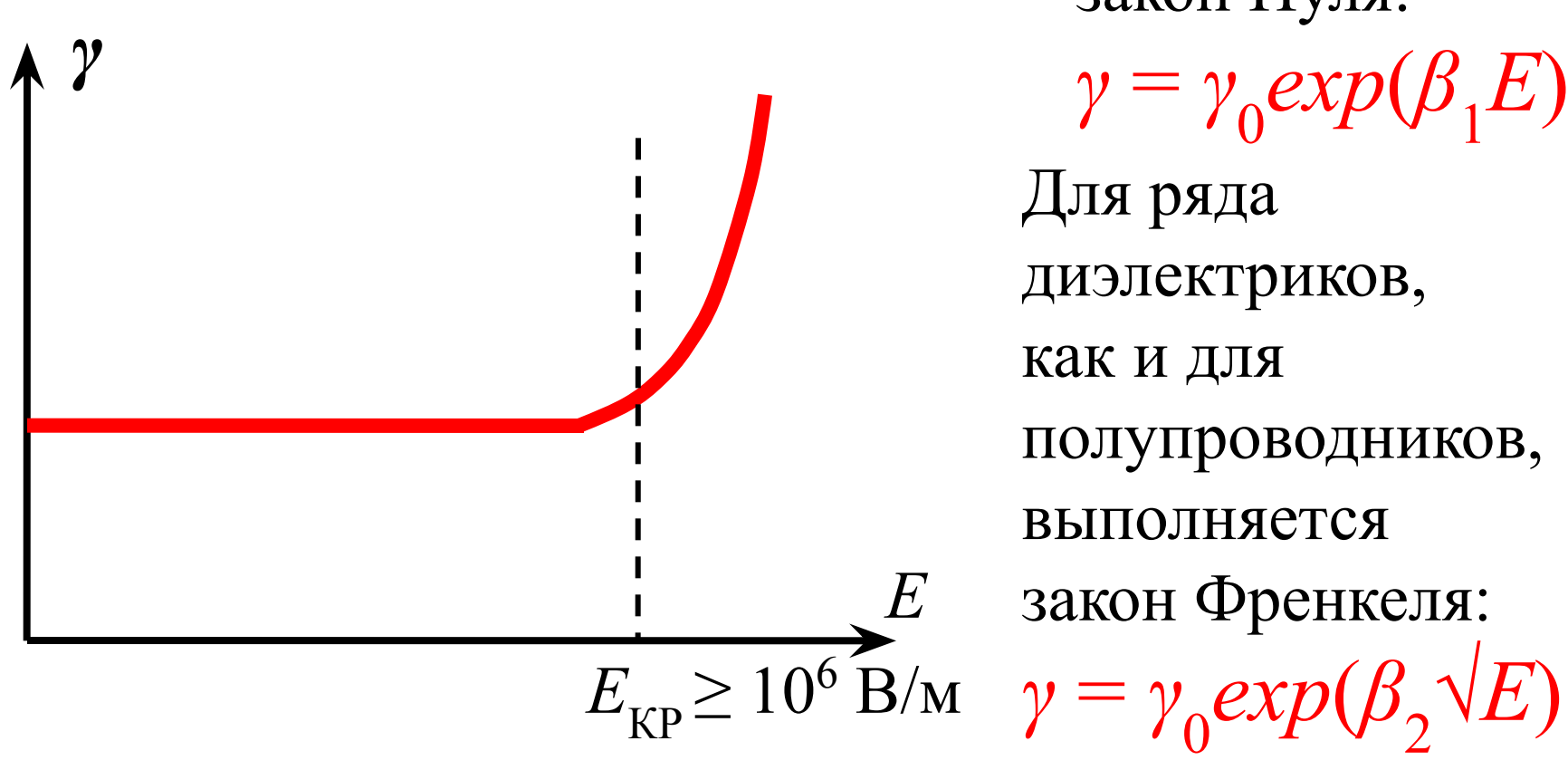
$$A = qn_0\mu_0$$

$$b = (W_{\perp} + W_{\perp})/k$$



Зависимость проводимости γ диэлектрика от напряжённости электрического поля E.

В сильных полях (при $E > E_{\mathrm{KP}}$) выполняется закон Пуля:



ПОЛЯРИЗАЦИЯ ДИЭЛЕКТРИКОВ

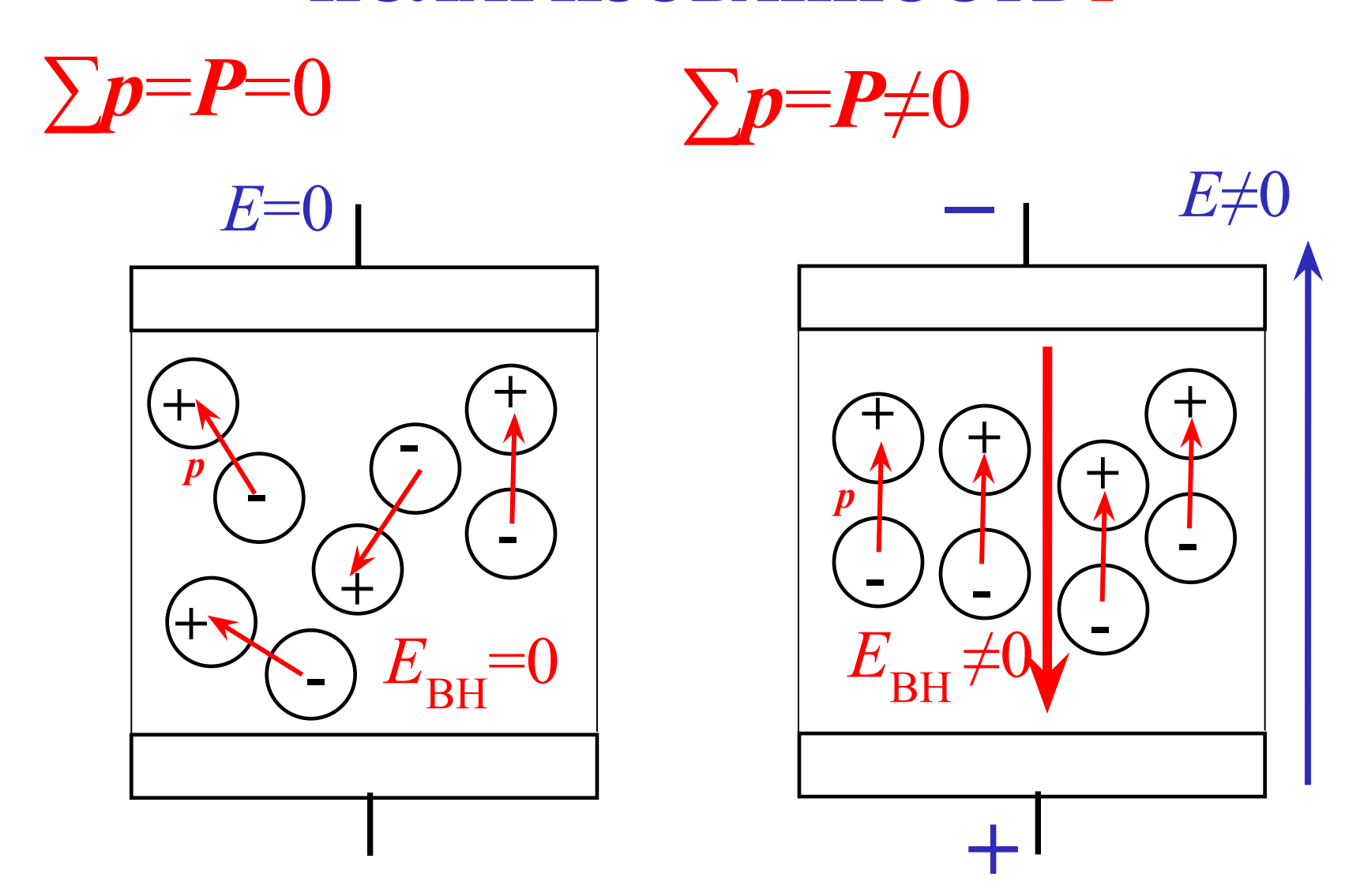
Поляризацией называется процесс смещения упруго связанных зарядов или ориентация диполей под действием электрического поля.

В результате поляризации в объеме диэлектрика возникает суммарный электрический момент **P**, отличный от нуля.

Поляризованностью (вектором поляризации) Р называется индуцированный электрический момент единицы объёма диэлектрика:

$$P = dp/dV$$

ПОЛЯРИЗОВАННОСТЬ Р



Для линейных (не активных) диэлектриков:

$$P = \varepsilon_0 \chi E$$
, [K π/M^2]

χ – диэлектрическая восприимчивость (безразмерная величина)

 $\varepsilon_0 = 8,854 \cdot 10^{-12} \, \Phi/\text{м}$ — диэлектрическая постоянная (абсолютная диэлектрическая проницаемость вакуума)

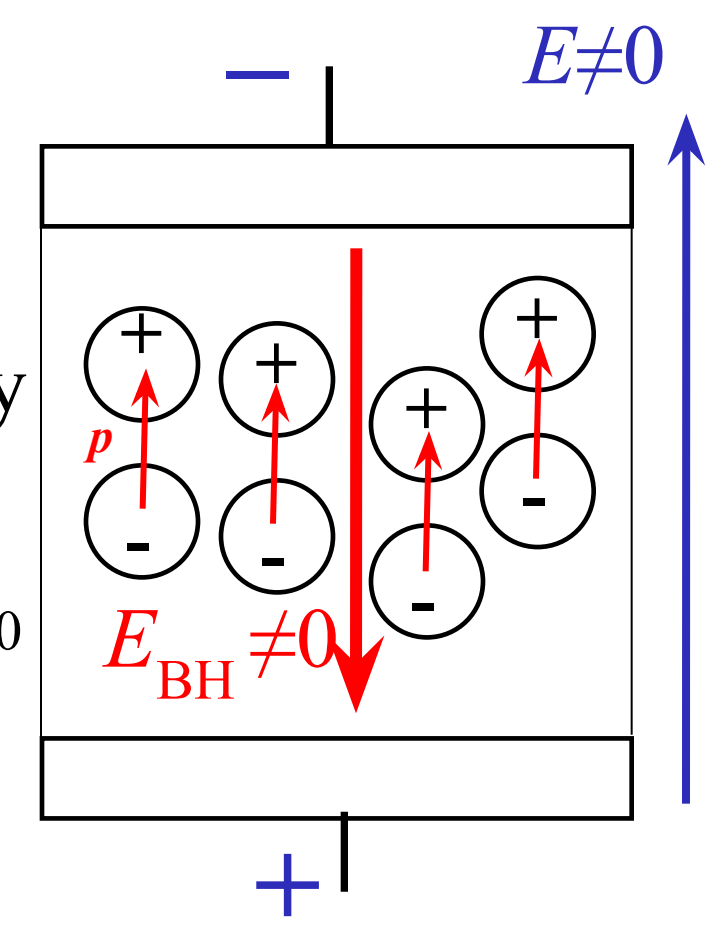
 $\varepsilon_{a} = \varepsilon_{0} \varepsilon - \text{абсолютная диэлектрическая}$ проницаемость вещества

 $\varepsilon = 1 + \chi$ — относительная диэлектрическая проницаемость

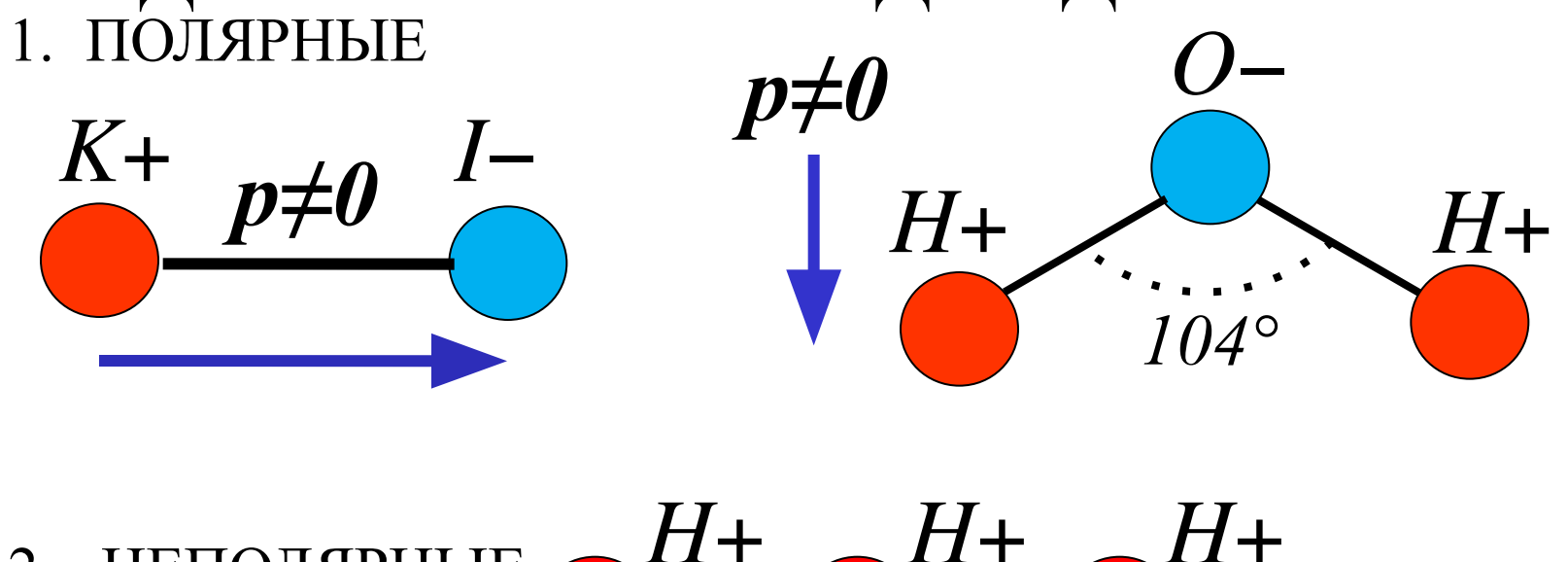
 $\varepsilon = Q/Q_0 = (Q_0 + Q_d)/Q_0 = 1 + Q_d/Q_0$ всегда >1 Для конденсатора к обкладкам которого приложено напряжение U Q = CU и значит:

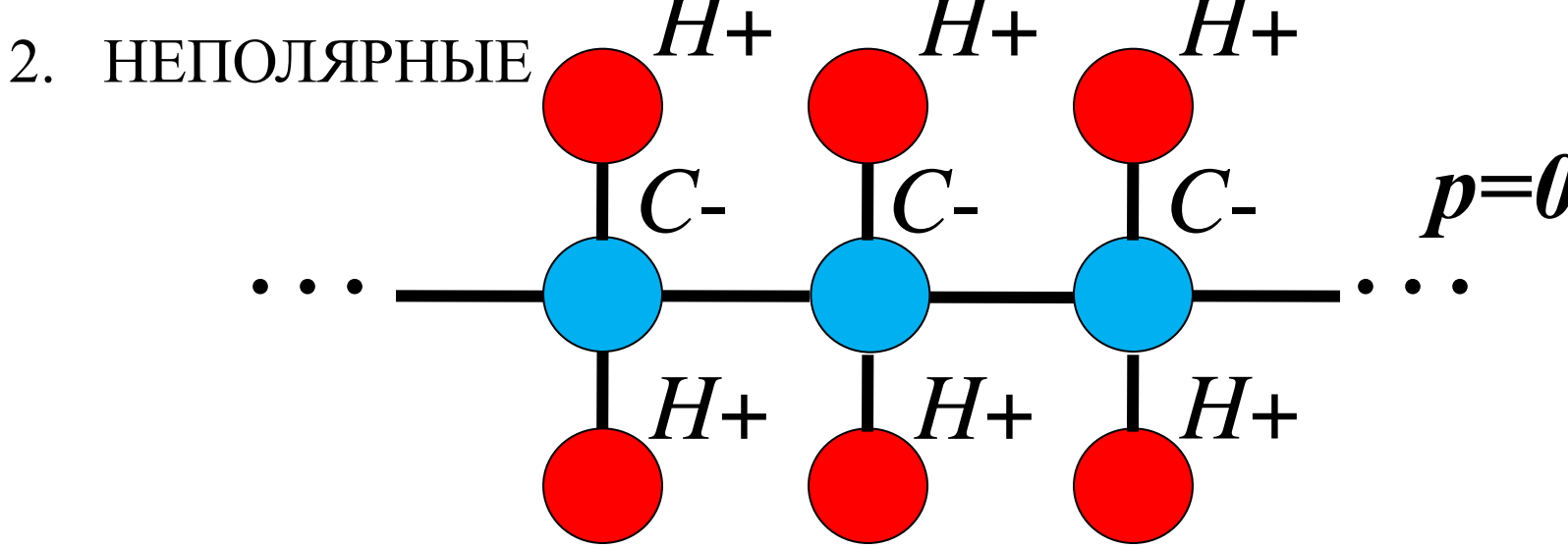
 $\varepsilon = C/C_0$.

 ϵ показывает во сколько раз ёмкость C конденсатора, между обкладками которого диэлектрик, больше ёмкости C_0 конденсатора, между обкладками которого вакуум.



ПО СПОСОБНОСТИ К ПОЛЯРИЗАЦИИ ДИЭЛЕКТРИКИ ПОДРАЗДЕЛЯЮТСЯ:





Различают 2 ВИДА поляризации:

1. БЫСТРЫЕ (упругие):

Малое время установления т.

Не приводят к потерям энергии при промышленных частотах.

- Электронная,
- Ионная упругая,
- Дипольная упругая.
- 2. МЕДЛЕННЫЕ (неупругие, релаксационные):

Большое время установления т.

Притидут к потерям гнергии и нагреву диэлектрика.

- Дипольно-релаксационная,
- Миграционная (междуслойная),
- Спонтанная.

ЭЛЕКТРОННАЯ ПОЛЯРИЗАЦИЯ

Наблюдается во всех диэлектриках. $\tau \sim 10^{-15}$ с. Не зависит от частоты электромагнитного поля вплоть до частот оптических колебаний. Не приводит к потере энергии поля.

$$\mu_e = 0$$

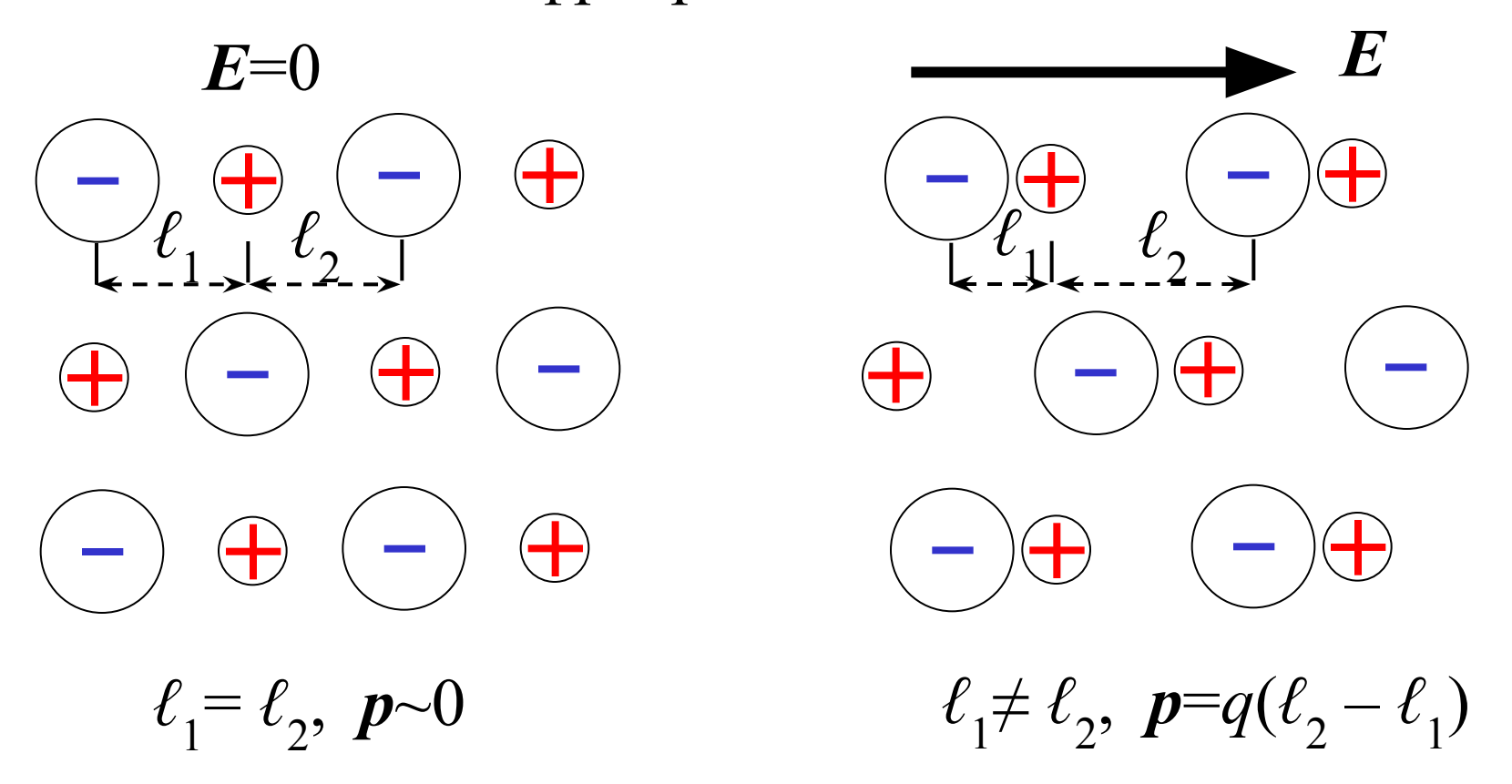
$$\mu_e = q$$

$$\mu_e = q$$

$$\alpha$$

ИОННАЯ УПРУГАЯ ПОЛЯРИЗАЦИЯ

Характерна для ионных кристаллов с плотной упаковкой ионов (NaCl, LiF и т.п.). $\tau \sim 10^{-13}$ с Не связана с потерями энергии и не зависит от частоты, вплоть до частот инфракрасного диапазона.



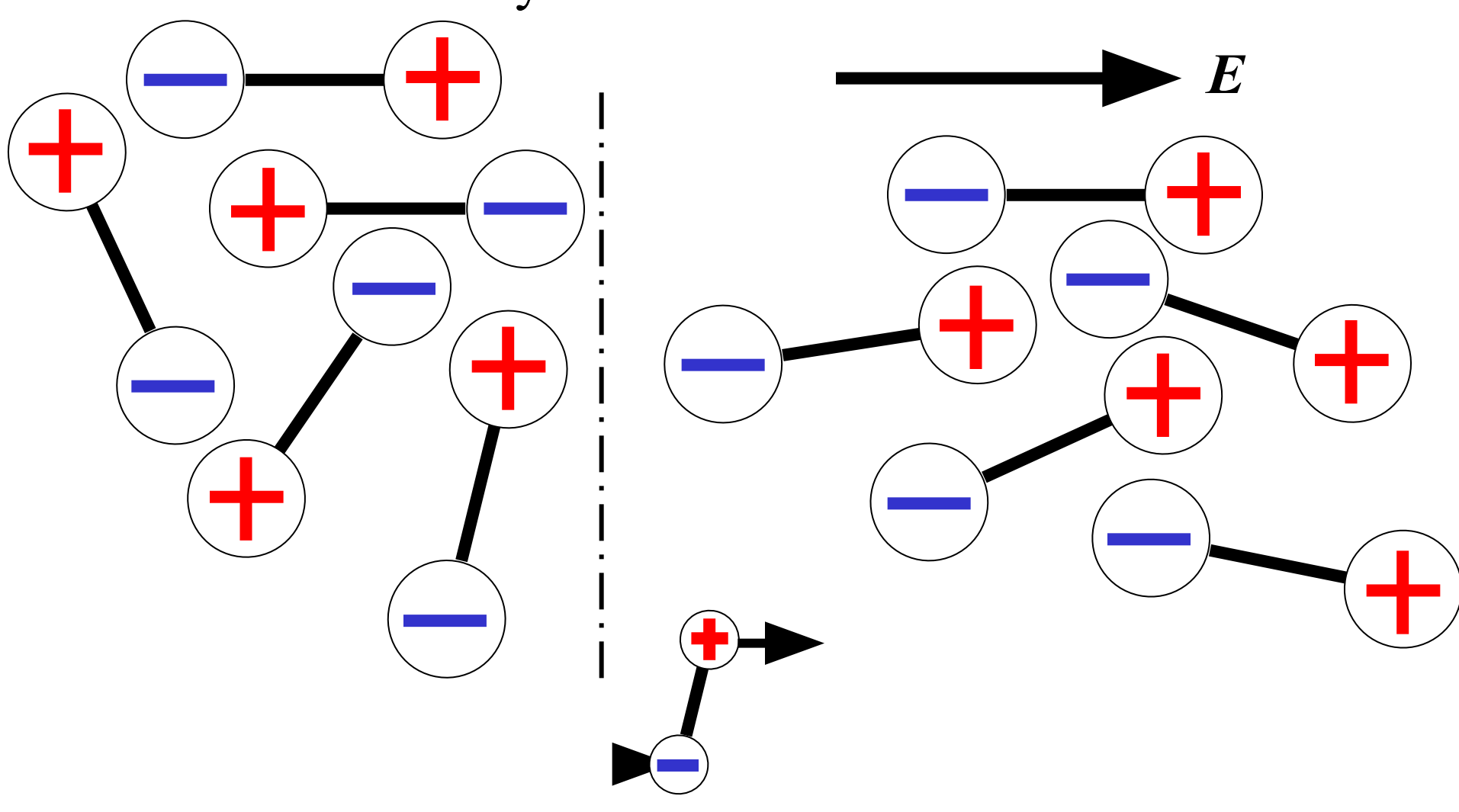
ИОННО-РЕЛАКСАЦИОННАЯ ПОЛЯРИЗАЦИЯ

Наблюдается в ионных диэлектриках аморфного строения (стекла, керамика и т.д.), в неорганических кристаллических диэлектриках с неплотной упаковкой ионов (рыхлого строения).

Заключается в смещениях слабосвязанных ионов под действием внешнего электрического поля на расстояния, превышающие амплитуду ангармонических тепловых колебаний.

ДИПОЛЬНО-РЕЛАКСАЦИОННАЯ ПОЛЯРИЗАЦИЯ

В большинстве случаев $\tau \sim 10^{-6} - 10^{-10}$ с.



Наблюдается в полярных газах, жидкостях и в некоторых твердых диэлектриках.

В органических диэлектриках наблюдается ориентация не самой молекулы, а имеющихся в ней полярных радикалов по отношению к молекуле. Такую поляризацию называют дипольно-радикальной.

При снятии приложенного E ориентация дипольных моментов p нарушается хаотическим тепловым движением молекул, и суммарная поляризованность P спадает с течением времени t:

$$P(t) = P_0 \exp(-t/\tau)$$

МИГРАЦИОННАЯ ПОЛЯРИЗАЦИЯ

(междуслойная, структурная)

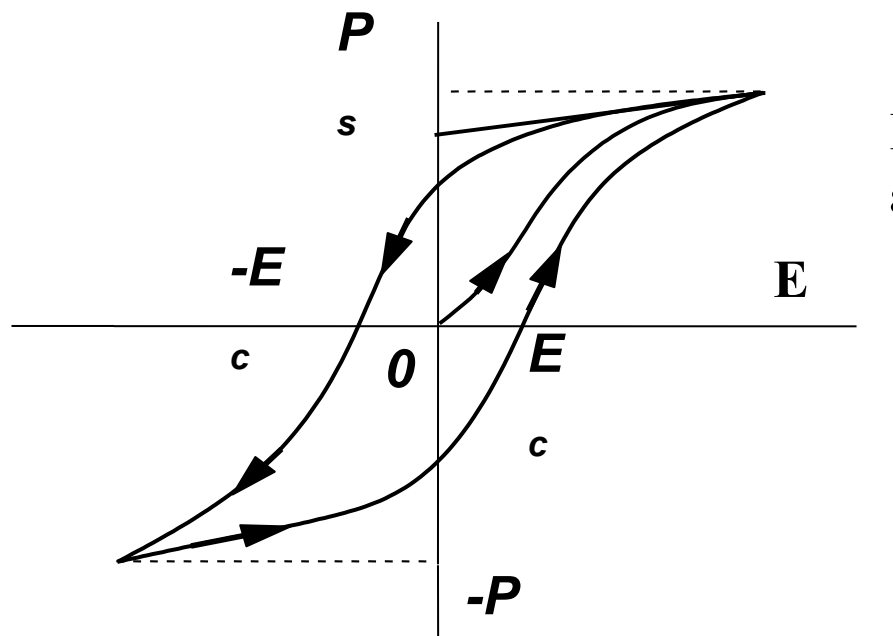
Наблюдается в диэлектриках, содержащих проводящие и полупроводящие включения или слои с различной проводимостью, в композиционных материалах. Время установления: секунды, минуты и даже часы.

Перераспределение зарядов в слоистых диэлектриках (а) и диэлектриках с включениями (б).

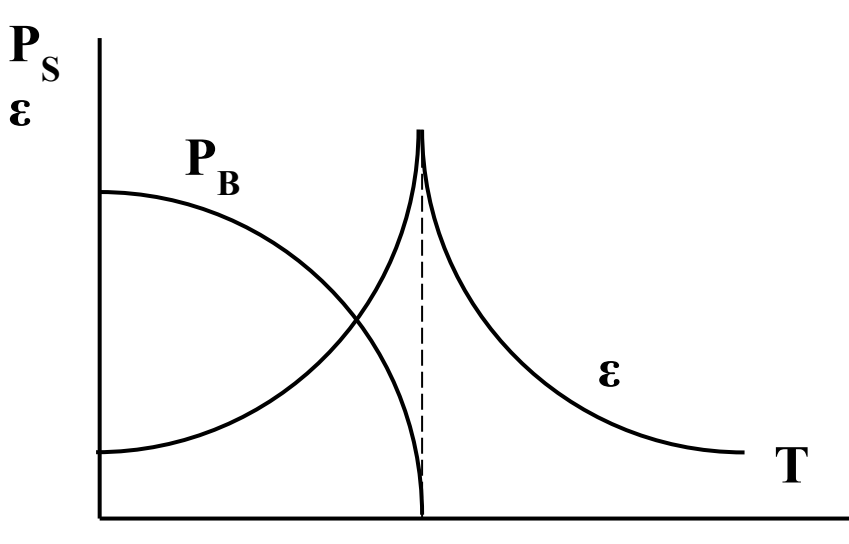
Спонтанная поляризация

Возникает без внешних воздействий в активных диэлектриках в виде доменов.

Сегнетова соль $NaKC_4H_4O_6$ $_4H_2O$; титанат бария $BaTiO_3$; нитрит натрия $NaNO_2$ и т.д. Наличие доменной структуры приводит к сильной поляризации во внешнем поле: $\epsilon > 1000$



Цикл поляризации сегнетоэлектриков.



 $\mathbf{T}_{\mathbf{K}}$ Температурные зависимости спонтанной поляризованности $\mathbf{\textit{P}}_{\mathbf{\textit{S}}}$ и диэлектрической проницаемости $\boldsymbol{\varepsilon}$ в сегнетоэлектриках.

По видам поляризационных процессов диэлектрики разделяют на:

1. Нейтральные и слабополярные,

в основном электронная поляризация

твёрдые – парафин, сера, ПЭ жидкие – бензол, трансформаторное масло газы – азот, водород

2. Полярные,

электронная и дипольно-релаксационная поляризация

органические жидкие, полужидкие и твёрдые вещества – компаунды, смолы, целлюлоза

3. Ионные кристаллы с плотной упаковкой, электронная и ионная (упругая) поляризация кварц, слюда, каменная соль, корунд, рутил, первоскит

- 4. *Неорганические стёкла и керамика*, электронная и ионно-релаксационная поляризация фарфор, микалекс
- 5. *Неоднородные диэлектрики*, в зависимости от состава любые виды поляризации
 - **6.** *Активные диэлектрики*, сегнетоэлектрики, пьезоэлектрики, пироэлектрики и т.д.

Зависимость в от температуры

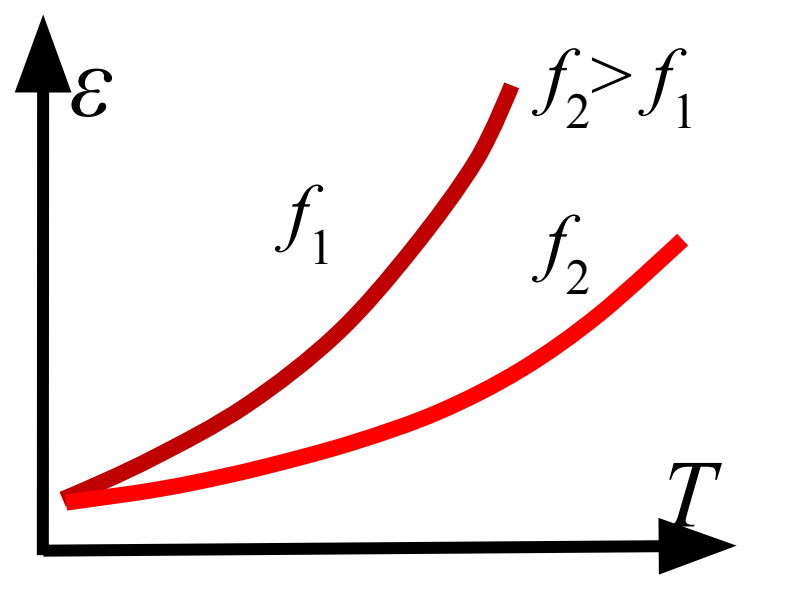
для неполярных диэлектриков:

электронная поляризация

 ${f \mathcal{E}}$

 $TK\varepsilon < 0$ так как с ростом T поляризуемость не изменяется, но увеличивается объем

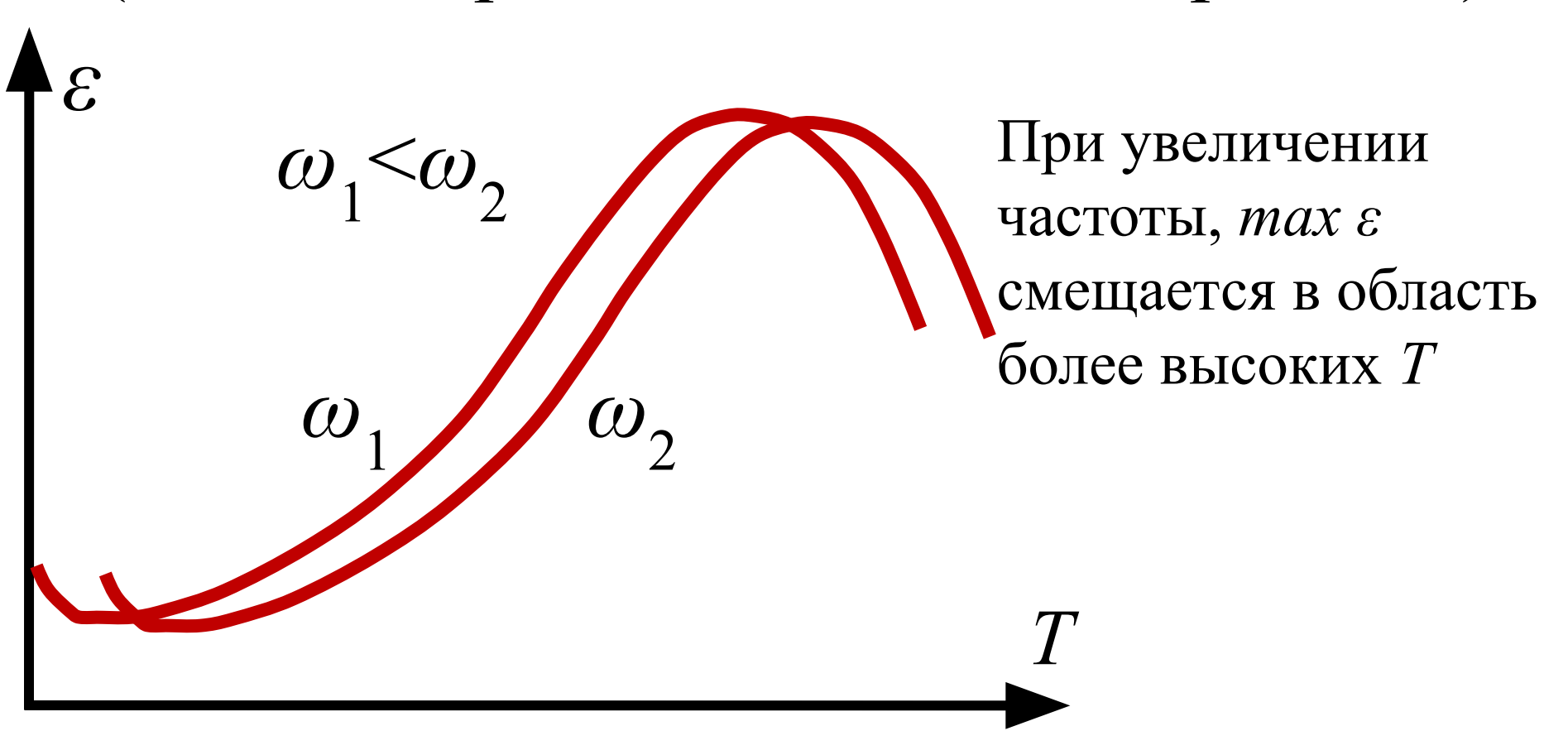
ионная поляризация



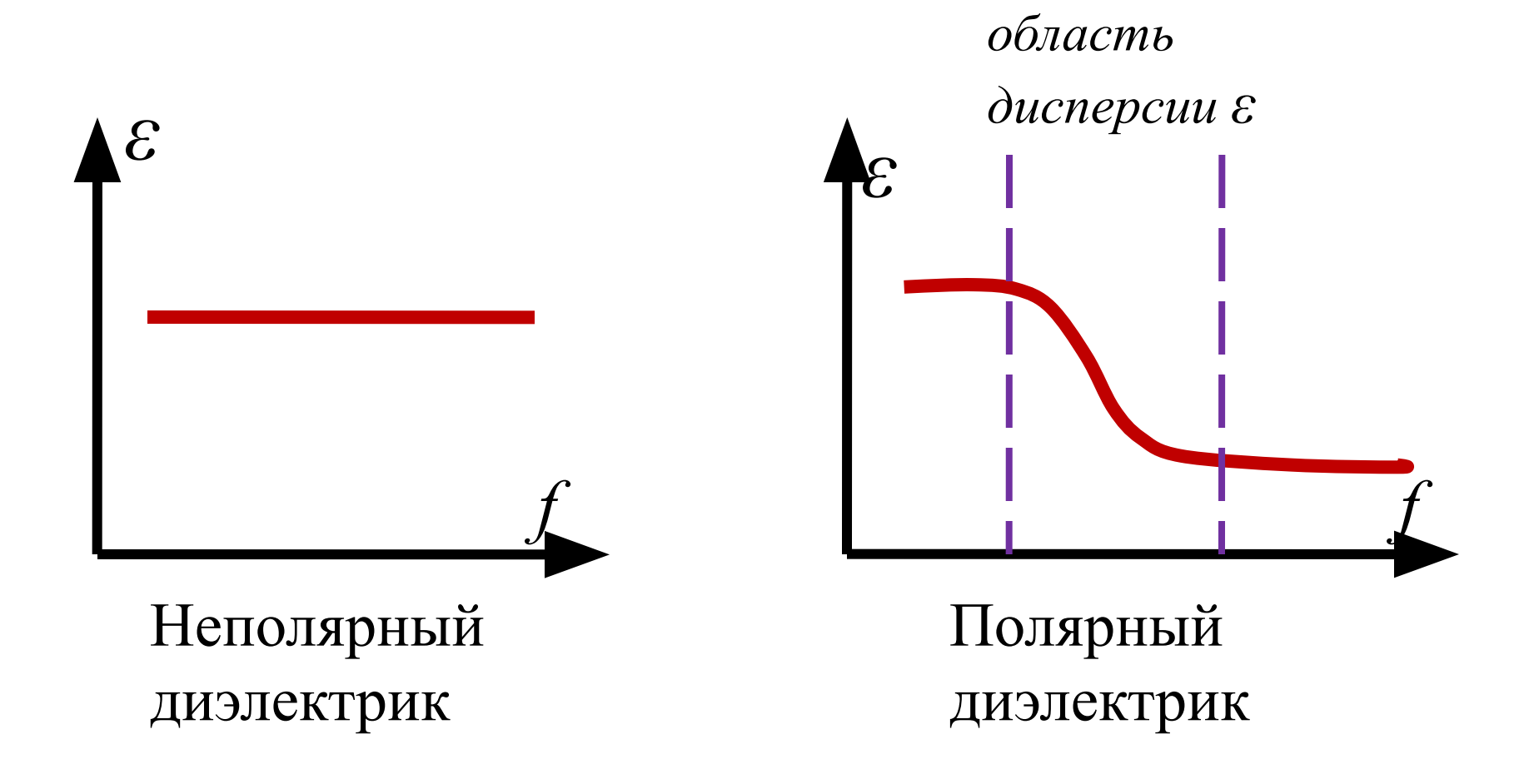
 $TK\varepsilon>0$ так как с ростом T возрастает поляризуемость ионов

Зависимость є от температуры для полярных диэлектриков

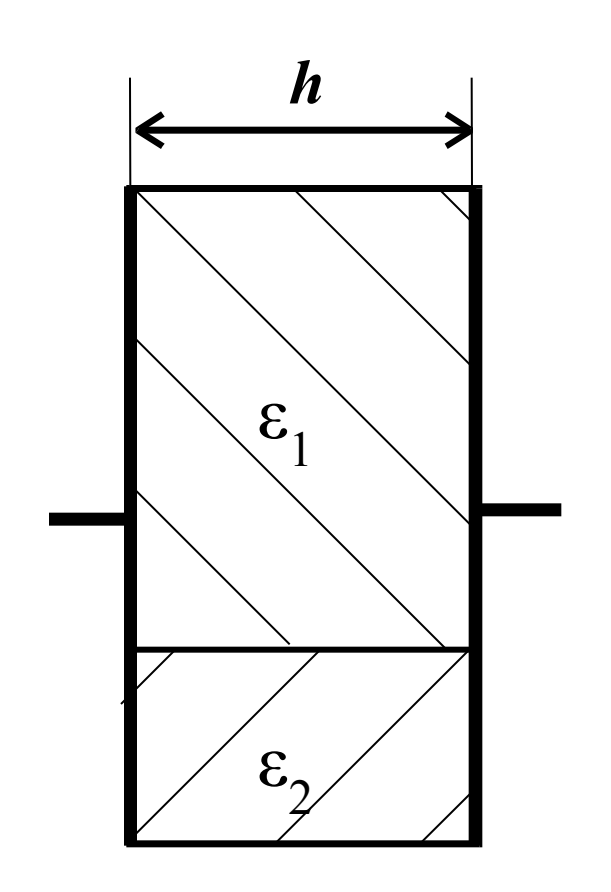
(дипольно-релаксационная поляризация)



Зависимость в от частоты приложенного переменного электрического поля



Диэлектрическая проницаемость композиционных диэлектриков



Для параллельного соединения:

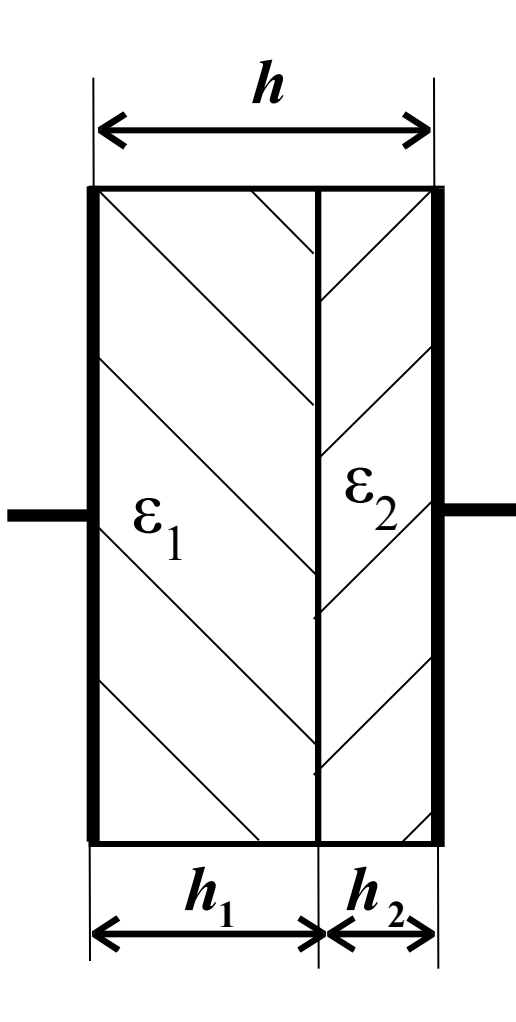
$$C = C_1 + C_2 = \varepsilon_0 \varepsilon_1 S_1 / h + \varepsilon_0 \varepsilon_2 S^2 / h$$

$$C = \varepsilon_0 \varepsilon^* (S_1 + S_2)/h$$

$$\varepsilon^* = y_1 \varepsilon_1 + y_2 \varepsilon_2$$

$$y_1 = S_1/(S_1 + S_2); y_2 = S_2/(S_1 + S_2)$$
 объемные концентрации $y_1 + y_2 = 1$

$$\varepsilon^* = \sum_{i=1}^{i=m} y_i \varepsilon_i$$



Для последовательного соединения:

$$1/C = 1/C_1 + 1/C_2$$

$$C_1 = \varepsilon_0 \varepsilon_1 S/h_1; \quad C_2 = \varepsilon_0 \varepsilon_2 S/h_2$$

$$C=\varepsilon_0 \varepsilon^* S/(h_1+h_2)$$
, обозначив $y_1=h_1/(h_1+h_2), \quad y_2=h_2/(h_1+h_2),$ получаем:

$$1/\varepsilon^* = y_1/\varepsilon_1 + y_2/\varepsilon_2$$

ИЛИ

$$\varepsilon^* = \varepsilon_1 \varepsilon_2 / (y_1 \varepsilon_2 + y_2 \varepsilon_1).$$

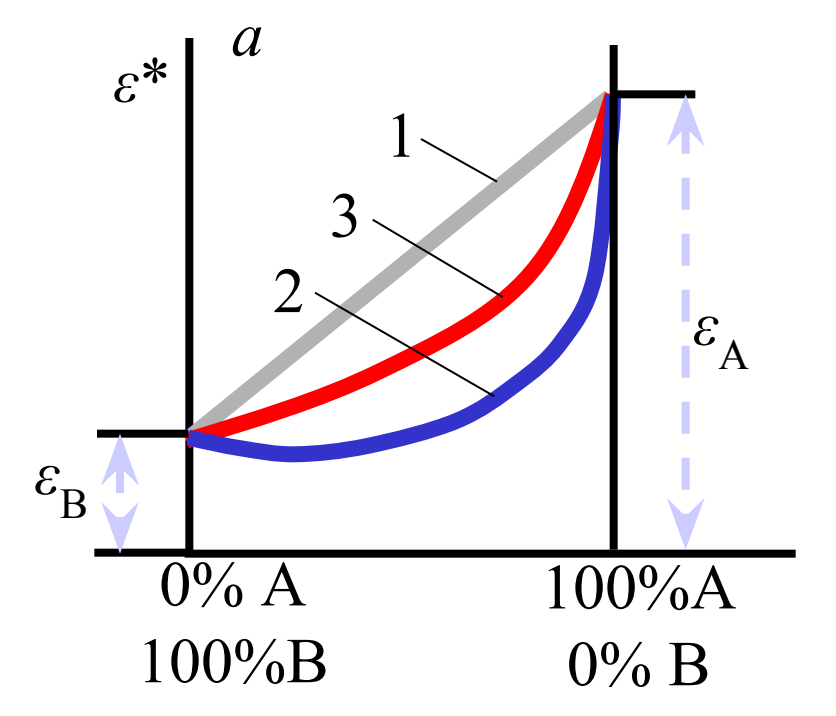
$$\frac{1}{\varepsilon} = \sum_{i=1}^{i=m} \left(\frac{y_i}{\varepsilon_i} \right)$$

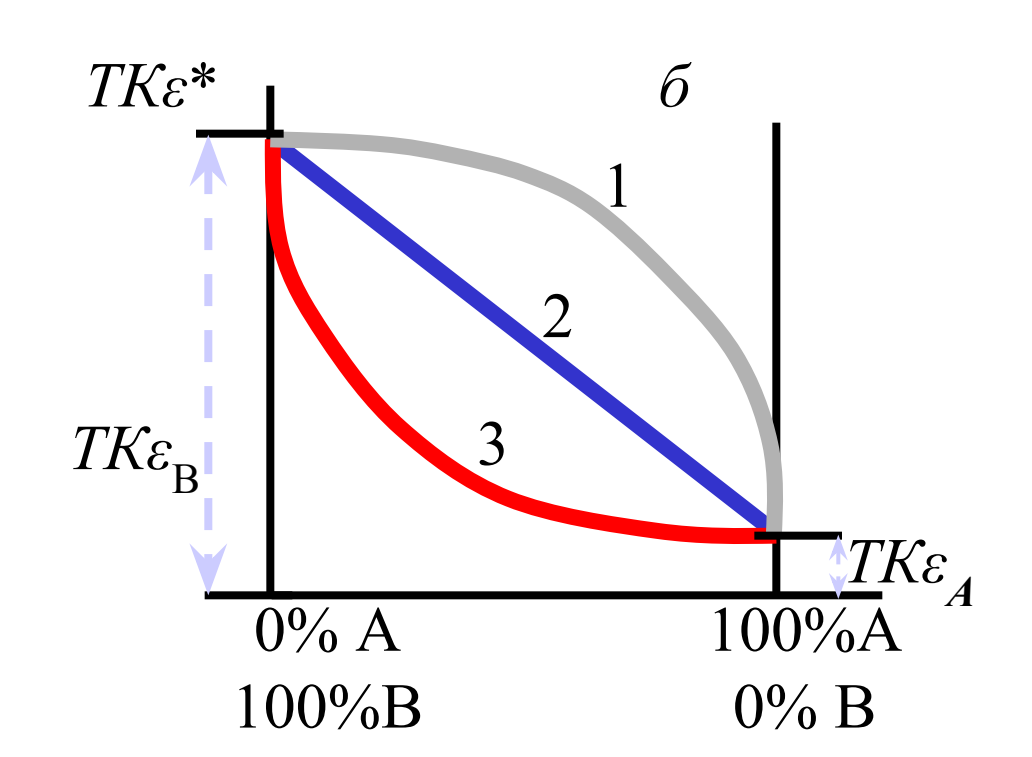
Для статистических смесей выполняется неравенство Винера:

$$\left[\sum (y_i/\varepsilon_i)\right]^{-1} \le \varepsilon^* \le \sum y_i \cdot \varepsilon_i$$

Для смеси с разным объемным содержанием компонентов A и B в смеси:

- 1 модель параллельного подключения;
- 2 модель последовательного подключения;
- 3 статистическая смесь.





Существует несколько приближенных формул расчета є* для статистических смесей.

Чем ближе значения ε_i друг к другу, тем точнее результат.

Формула Лихтенекера-Роттера $lg\epsilon^* = \sum y_i lg\epsilon_i$ (логарифмический закон смешения) приводит

к «арифметическому закону смешения» для температурных коэффициентов диэлектрической проницаемости.

$$TK\varepsilon^* = \sum y_i TK\varepsilon_i$$
$$\sum y_i = 1$$

Формула Ландау-Лившица

$$^{3}\sqrt{\varepsilon^{*}}=\sum y_{i}.^{3}\sqrt{\varepsilon_{i}}$$

Диэлектрическими потерями называется энергия, рассеиваемая в диэлектрике при воздействии на него электрического поля E и вызывающая нагрев диэлектрика.

Диэлектрические потери наблюдаются как при переменном, так и при постоянном напряжении.

В постоянном поле:

потери *Р* в диэлектрике обусловлены выделением тепла Джоуля при прохождении сквозного тока:

$$P=U^2/R$$
,

R — сопротивление диэлектрика,

U – приложенная разность потенциалов.

B переменном поле:
$$U = U_0 \cdot \sin \omega t$$

 $U_{\mathbf{0}}$ – амплитуда,

 $\omega = 2\pi f$ — круговая частота переменного напряжения

Энергия поля затрачивается на:

- 1. выделение тепла Джоуля;
- 2. медленные виды поляризации.

Векторная диаграмма токов в диэлектрике конденсатора

$$j_{\text{CM}}$$
 j_{0} $j_{\text{CM}} = \varepsilon_{0} \varepsilon \omega E$ A/M^{2} $j_{\text{IIP}} = \gamma E$ A/M^{2}

$$tg\delta = \frac{j_{\Pi P}}{j_{CM}} = \frac{j_a}{j_c} = \frac{\gamma}{\epsilon_0 \epsilon \omega} \qquad Q = 1/tg\delta$$

В «идеальном» диэлектрике ток проводимости I_a =0. В переменном поле ток, протекающий через конденсатор — это ток смещения в диэлектрике I= I_r .

В «идеальном» диэлектрике ток I отстаёт по фазе от вектора напряжения E на 90° .

В хороших диэлектриках угол сдвига фаз ϕ близок к 90° .

Угол δ , дополняющий угол ϕ до 90° :

$$\delta = 90^{\circ} - \phi.$$

наз. углом диэлектрических потерь.

Отношение активной и реактивной составляющих полного тока:

$$tg\delta = I_a/I_r$$

наз. *тангенсом угла диэлектрических потерь*, который м.б. определён экспериментально.

Потери на проводимость: $P = U^2/R$

$$I_a = U/R_a$$
 \Longrightarrow $P = U \cdot I_a$;
 $I_a = I_r \operatorname{tg}\delta$ \Longrightarrow $P = U \cdot I_r \cdot \operatorname{tg}\delta$.
 $I_r = U \cdot \omega \cdot C$ \Longrightarrow $P = U^2 \cdot \omega \cdot C \cdot \operatorname{tg}\delta$ [BT]

Чем больше $tg\delta$ изоляции, тем сильнее она нагревается в переменном поле.

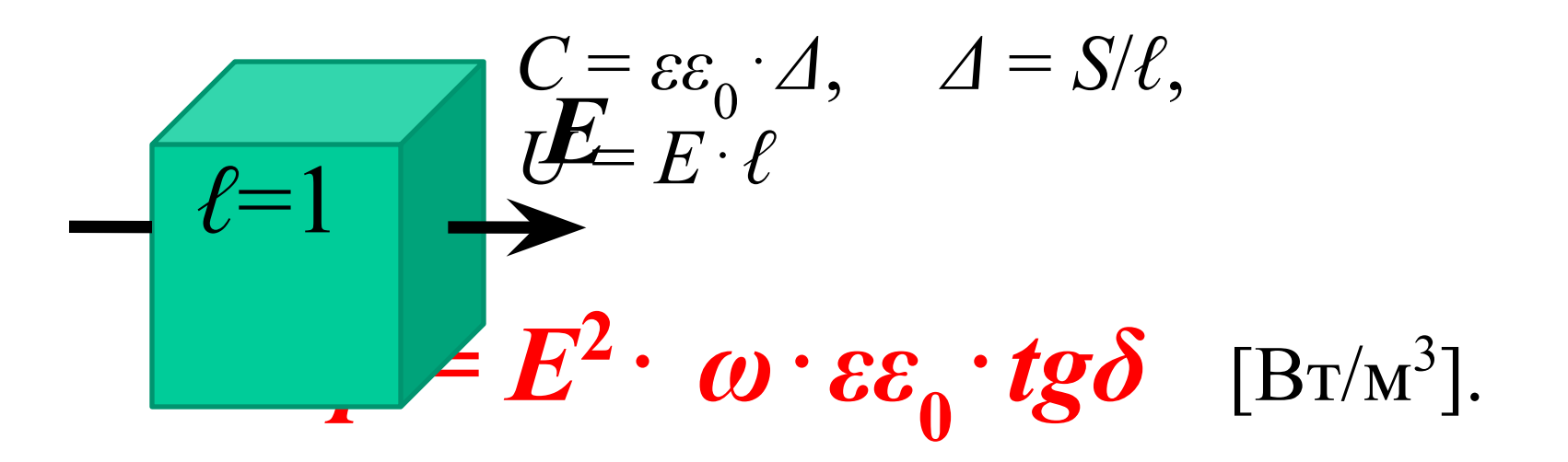
Для неоднородного диэлектрика или поля, формула даёт среднее значение потерь по всему объёму

диэлектрика, или

полные

диэлектрические потери.

Удельными диэлектрическими потерями р называется мощность, рассеиваемая в данном единичном объёме диэлектрика.



Чем больше ε и $tg\delta$, тем больше потери p в данном месте диэлектрика.

 $oldsymbol{arepsilon} \cdot oldsymbol{tg\delta}$ — коэффициент диэлектрических потерь

Виды диэлектрических потерь

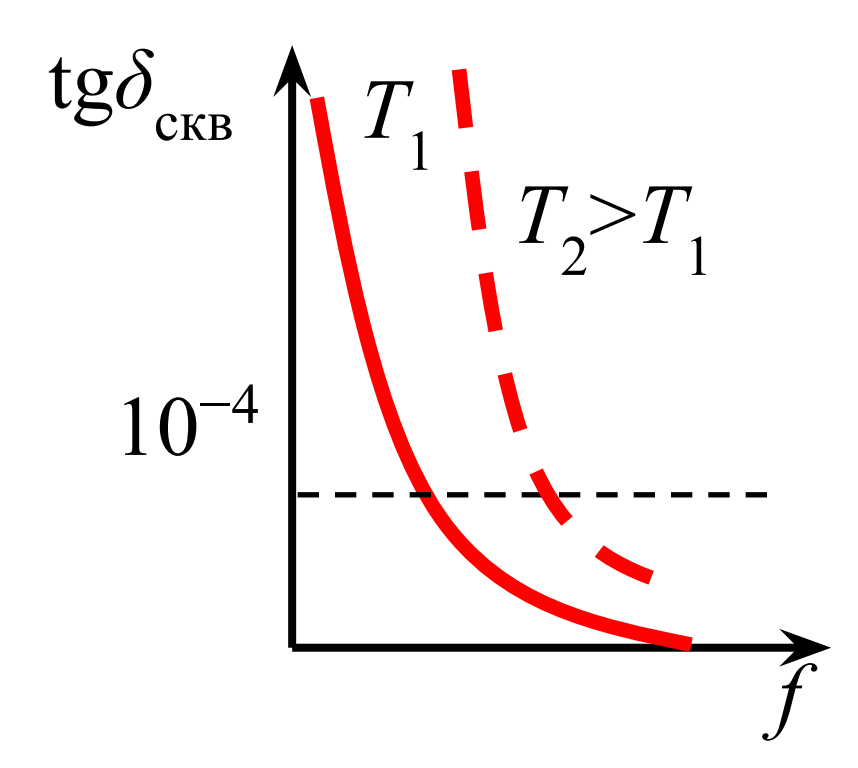
- 1. Потери на сквозную электропроводимость.
- 2. Потери на медленные виды поляризации.
- 3. Потери на неоднородность структуры диэлектрика.
- 4. Ионизационные потери.
- 5. Резонансные потери.

Диэлектрические потери на сквозную электропроводимость

наблюдаются во всех диэлектриках

$$P_{\text{\tiny CKB}} = \gamma \cdot E^2$$

$$tg\delta_{\text{\tiny CKB}} = \frac{\gamma_{\text{\tiny CKB}}}{\omega\varepsilon\varepsilon_0} = \frac{1.8 \cdot 10^{-10}}{f\varepsilon\rho_{\nu}}$$

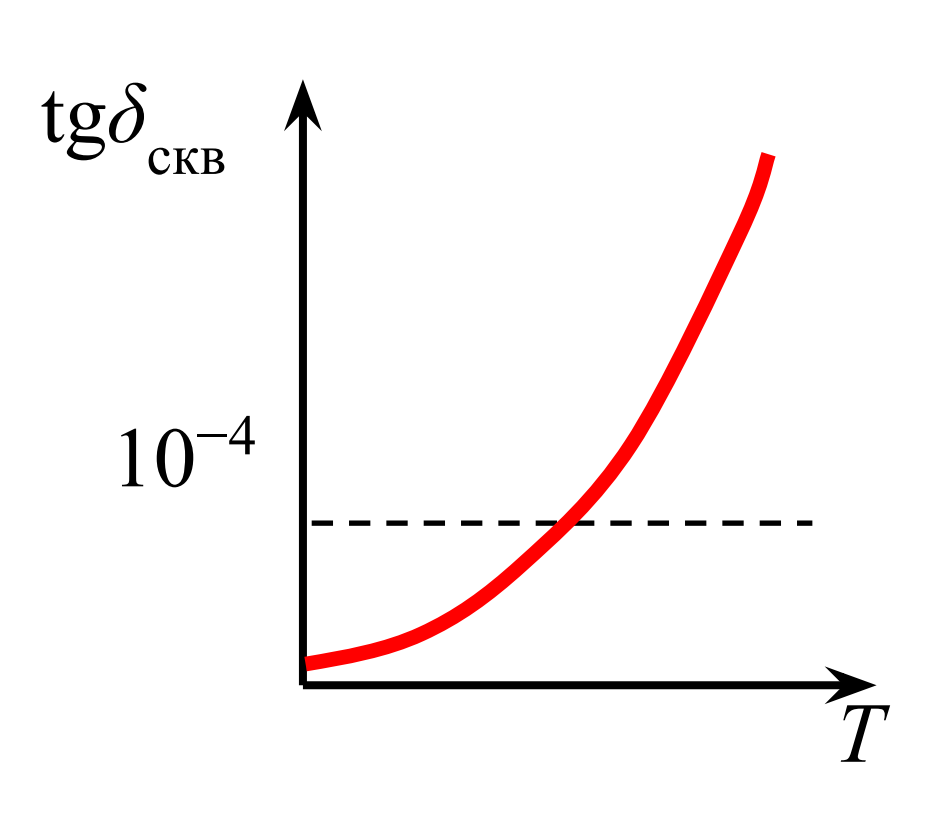


При ρ >10¹⁰Ом·м и f>10 кГц, $tg\delta_{ckb} < 10^{-4}$.

Потери существенны лишь при 50 < f < 1000 Гц, при повышенных T (> 100° С) и при снижении ρ (увлажнение).

С ростом T потери экспоненциально возрастают из-за роста проводимости γ :

$$P_{\rm T} = P_0 \cdot \exp(\alpha T)$$



 $P_{\rm T}$ – потери при T;

 P_0 – потери при T=0°C (или 20 °C);

α – постоянная,определяемая свойствамидиэлектрика.

Диэлектрические потери на медленные виды поляризации

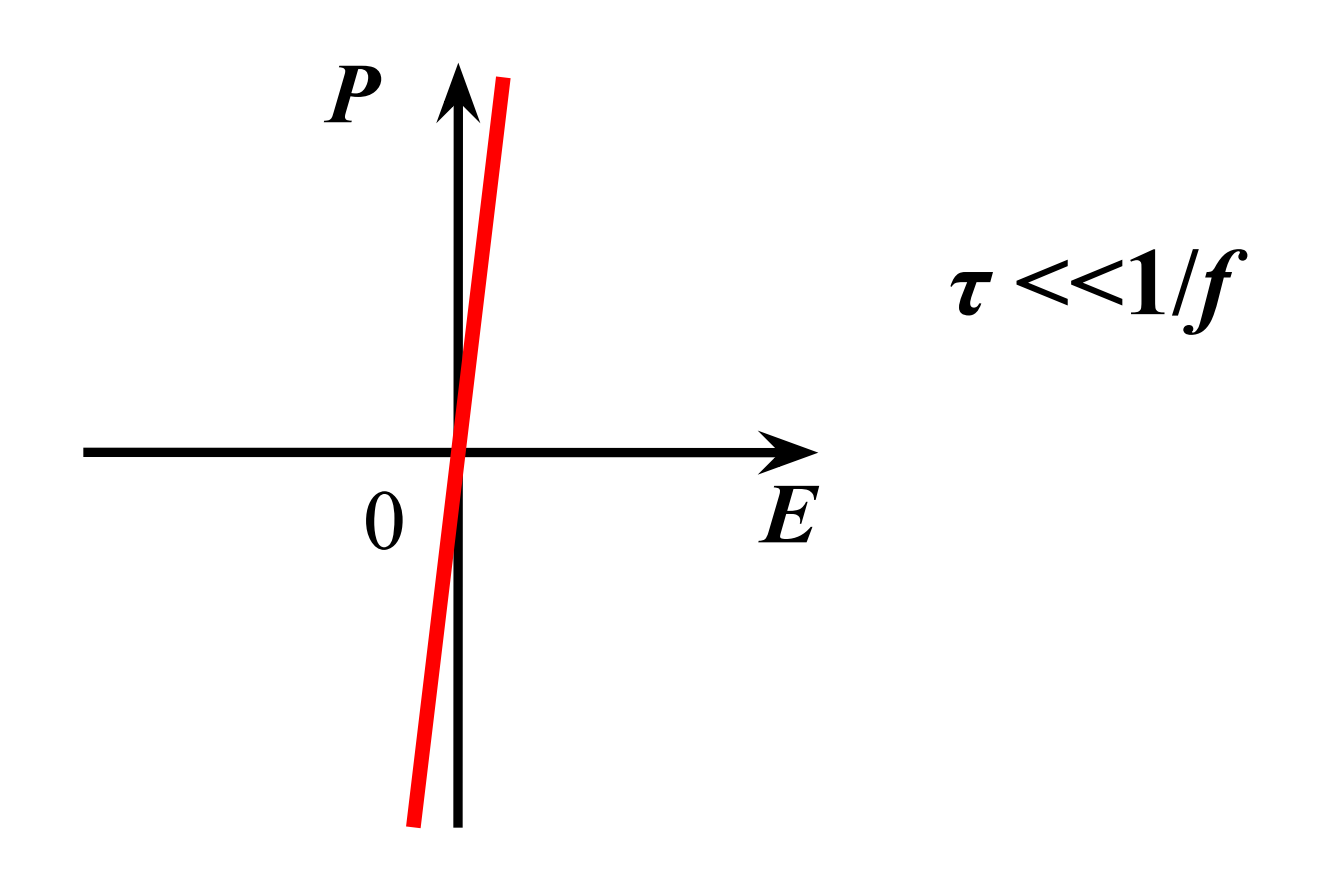
проявляются в полярных диэлектриках и только в переменных электрических полях

Работа, синусоидального поля E на поляризацию единицы объема диэлектрика за один период определяется интегралом по замкнутому контуру P(E) и равна площади петли P(E):

$$\omega = \oint \mathbf{P} d\mathbf{E}$$

Если $\tau << 1/f$

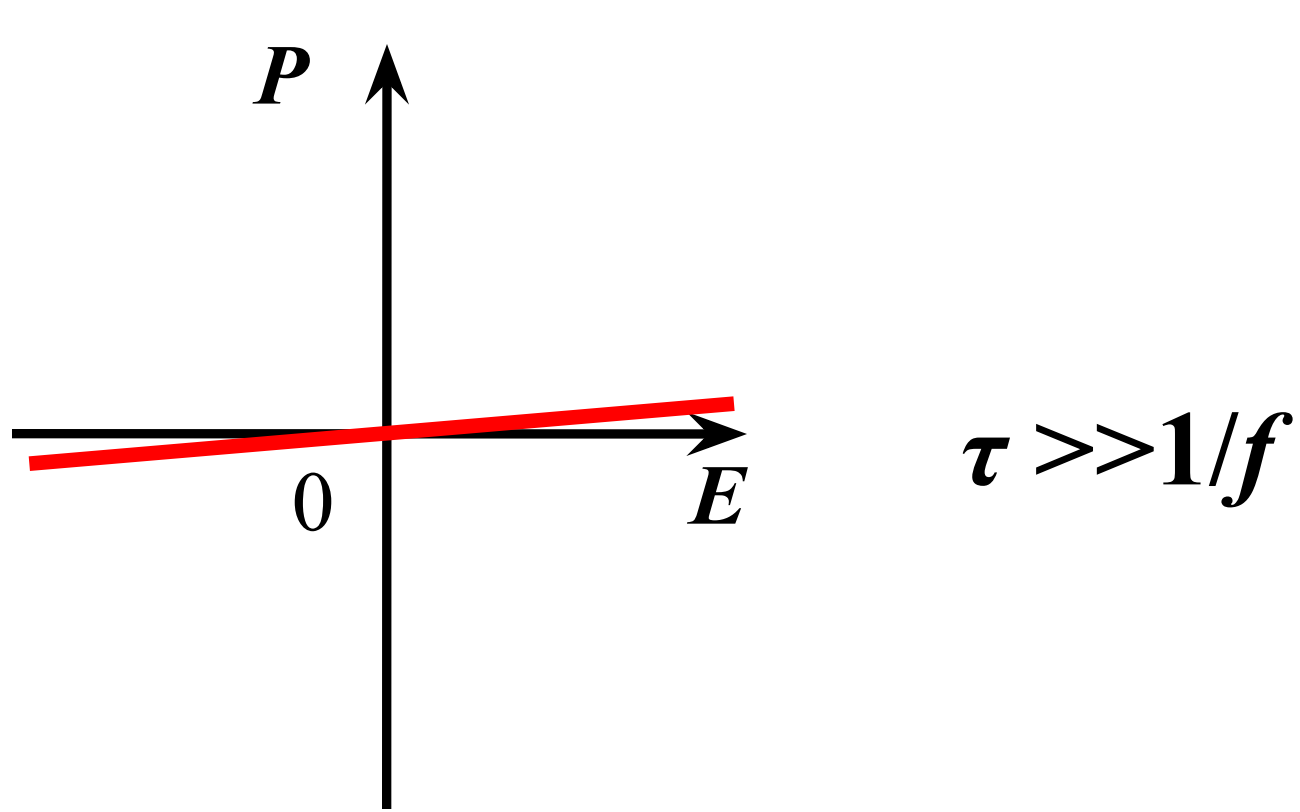
(область очень низких частот поля), To P успевает следовать за E, и $\oint P \mathrm{d}E = 0$.



Если $\tau >> 1/f$,

(область очень высоких частот поля), то поляризация не успевает установиться за полупериод изменения E,

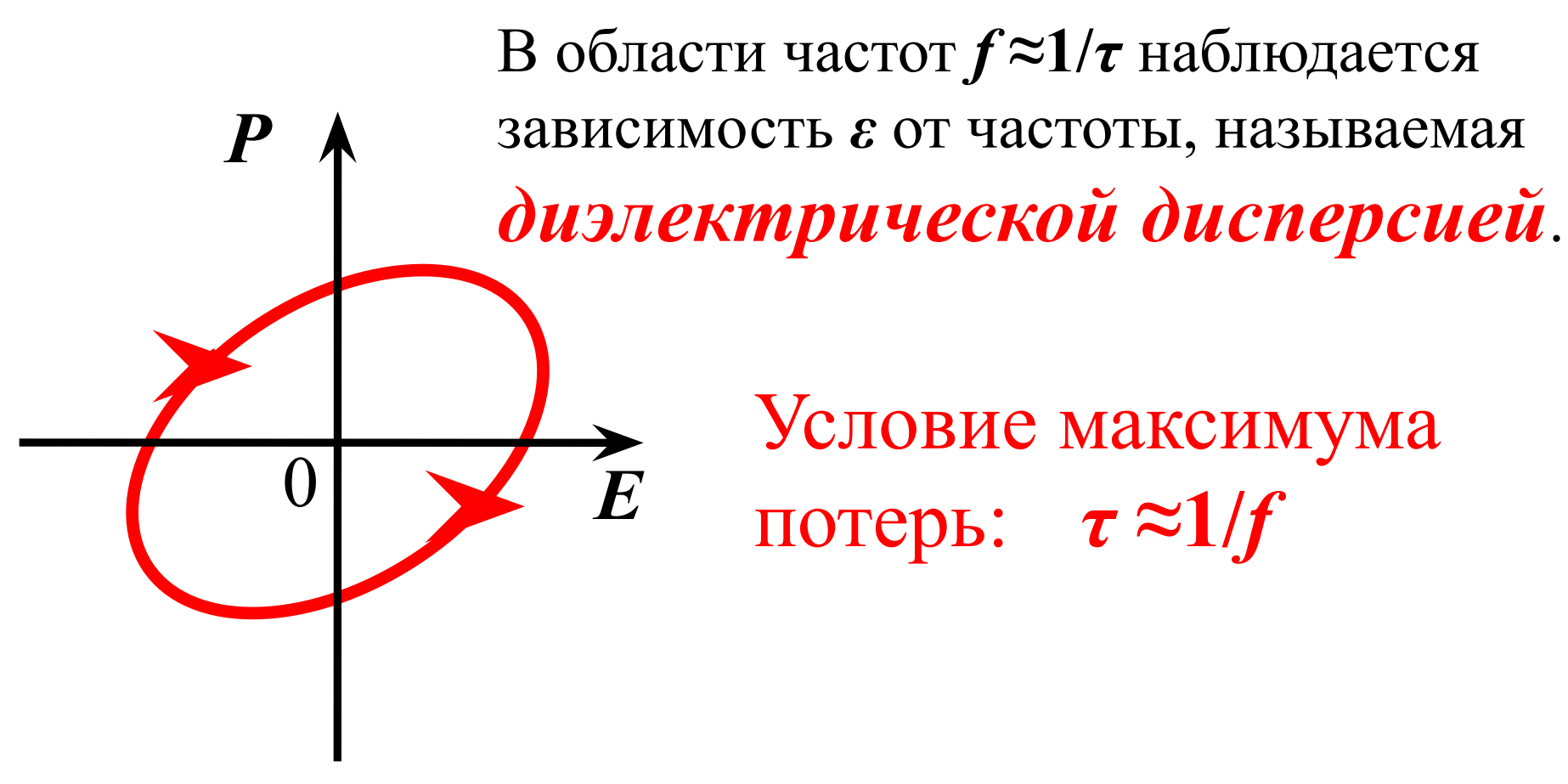
$$P=0$$
 и $\oint P dE=0$.



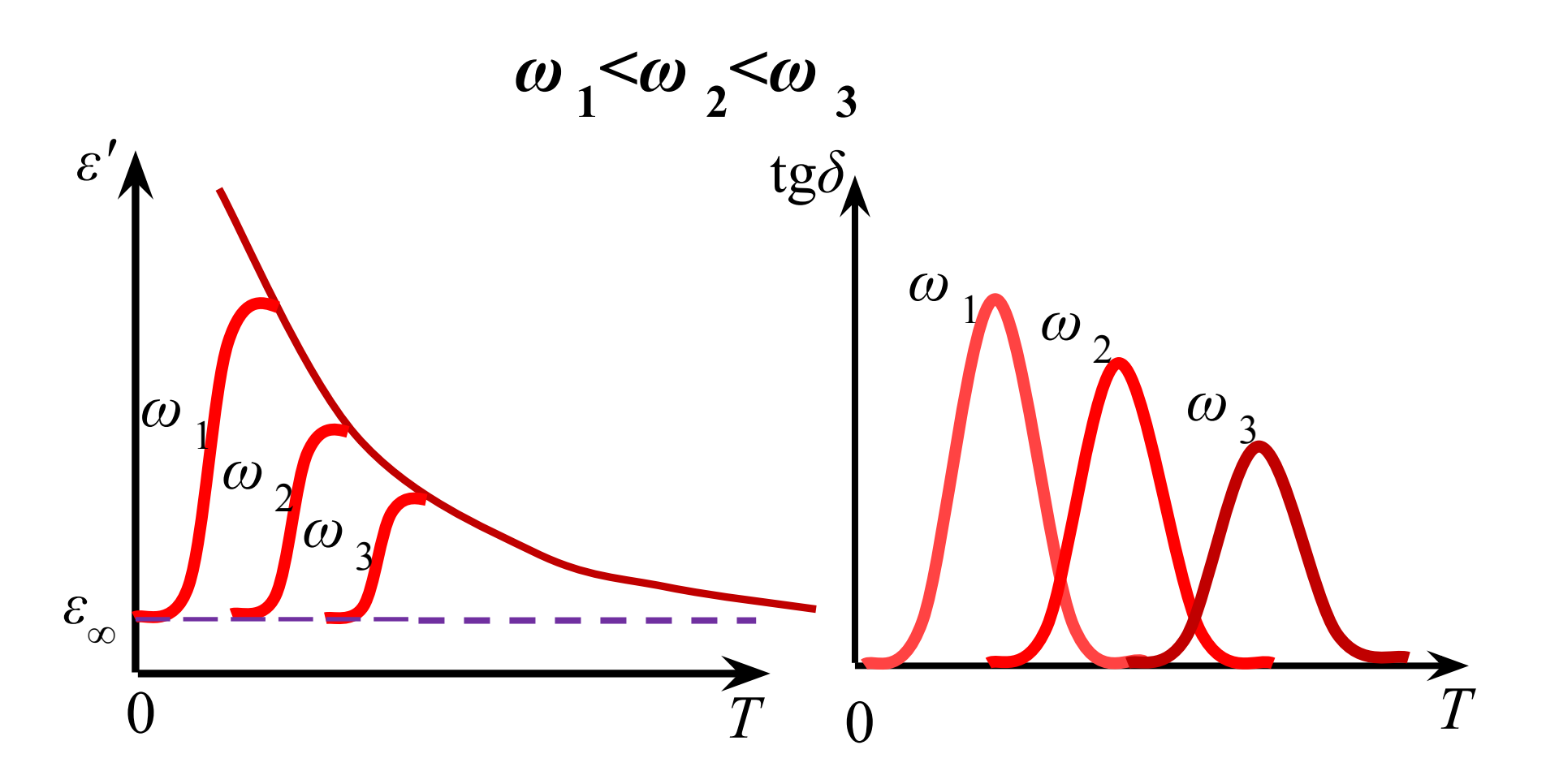
Если $\tau \approx 1/f$,

то P отстает по фазе от E, и $\oint P dE > 0$.

На поляризацию затрачивается энергия поля E, переходящая в диэлектрические потери.

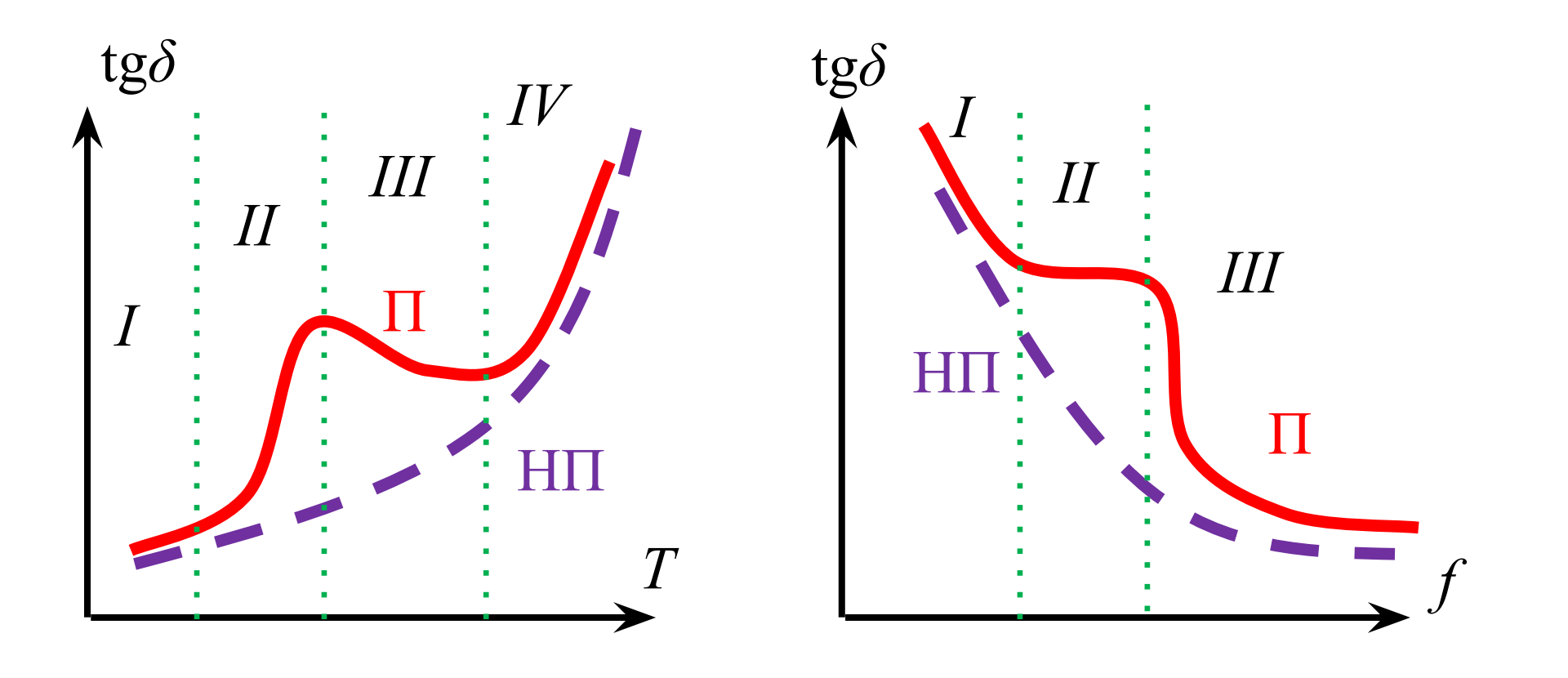


Время установления τ релаксационных видов поляризации уменьшается с ростом температуры => с ростом T максимум диэлектрической дисперсии смещается в область более высоких частот электрического поля.



Диэлектрические потери в полярных диэлектриках складываются из потерь на электропроводность и релаксационных потерь.

Зависимости $\operatorname{tg}\delta$ от T и f для полярного (П) и неполярного (НП) жидкого диэлектрика:



Диэлектрические потери на неоднородность структуры

характерны для композиционных диэлектриков и диэлектриков с примесями

(в том числе и проводящими)

гетинакс, текстолит, слюдопласты, керамика, компаунды, пропитанные материалы и т.д.

Миграционная поляризация обусловлена миграцией зарядов в проводящих включениях и их накоплением на границах неоднородностей. Время установления τ очень велико.

Для композиционных материалов, состоящих из хороших диэлектриков, частота релаксации $f_p < 1$ Гц и миграционные потери малы даже на промышленной частоте (50 Гц).

Если в диэлектрике есть <u>проводящие</u> <u>включения</u>, то f_p оказывается в области рабочих частот и миграционные потери необходимо учитывать.

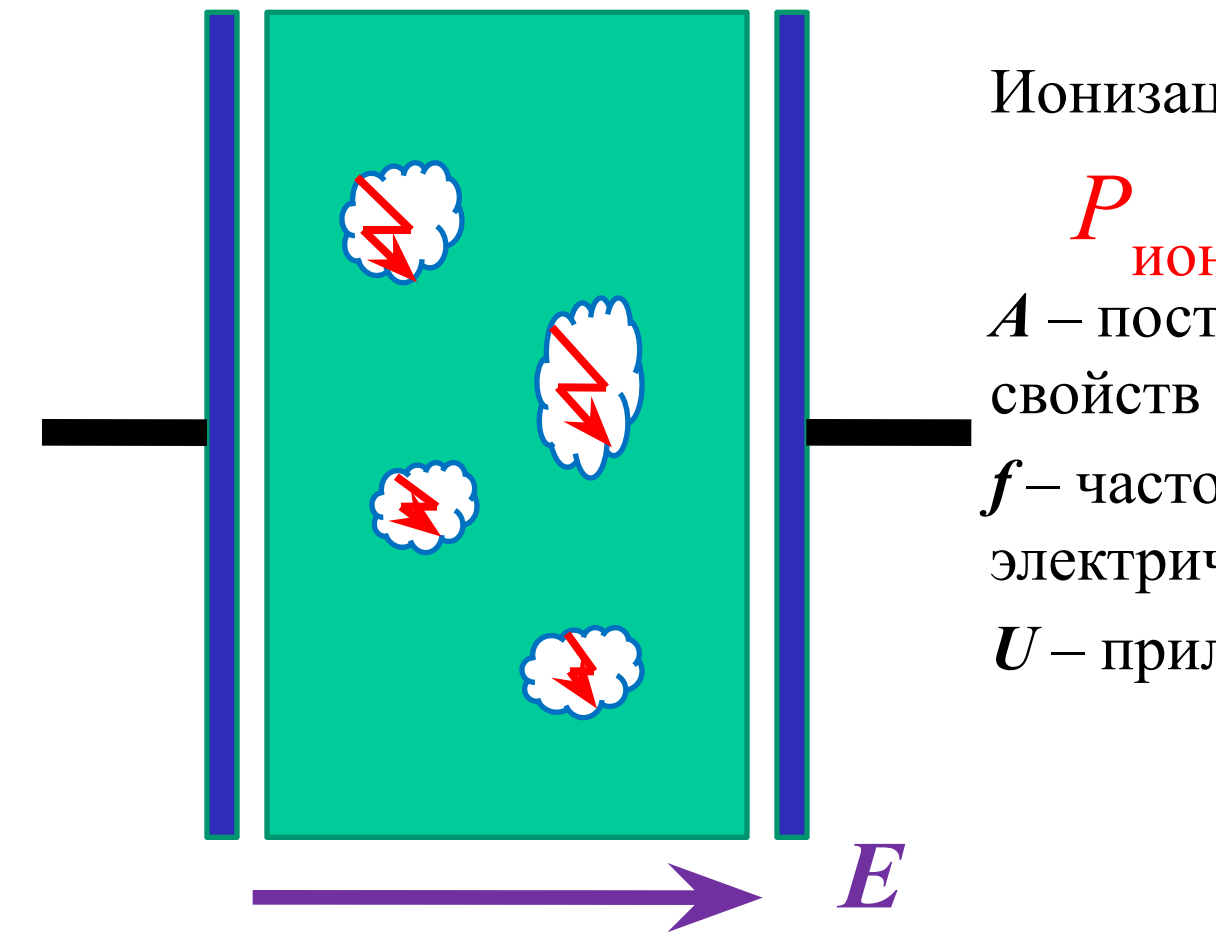
Так, при увлажнении $tg\delta$ диэлектрика возрастает, так как проводимость воды велика.

В случае миграционной поляризации, как и дипольной, возникает интервал времен т релаксации, что приводит к увеличению частотного интервала миграционных потерь. Причина: неодинаковые свойства основной среды и проводящих включений диэлектрика, неодинаковая форма и ориентация включений.

С ростом T удельная проводимость γ растет экспоненциально, поэтому частота релаксации и максимума миграционных потерь повышается с ростом температуры.

Ионизационные диэлектрические потери

в пористых диэлектриках при повышении напряжения сверх *порога ионизации* $U_{\text{ион}}$



Ионизационные потери:

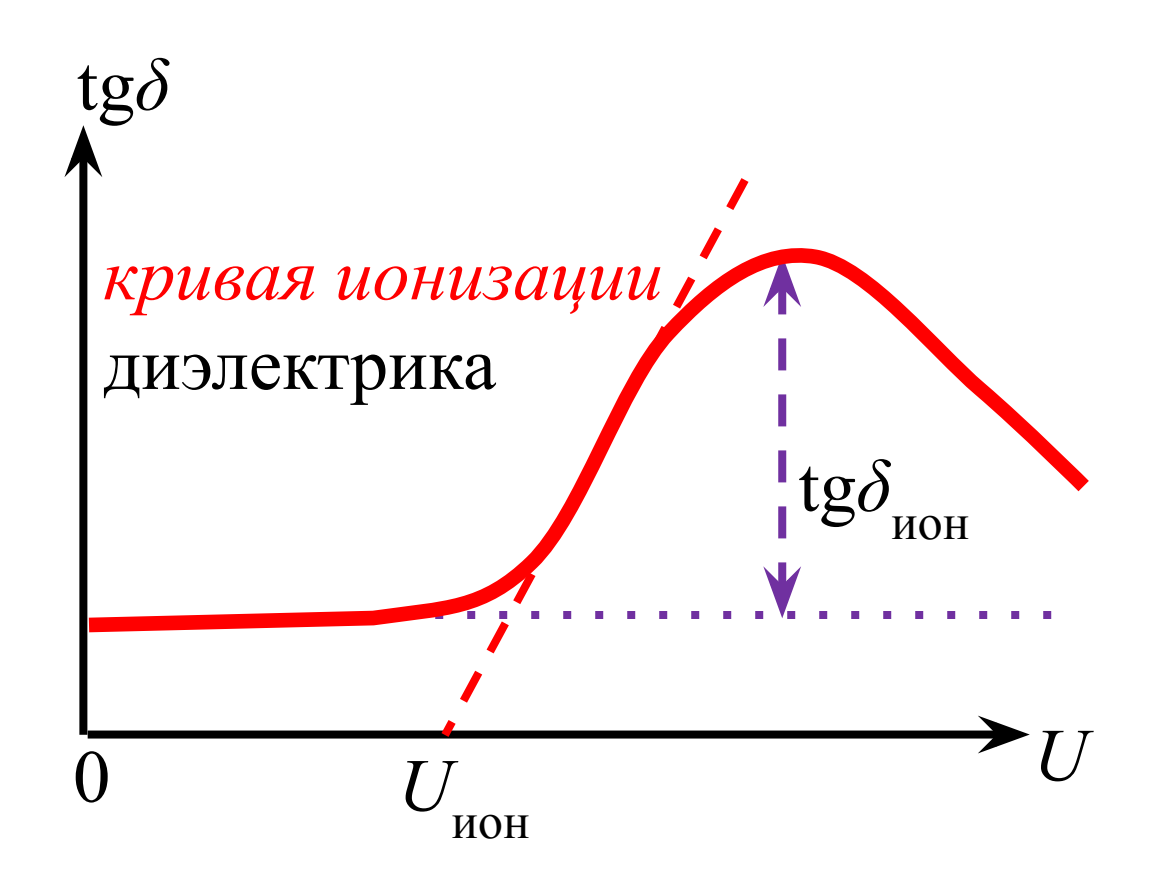
$$P_{\text{ион}} = Af(U - U_{\text{ион}})^3$$

A — постоянная зависящая от свойств газа в порах;

f – частота приложенного электрического поля;

U – приложенное напряжение.

чем меньше приращение $tg\delta$ из-за ионизационных потерь $(tg\delta_{uoh})$ и чем при более высоких напряжениях U_{uoh} начинается рост $tg\delta$, тем выше качество изоляции высокого напряжения



Резонансные диэлектрические потери

Наблюдаются во всех диэлектриках.

Происходят при дисперсии резонансного характера, когда частота электрического поля приближается к частотам собственных колебаний электронов или ионов.

Резонансные потери электронной поляризации имеют максимумы в оптическом диапазоне: инфракрасной, видимой и ультрафиолетовой областях спектра (на частотах 10¹⁴–10¹⁷ Гц).

С ними связано поглощение света веществом.

Потери сопровождаются частотной зависимостью показателя преломления и максимальны в области т.н. «аномальной» дисперсии, где ε снижается с ростом ω .

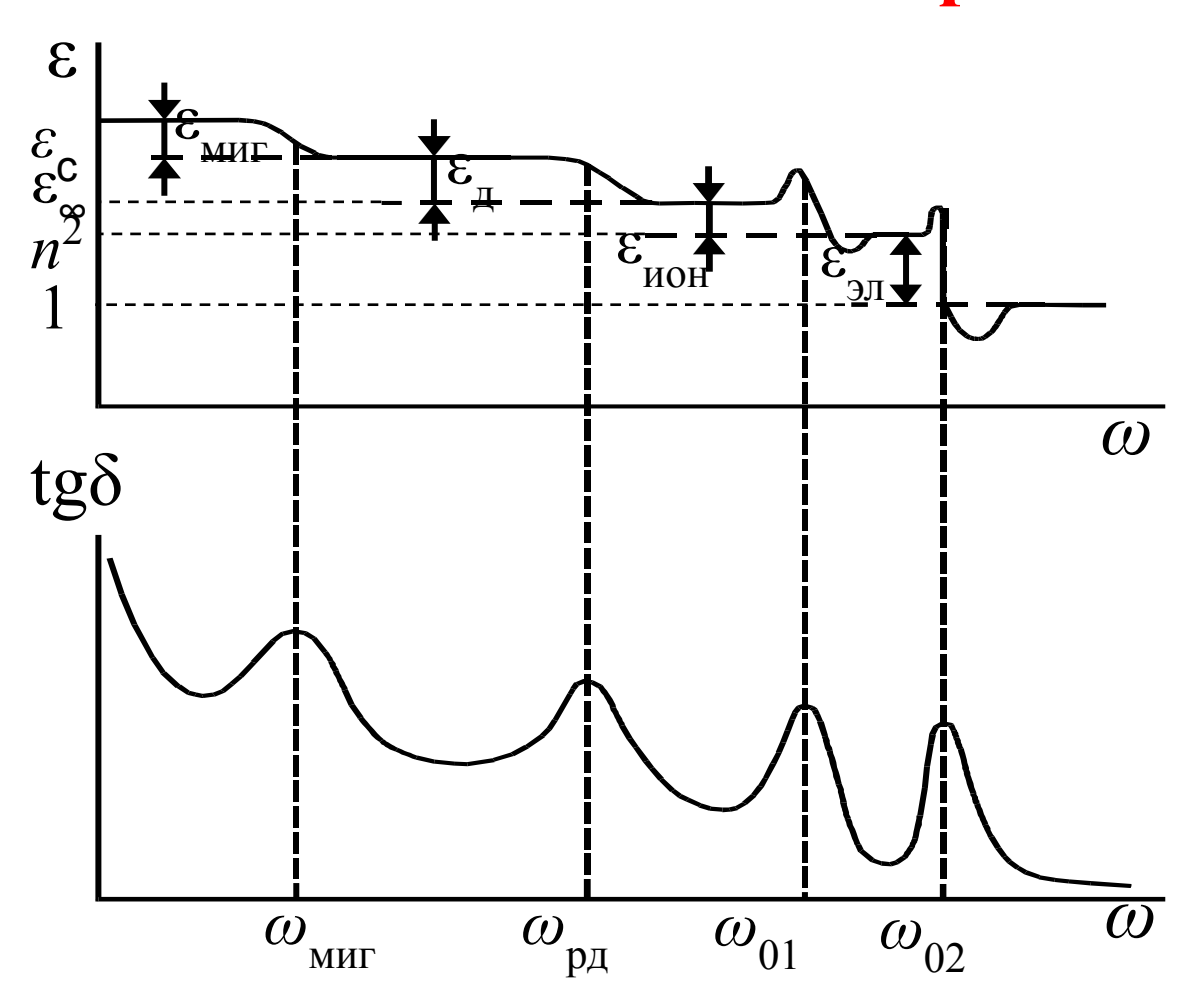
Максимумы резонансных потерь <u>ионной</u> поляризации наблюдаются в инфракрасном диапазоне на частотах 10^{13} – 10^{14} Гц.

В веществах с высокой ε , а также в стеклах и ситаллах, где есть слабо связанные ионы, частоты ионного резонанса могут быть ниже ($\sim 10^{12}$ Гц).

В этом случае начало резонансного максимума потерь захватывает диапазон СВЧ (10^9 – 10^{10} Гц).

Полный диэлектрический спектр

$$p = p_{\text{скв}} + p_{\text{д}} + p_{\text{ион}} + p_{\text{рез}} + p_{\text{миг}}$$



Пробой диэлектриков

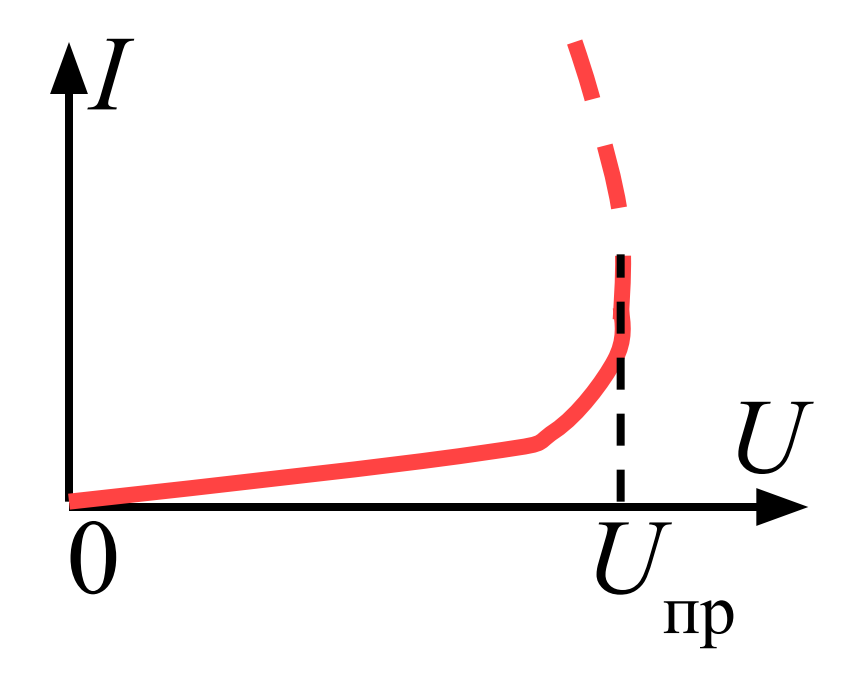
Образование в диэлектрике электропроводящего канала под действием электрического поля называют *пробоем*.

Пробой может быть полным, неполным, частичным, поверхностным.

Пробивным напряжением Uпр

называется минимальное приложенное к образцу диэлектрика напряжение, приводящее к его пробою.

Вольтамперная характеристика электрической изоляции:



Отношение *U*пр к номинальному напряжению, называют коэффициентом запаса электрической прочности.

При длительном воздействии электрического поля высокой напряженности происходит электрическое старение изоляции, в результате чего $U_{\Pi P}$ снижается. Кривую зависимости $U_{\Pi P}$ от времени приложения напряжения называют кривой жизни электрической изоляции.

Uпр зависит от времени приложения напряжения.

При медленном увеличении напряжения, Uпр называют cmamuчeckum пробивным напряжением.

При воздействии импульсов — *импульсным* пробивным напряжением.

Отношение импульсного пробивного напряжения диэлектрика к статическому называют коэффициентом импульса, который > 1.

Электрическая прочность — напряженность однородного электрического поля, приводящая к пробою:

$$E_{\Pi P} = U_{\Pi P} / h$$

Пробой газов

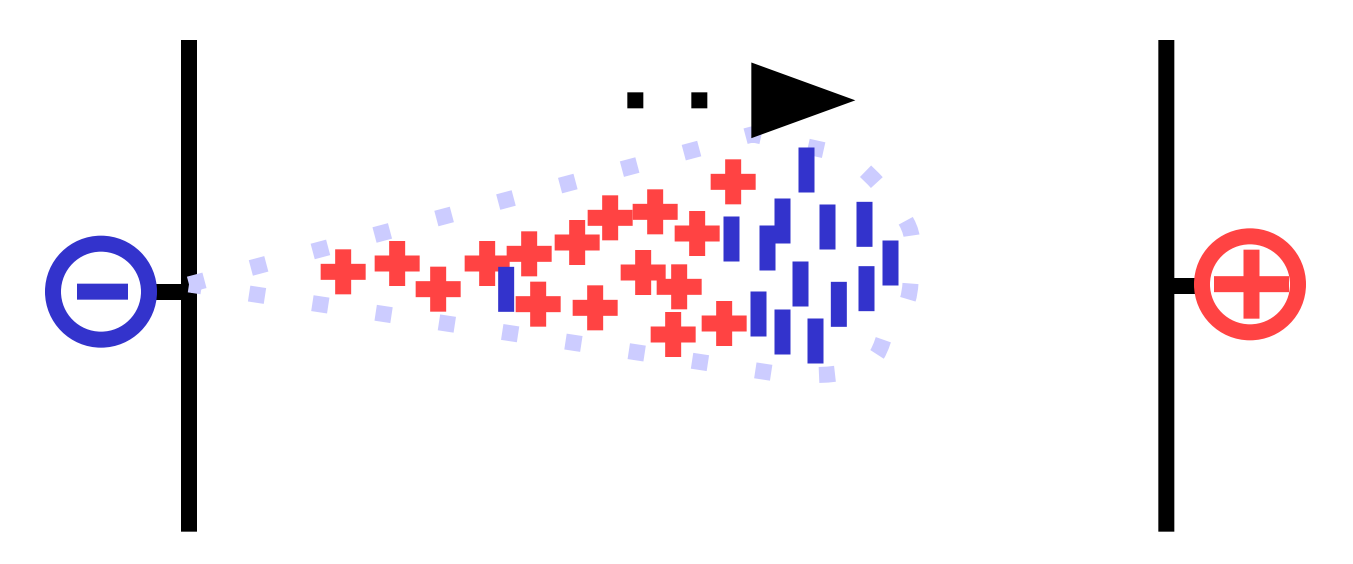
В поле E, заряженные частицы между двумя соударениями приобретают энергию W=qlE.

Если $W \ge W$ и, то возможен пробой, где Wи энергия ионизации молекулы газа.

Hачальная напряженность поля $E_{\rm HAH}$ — значение напряженности, при которой в данном газе (при данных P и T) начинается ударная ионизация.

Пробой газа зависит также от степени однородности электрического поля.

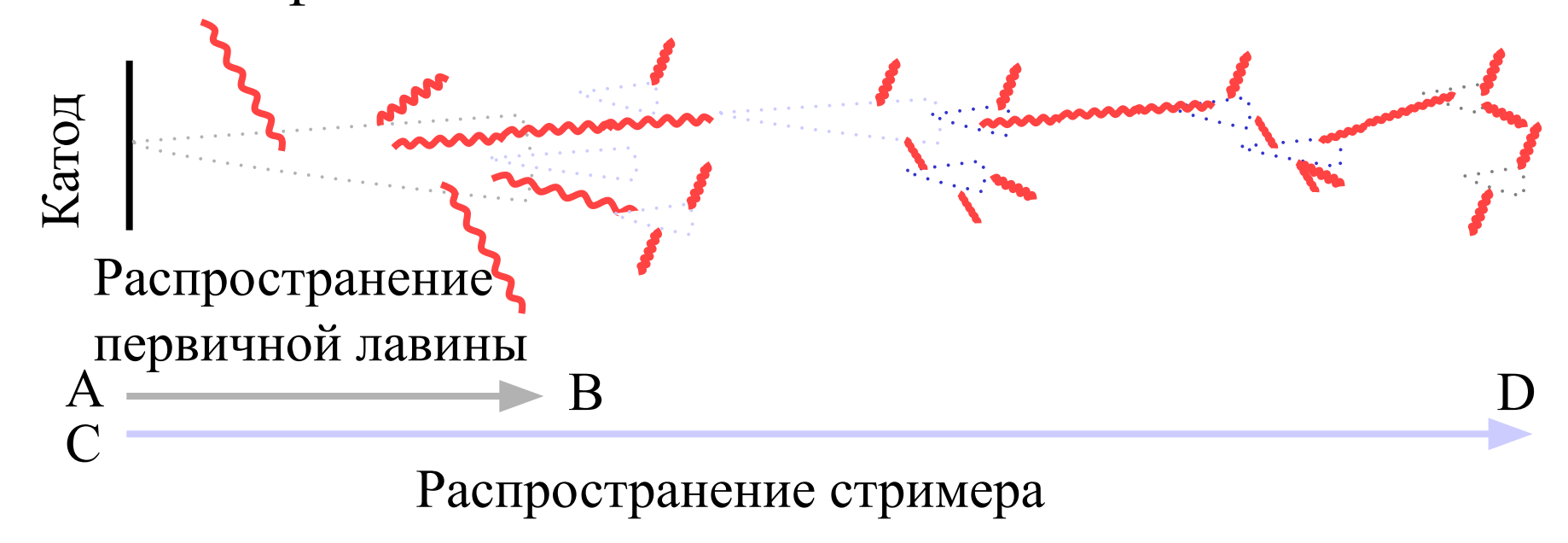
Лавинный механизм пробоя газа — ударная ионизация



Павинный пробой развивается относительно долго, более 1мкс, и не характерен для импульсных напряжений.

Лавинно-стримерный пробой, при длине промежутка 1 *см*, развивается 10^{-7} – 10^{-8} сек.

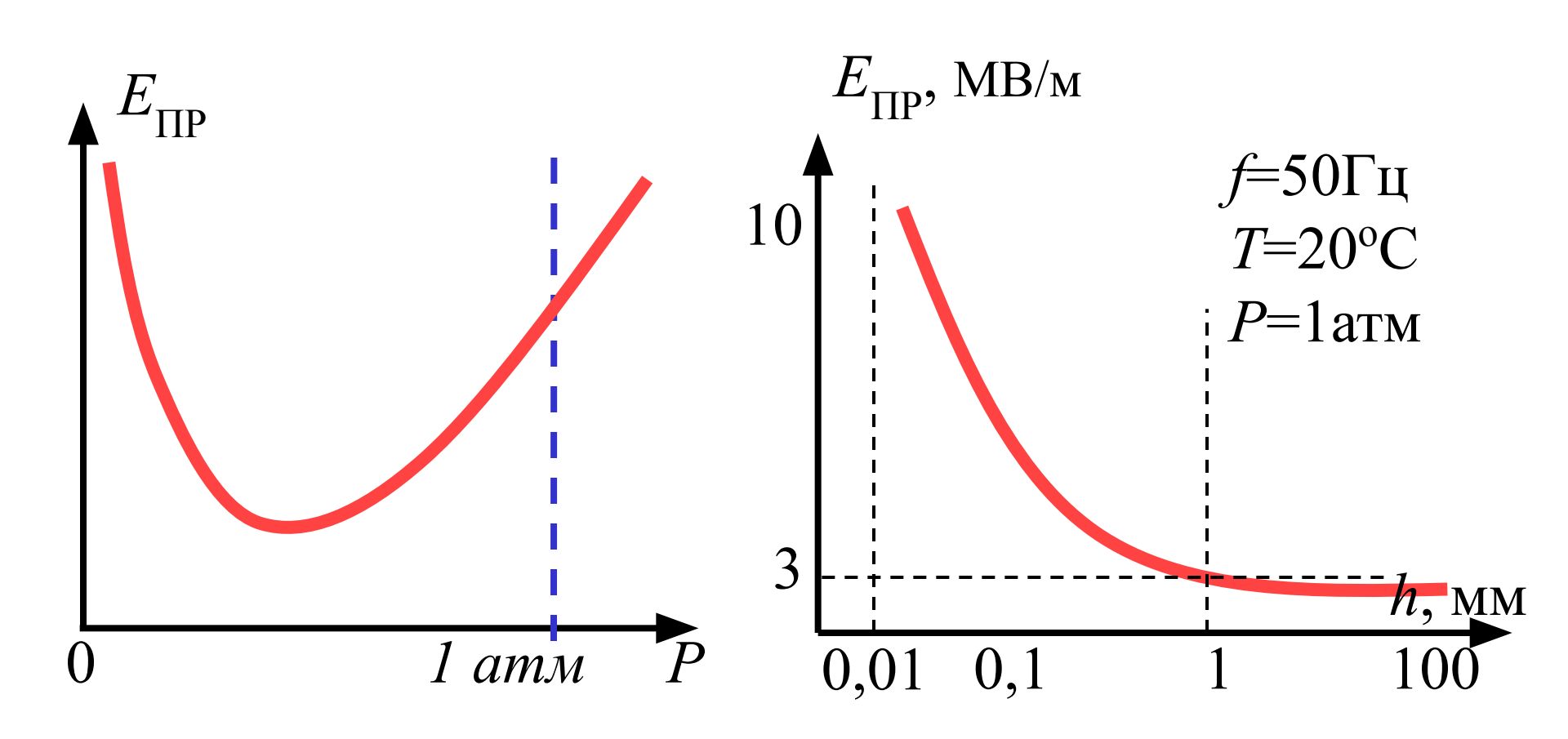
Лавинно-стримерный механизм пробоя газа — совместное действие поля пространственного заряда лавины и фотоионизации в объеме газа.



Стример – скопление ионизованных частиц, намного превосходящее лавину по степени ионизации.

Одновременно с ростом стримера, направленного к аноду, образуется лавинный поток положительно заряженных частиц, направленный к катоду.

Зависимость $E_{\Pi P}$ газа от давления P и расстояния между электродами h в однородном поле:



Эмпирический закон Пашена:

если длина разрядного промежутка h и давление газа p изменяются так, что $h \cdot p = const$, то и $U_{\Pi P} = const$.

Т.е. $U_{\Pi P}$ газов является функцией произведения ph.

В неоднородном поле:

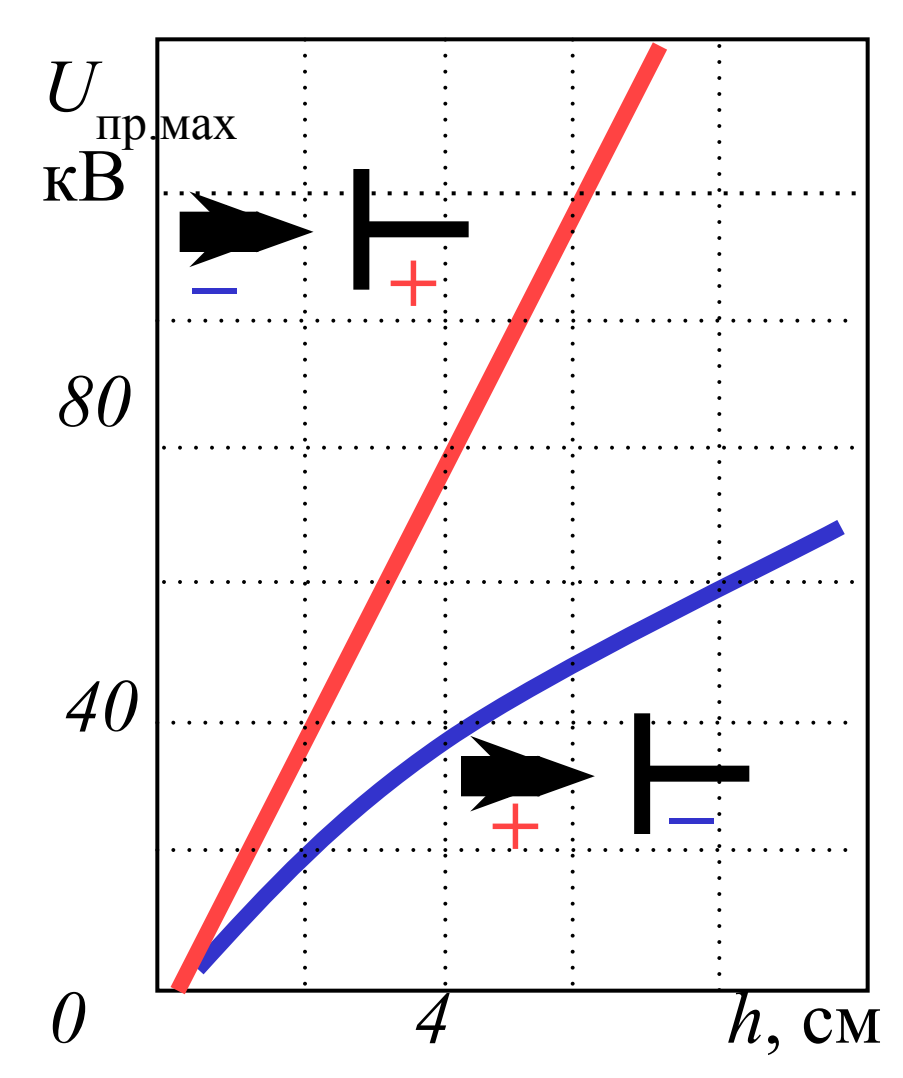
В местах, где E достигает критических значений, возникают частичные разряды в виде *короны*. При возрастании напряжения корона переходит в искровой разряд и дугу.

Величина $U_{\Pi P}$ газа зависит от расстояния между электродами, от полярности электродов и от частоты поля.

Зависимость $U_{\Pi P}$ воздуха от расстояния между электродами:

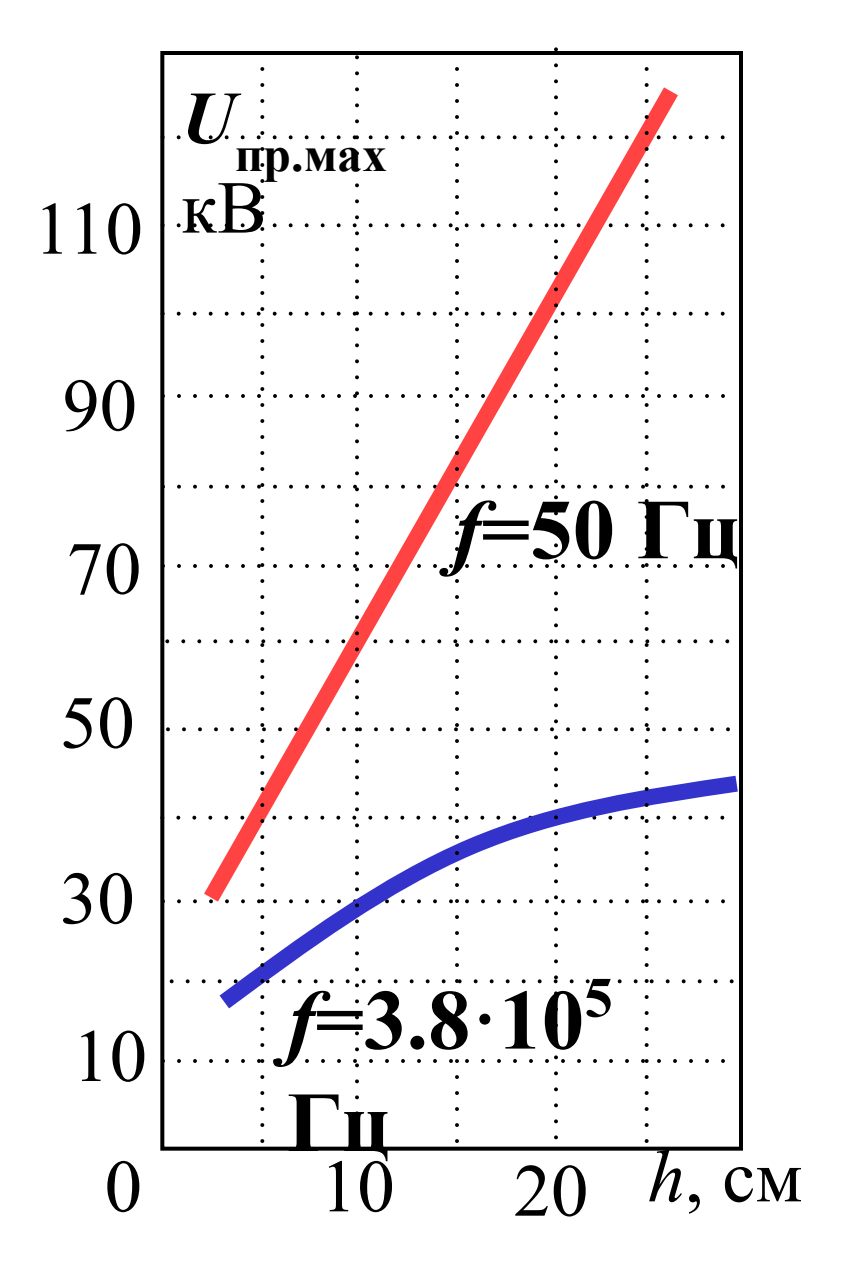
При положительной полярности на игле, $U_{\Pi P}$ меньше, чем при обратной полярности.

Это объясняется образованием у иглы положительного объемного заряда, содействующего развитию пробоя.



В отличие от пробоя газа в однородном поле, в неоднородном поле npu высоких частотах $U_{\mathit{\PiP}}$ меньше, чем npu постоянном напряжении или напряжении технической частоты.

При высоких частотах напряжение появления короны, почти совпадает с $U_{\Pi P}$. В этом случае $U_{\Pi P}$ слабо возрастает с увеличением расстояния между электродами.



Зависимость $U_{\Pi P}$ воздуха от расстояния между электродами в неоднородном поле при разных частотах.

При н.у., постоянном напряжении и расстоянии между электродами 1см электрическая прочность воздуха $E_{\Pi P}$ =3MB/м.

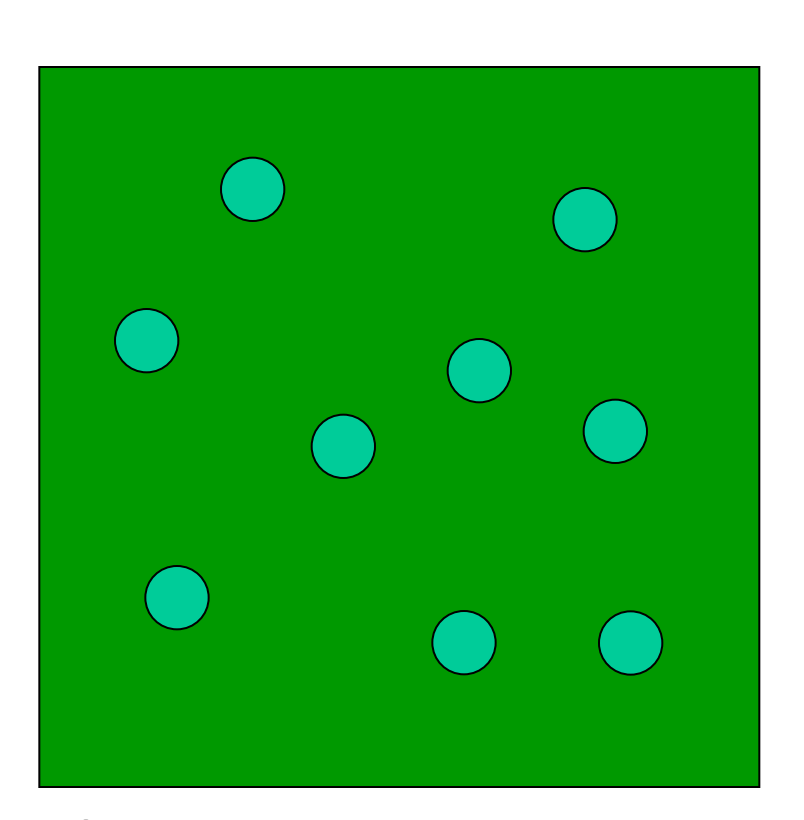
Пробой жидких диэлектриков

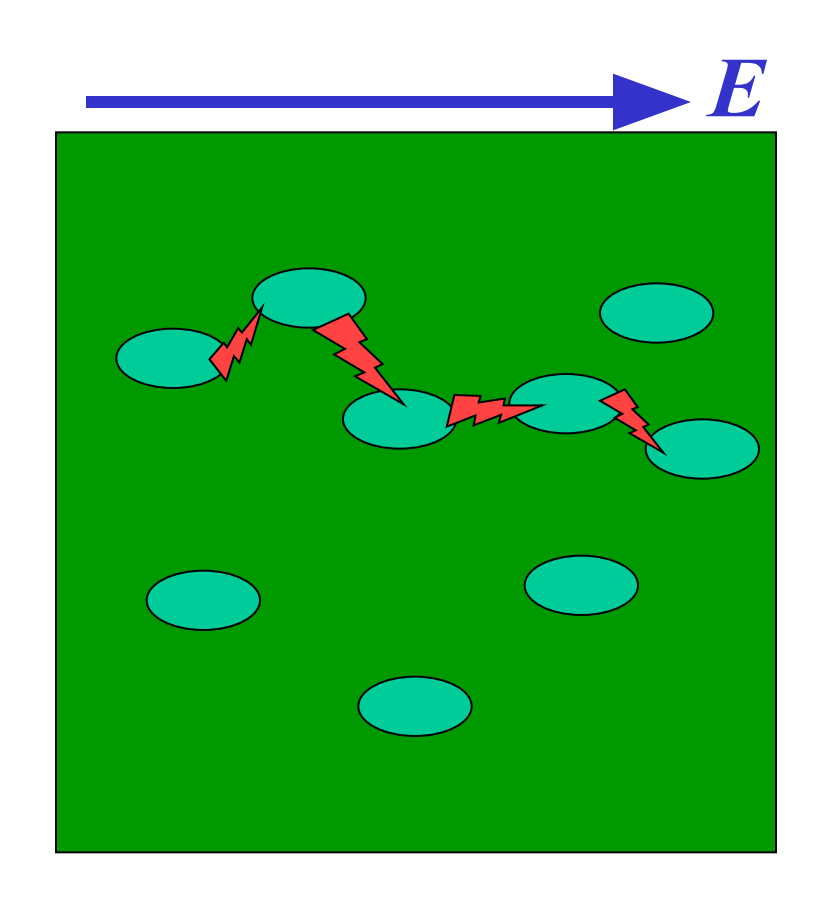
Механизм пробоя и электрическая прочность жидких диэлектриков зависят от чистоты.

При кратковременном воздействии, пробой *тицательно очищенных жидкостей* связан с: *ударной ионизацией* и *холодной эмиссией* с катода. $E_{\Pi P} \sim 100 \text{ MB/m}, \text{ на 2 порядка выше, чем у газов.}$

В загрязненных и технически чистых экидкостях пробой связан с движением и перераспределением частиц примесей.

Пробой жидкого диэлектрика с эмульгированной влагой (теория Геманта).



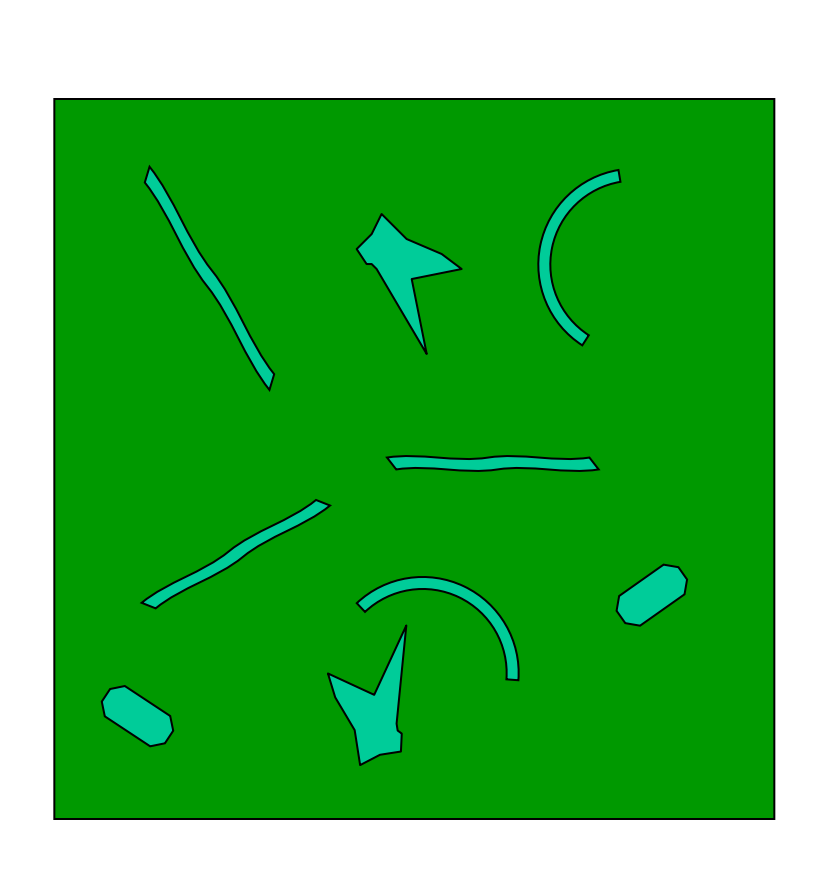


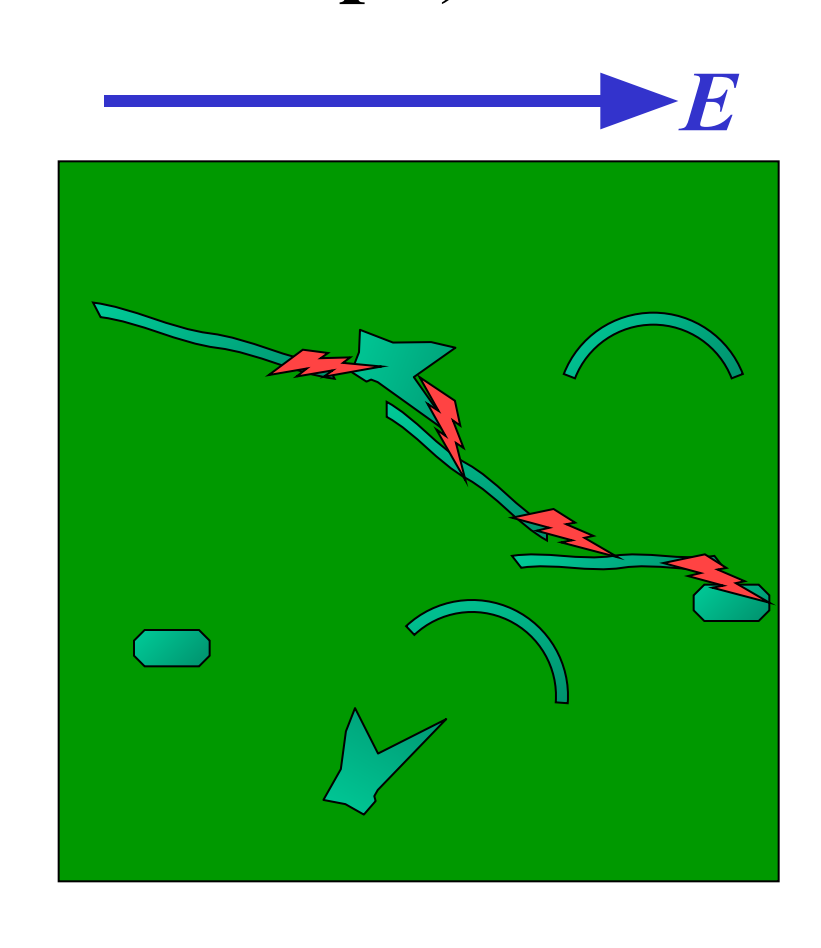
Критерий Геманта:

пробой происходит, когда межэлектродное пространство перекрыто каплями на 60-70%.

Пробой жидкого диэлектрика с *твёрдыми примесями*

(теория А.Ф. Вальтера)





Пробой твердых диэлектриков

Механизмы пробоя:

- •электрический,
- •электротепловой,
- •электрохимический,
- •ионизационный.

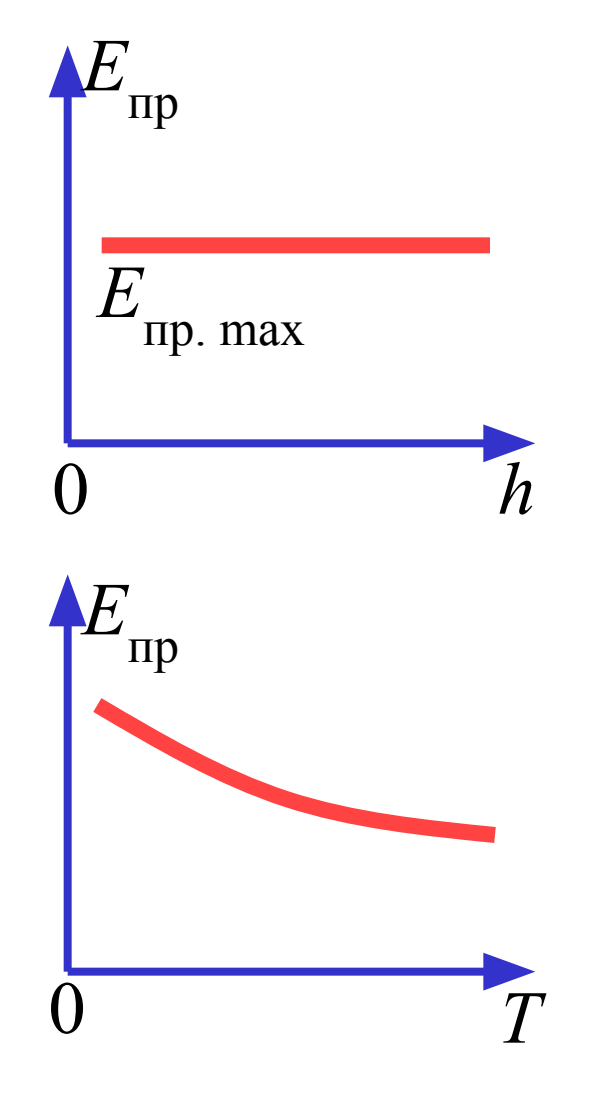
Электрический пробой

обусловлен ударной ионизацией или разрывом связей между частицами диэлектрика под действием электрического поля

Наблюдается в однородных диэлектриках с малым $tg\delta$.

Время пробоя $< 10^{-7} \div 10^{-8}$ с.

$$E_{\rm IIP} = 100 \div 1000 {\rm MB/M}$$



 $E_{\Pi P}$ определяется строением диэлектрика (плотностью упаковки, прочностью связей атомов).

 $E_{\text{ПР}}$ практически не зависит от внешних факторов: температура, частота приложенного напряжения, форма и размеры образца.

Тепловой пробой

возникает, когда количество тепла, выделенного в диэлектрике за счет диэлектрических потерь, превышает количество рассеиваемого тепла.

Нарушение теплового равновесия ведет к разогреву материала, расплавлению, растрескиванию, обугливанию и к разрушению диэлектрика.

Условие теплового равновесия:

$$P_n = P_p$$

Мощность, выделяемая в диэлектрике:

$$P_n = U^2 \omega C tg \delta.$$

Тепло, отводимое от образца:

$$P_p = k S (T - T_0),$$

 $P_{p} = k S (T - T_{0}),$ k — коэффициент теплоотдачи.

$$U_{np} = \sqrt{\frac{k \cdot S \cdot (T_{\kappa p} - T_0)}{2 \cdot \pi \cdot f \cdot C \cdot tg \, \delta}}$$

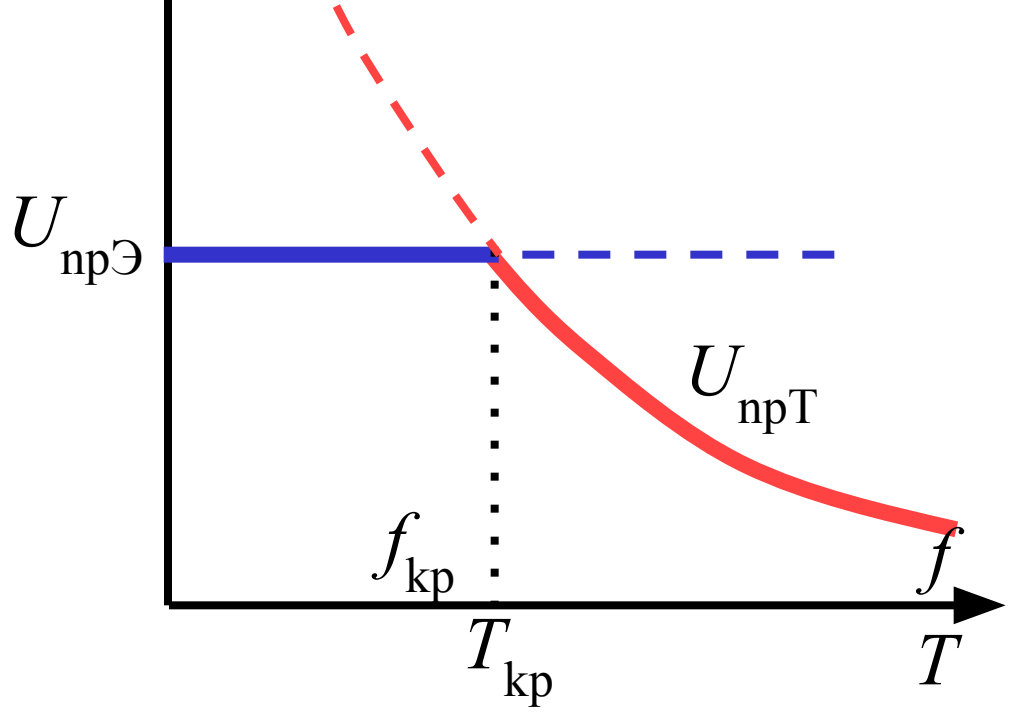
tg δ соответствует критической температуре $T_{\rm kp}$, при которой выполняется $P_{n}\!=\!P_{p}$.

В отличие от электрического пробоя, напряжение теплового пробоя зависит от частоты как $f^{-(1/2)}$.

 $T.o., U_{\text{пр}}$ снижается на высоких частотах.

С ростом T электрическая прочность $E_{\rm npT}$ при тепловом пробое уменьшается, т.к.

 $U_{\rm npT}$ теплового пробоя снижается за счет роста $tg\delta$ и ухудшения теплоотвода.



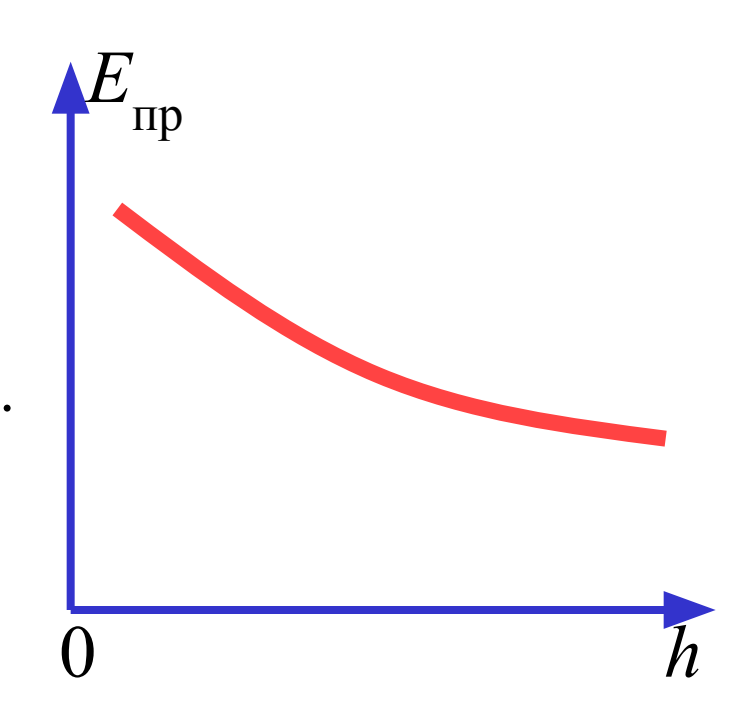
 $U_{\rm npT} > U_{\rm npЭ}$ электрический пробой

 $U_{\text{прТ}} < U_{\text{прЭ}}$ тепловой пробой

C изменением f или Tможет изменяться механизм пробоя диэлектрика. $f_{\rm kp}$ (или $T_{\rm kd}$), зависит от свойств диэлектрика, условий теплоотвода, времени приложения напряжения, скважности импульсов.

При увеличении толщины диэлектрика $h, U_{\rm npT}$ возрастает.

Количество выделяемого тепла пропорционально объему диэлектрика, а количество отводимого тепла пропорционально площади теплообмена. Поэтому при увеличении толщины h, нагрев диэлектрика за счет потерь возрастает быстрее, чем отвод тепла.



При тепловом пробое электрическая прочность $E_{\rm npT}$ с ростом h уменьшается.

Электрохимический пробой наблюдается при длительном приложении напряжения.

Под действием E, T, кислорода в диэлектрике идет окисление, разрыв связей и другие процессы, приводящие к его старению. Образующиеся низкомолекулярные вещества (щёлочи, кислоты, окислы азота, озон и др.), взаимодействуют с веществом диэлектрика и ускоряют процессы старения. Электрическое старение особенно существенно при воздействии постоянного напряжения. Характеристикой является время жизни электрической изоляции или кривая жизни.

Ионизационный пробой

Обусловлен ионизационными процессами из-за частичных разрядов в диэлектрике.

Характерен для диэлектриков с воздушными включениями.

При больших напряженностях поля в воздушных порах возникает ионизация воздуха, образование озона, ускоренных ионов, выделение тепла. Эти факторы приводят к разрушению изоляции и снижению Eпр.

Наряду с объемным возможен и *поверхностный пробой*: пробой в жидком или газообразном диэлектрике, прилегающем к поверхности твердой изоляции.

Так как $E_{\rm np}$ жидкостей и газов ниже $E_{\rm np}$ твердых диэлектриков, то пробой в первую очередь будет происходить по поверхности диэлектрика. Чтобы исключить поверхностный пробой, поверхность изоляторов делают гофрированной, а в конденсаторах оставляют не металлизированные закраины диэлектрика. Поверхностное Uпр также повышают путем герметизации поверхности электрической изоляции лаками, компаундами, жидкими диэлектриками с высокой $E_{\rm np}$.